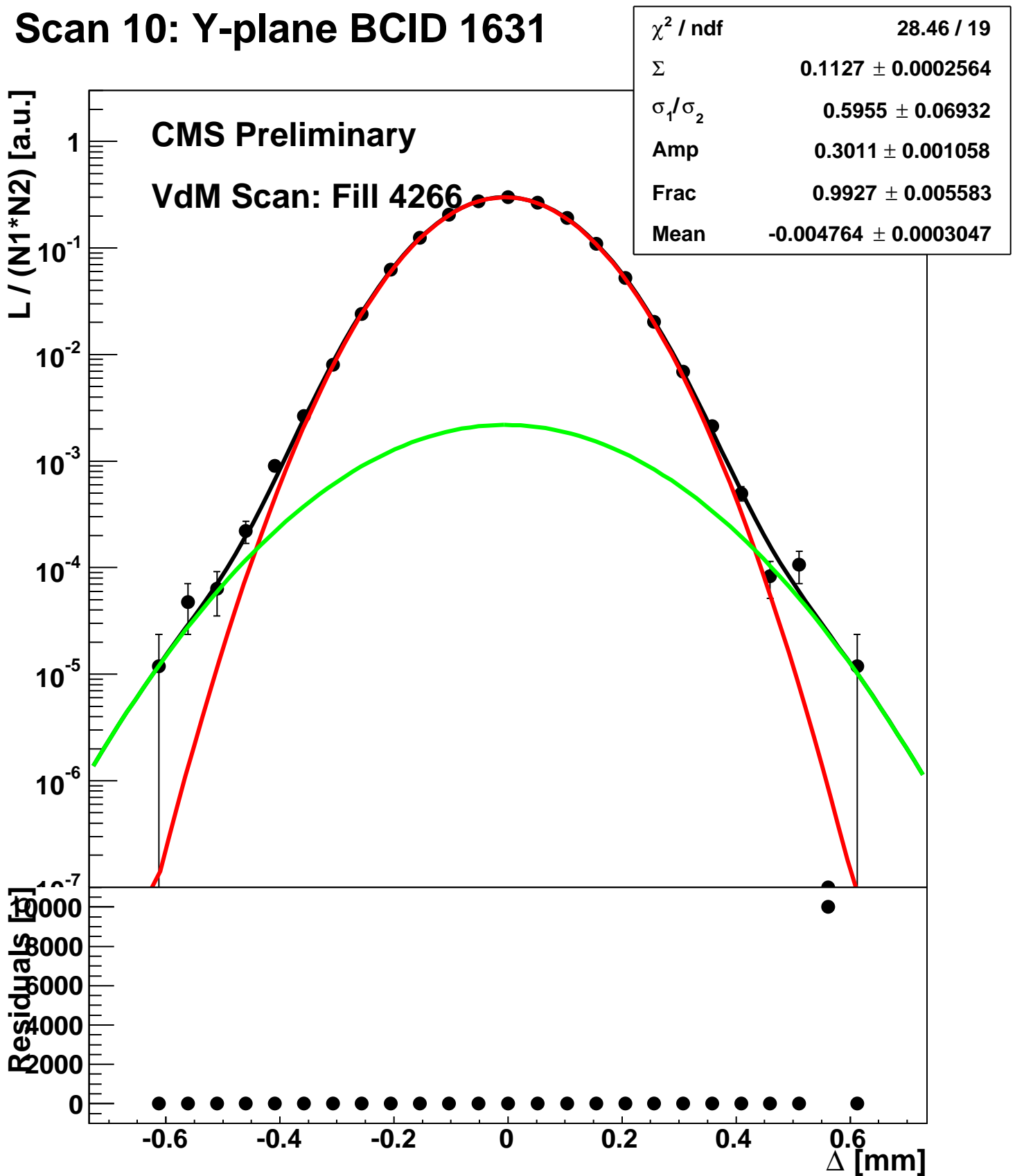
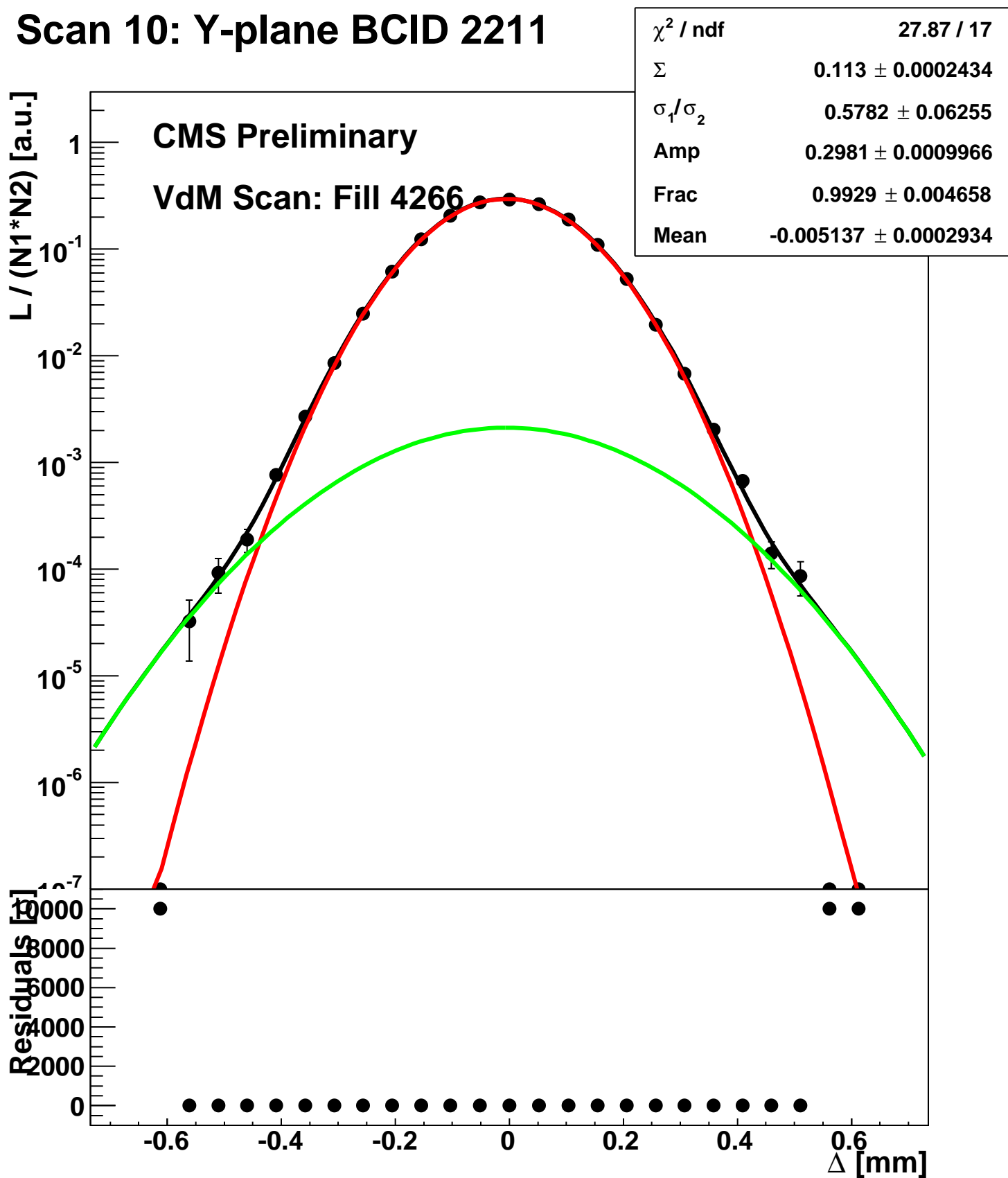


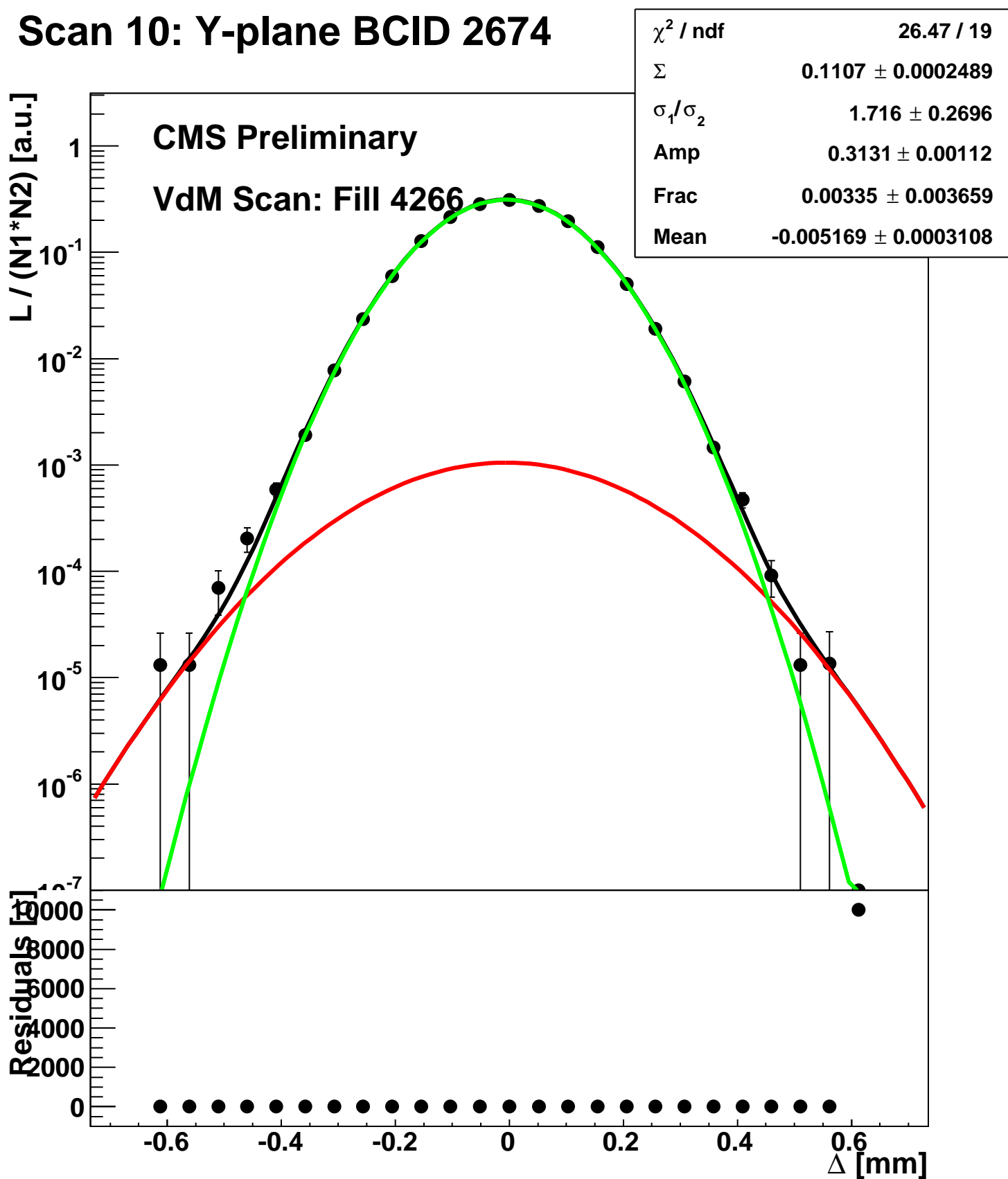
# Scan 10: Y-plane BCID 1631



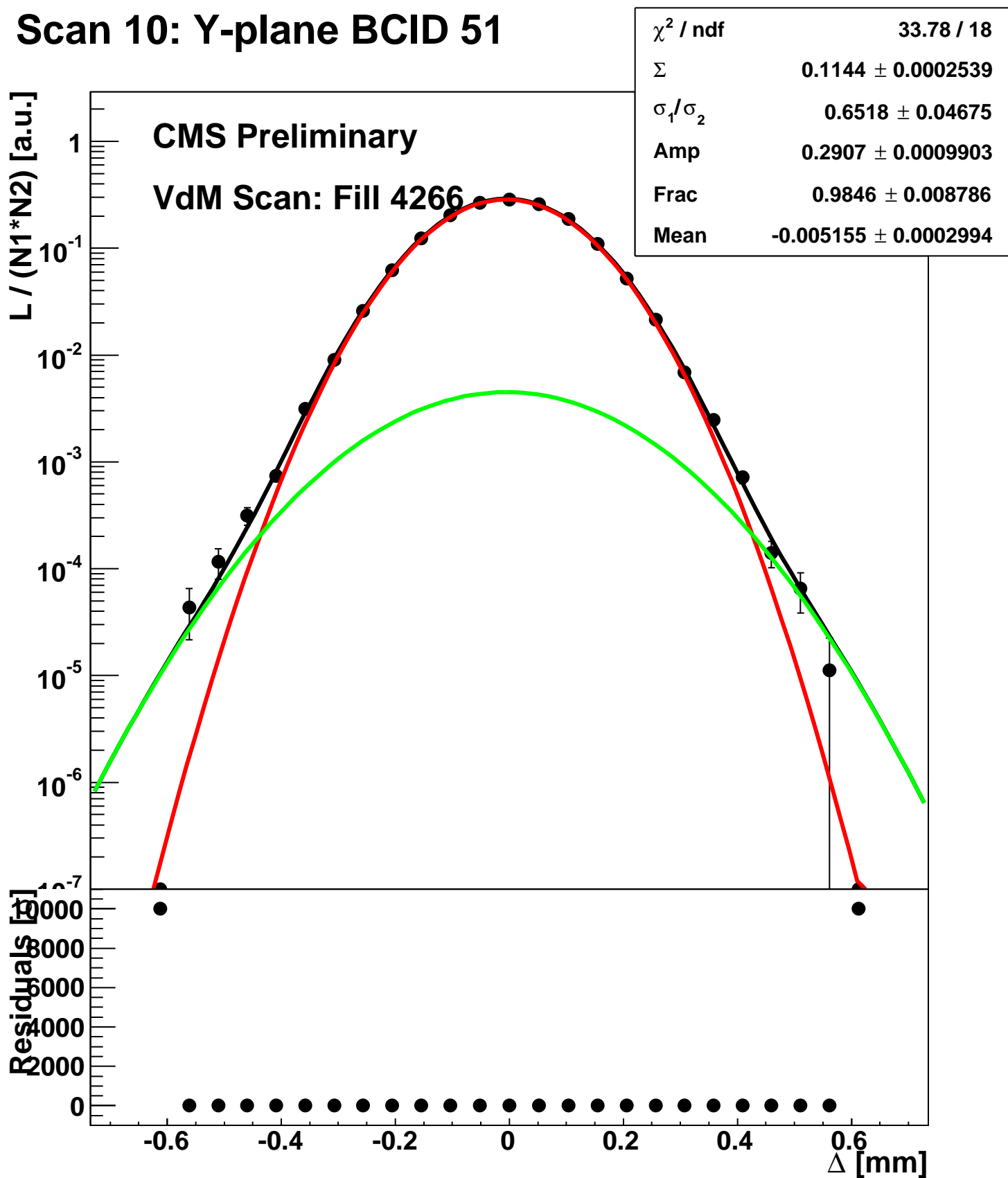
# Scan 10: Y-plane BCID 2211



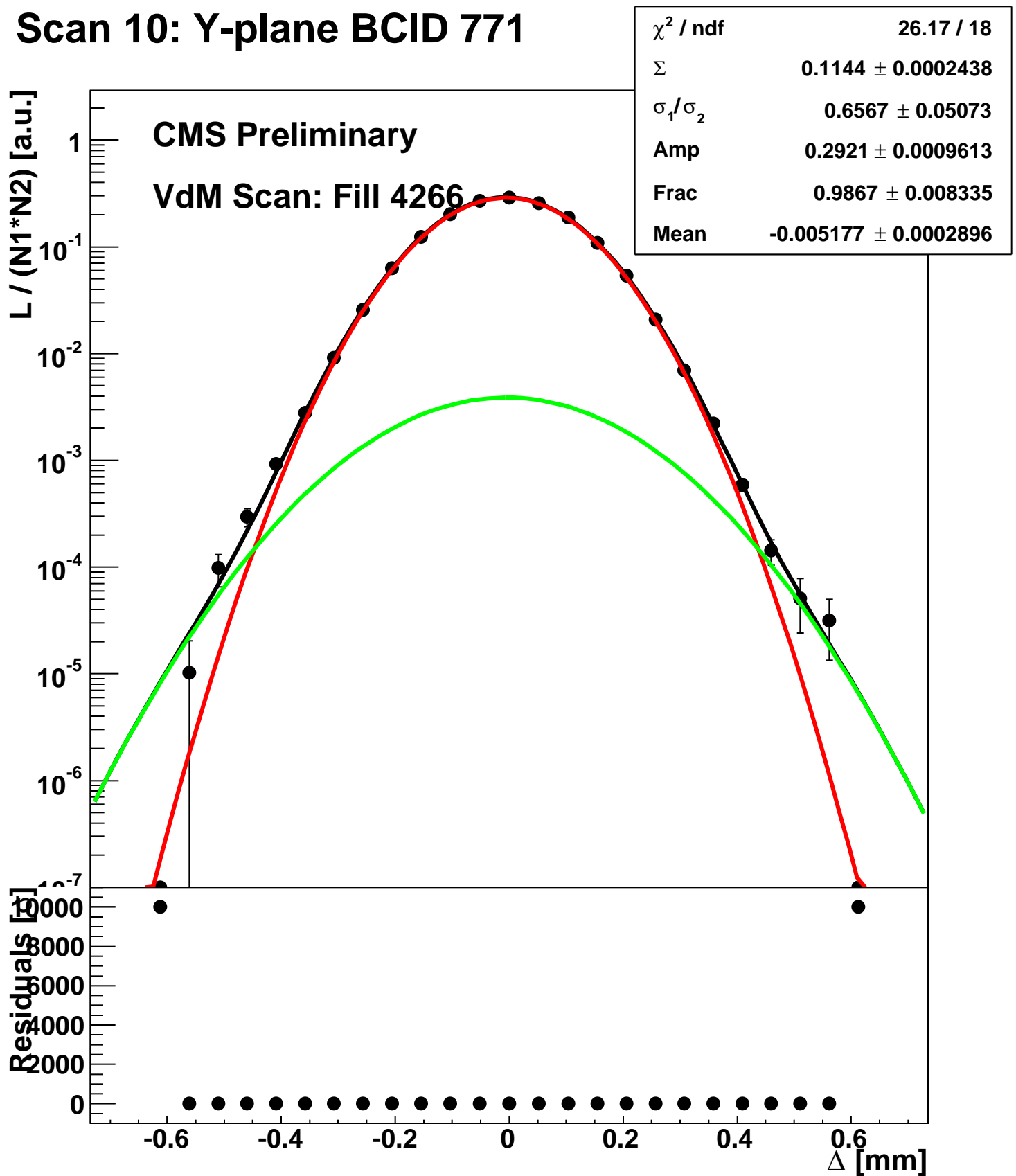
# Scan 10: Y-plane BCID 2674



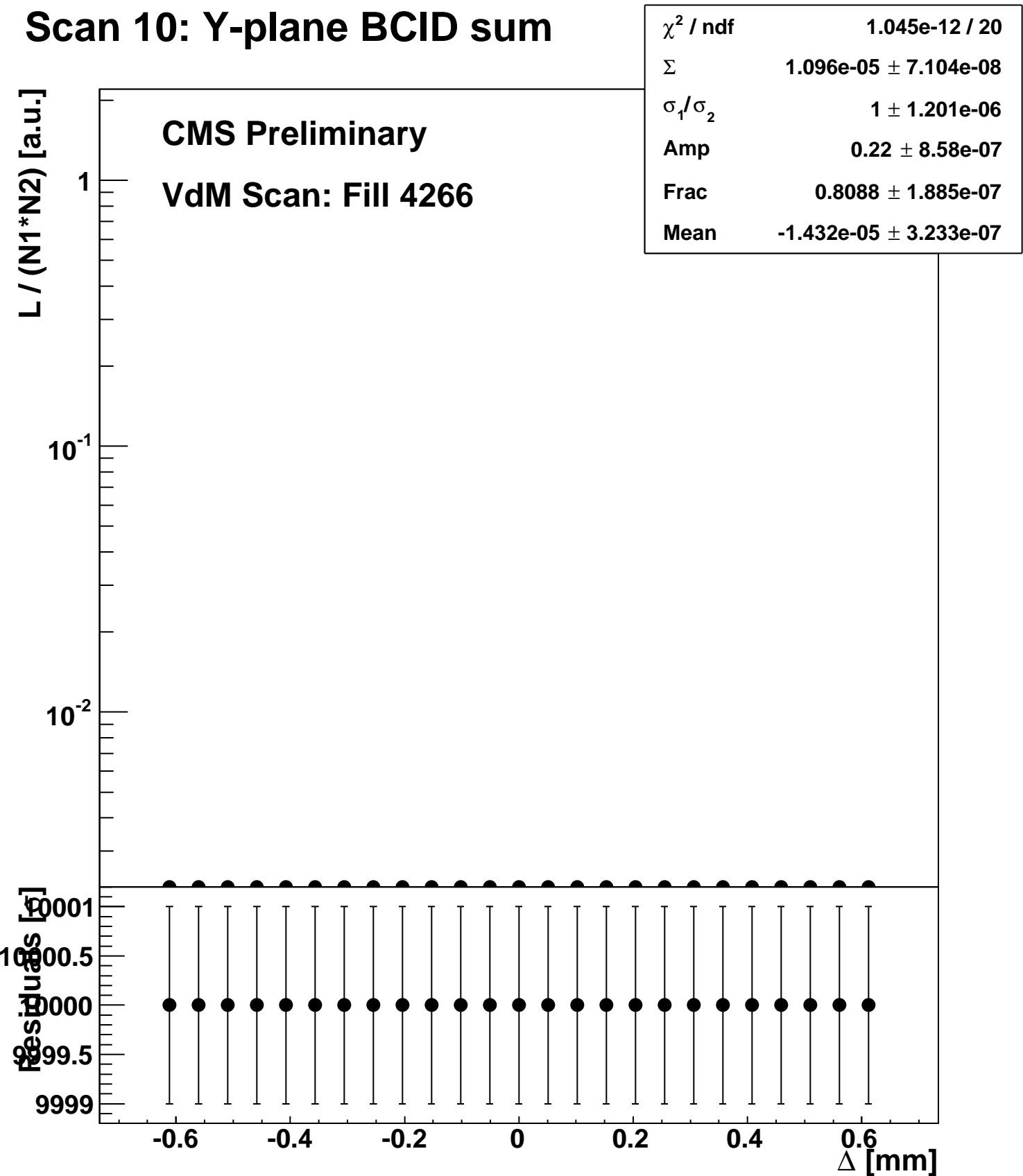
# Scan 10: Y-plane BCID 51



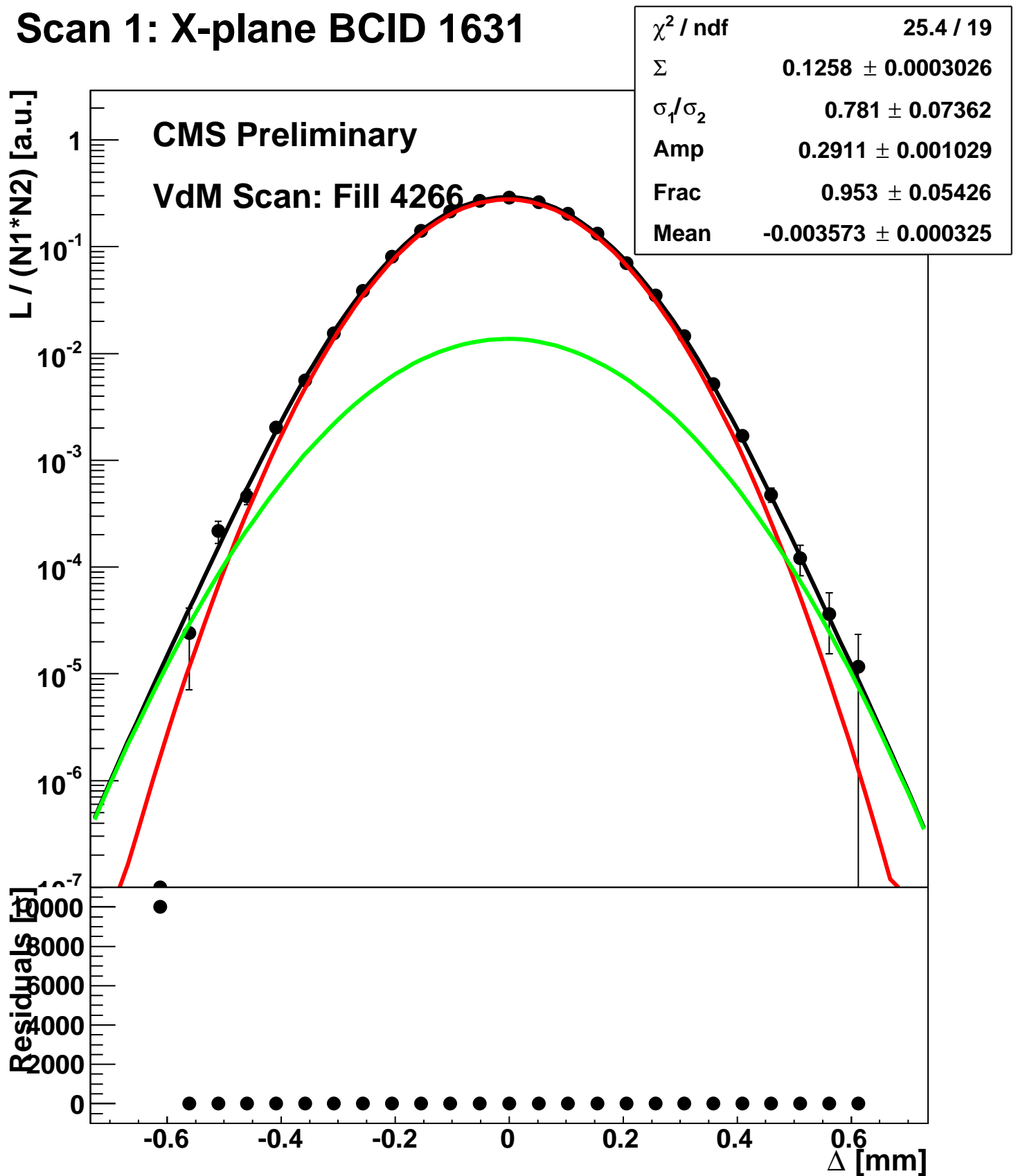
# Scan 10: Y-plane BCID 771



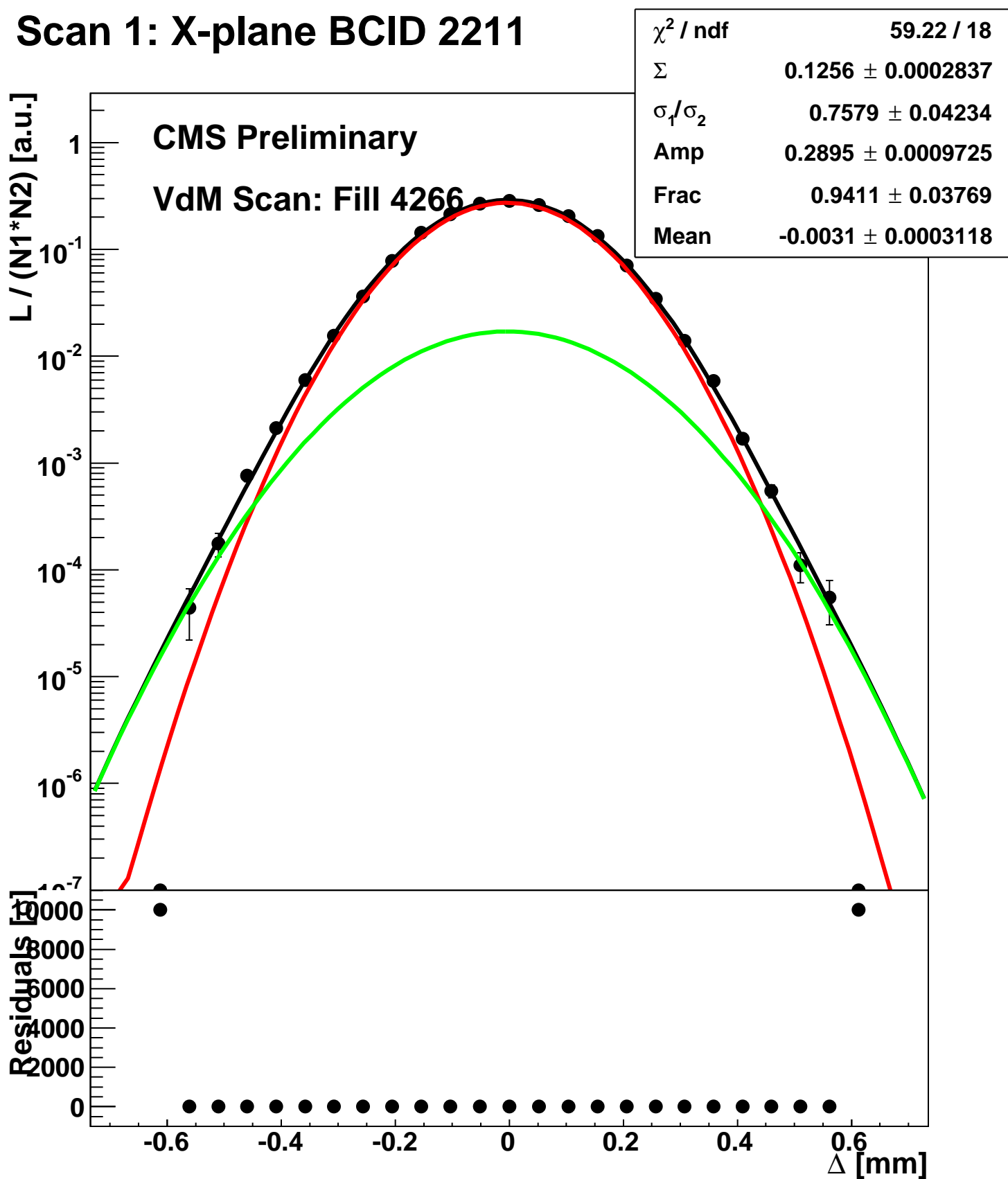
# Scan 10: Y-plane BCID sum



# Scan 1: X-plane BCID 1631

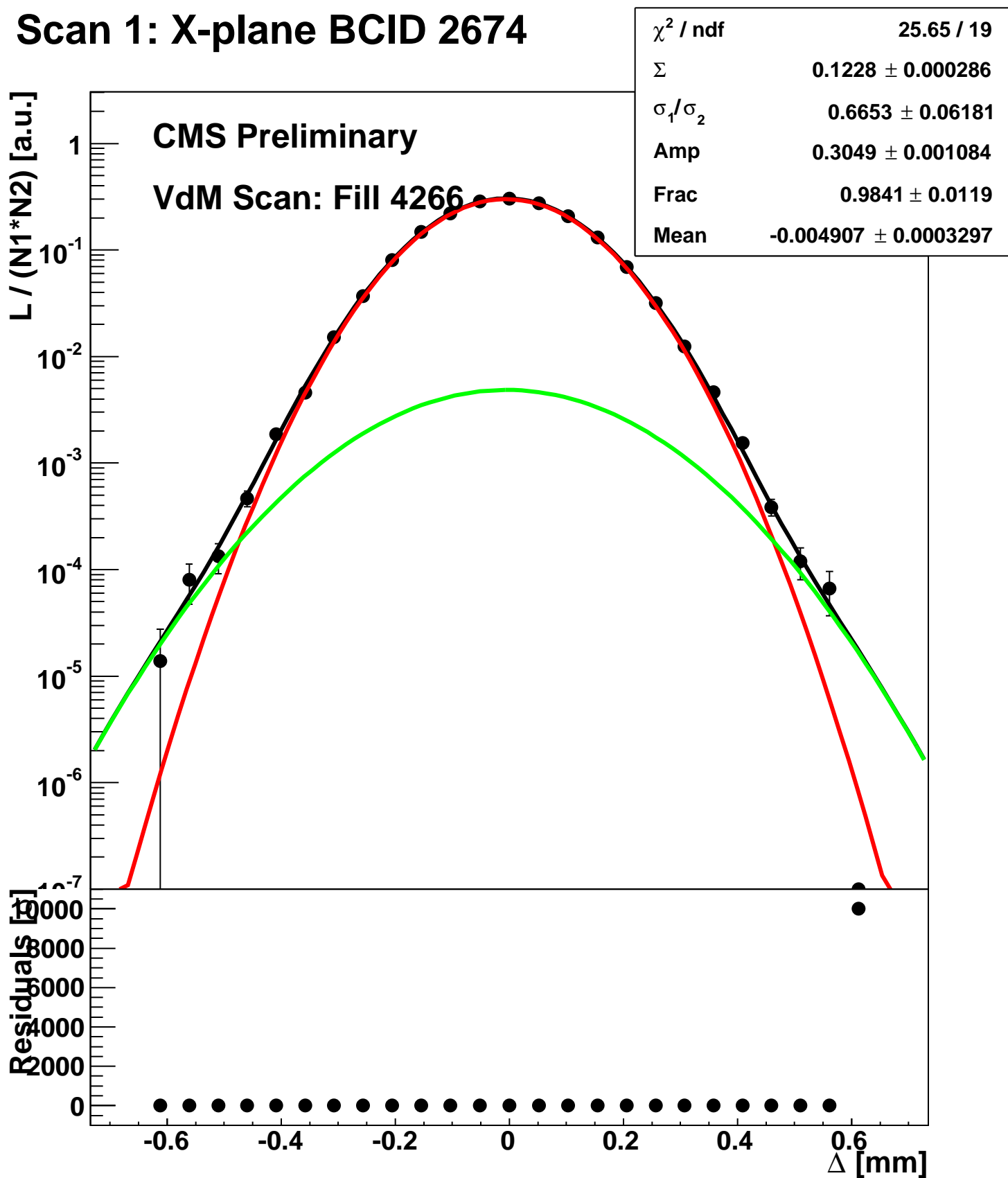


# Scan 1: X-plane BCID 2211

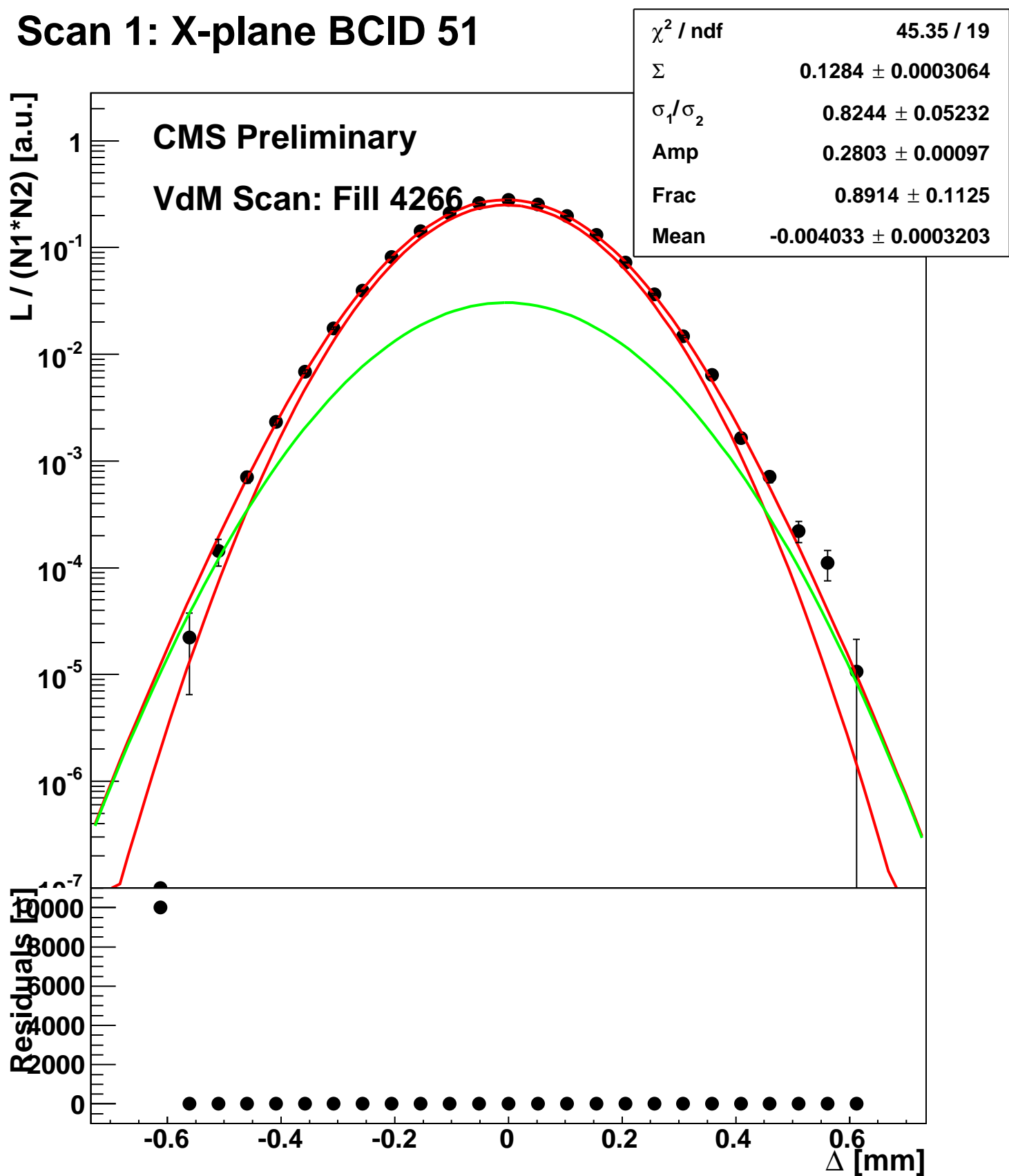




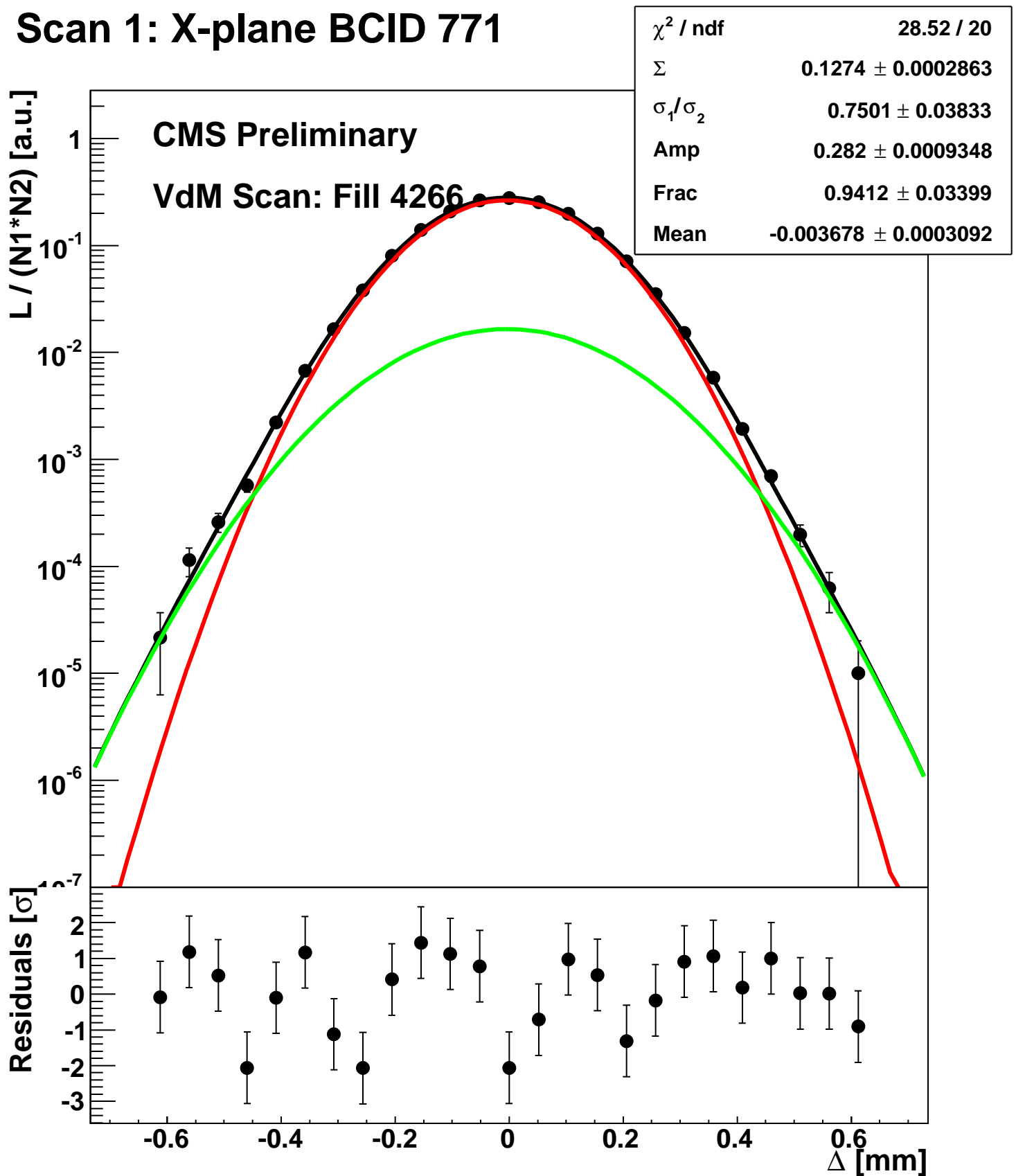
# Scan 1: X-plane BCID 2674



# Scan 1: X-plane BCID 51

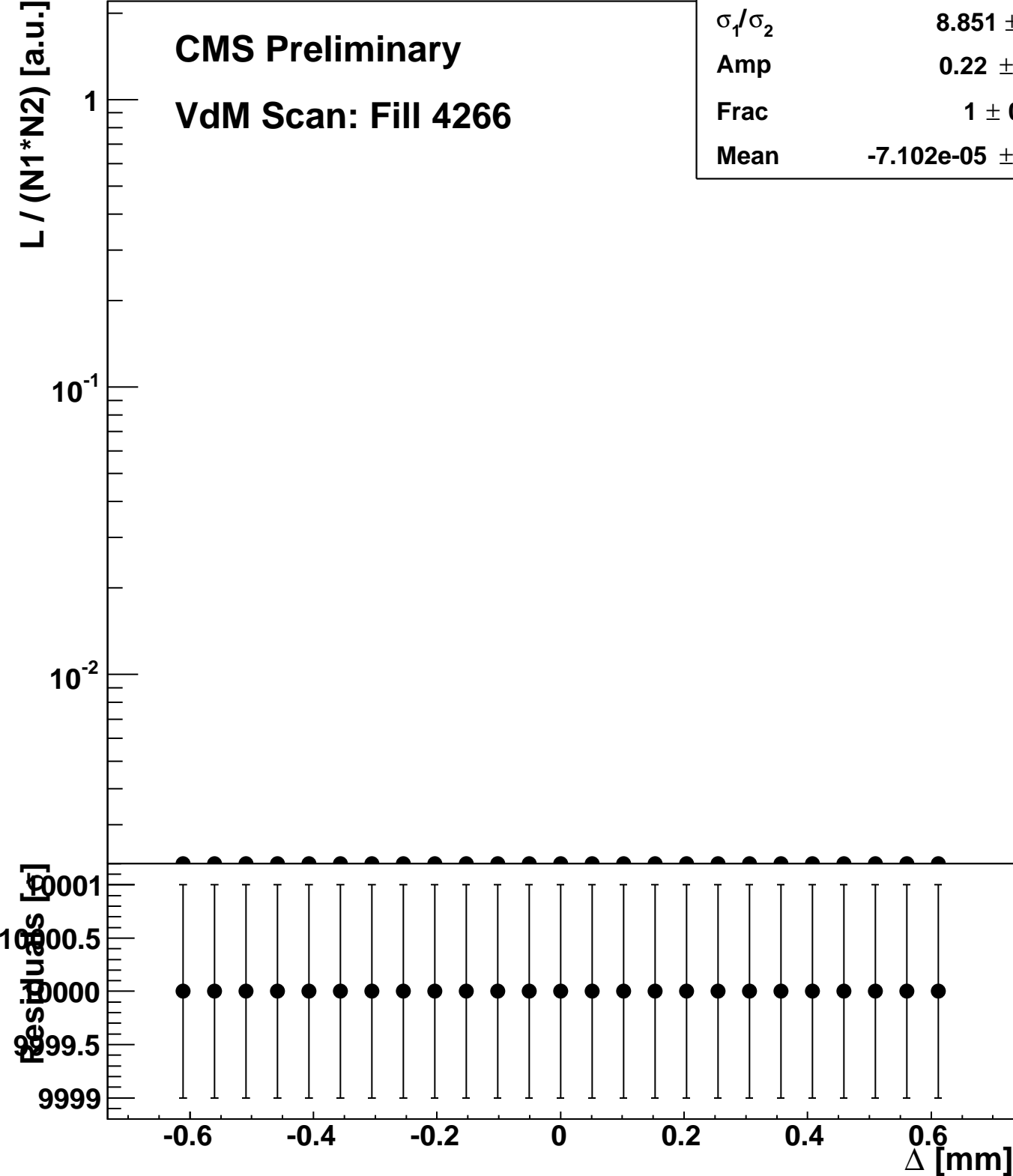


# Scan 1: X-plane BCID 771

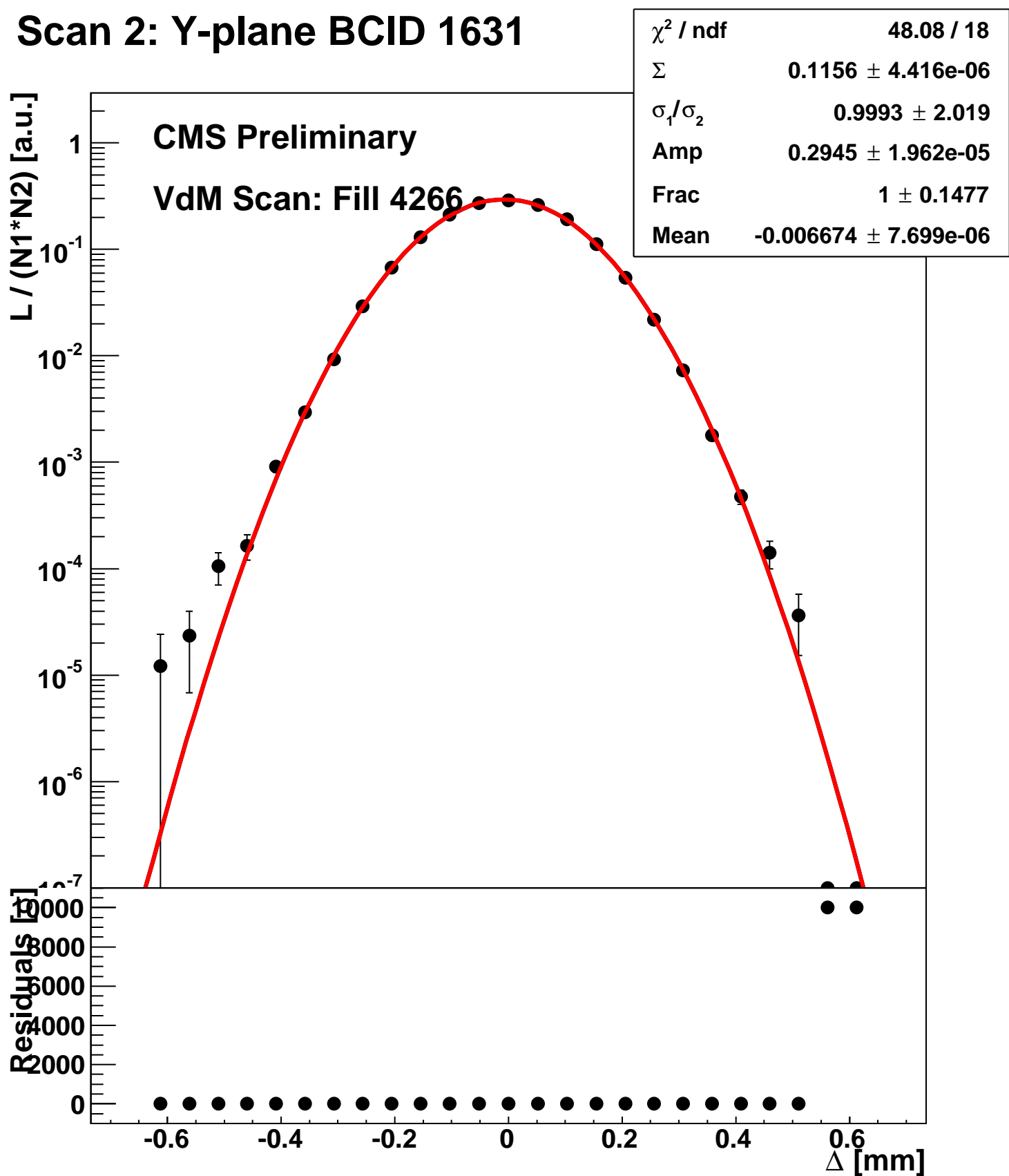


# Scan 1: X-plane BCID sum

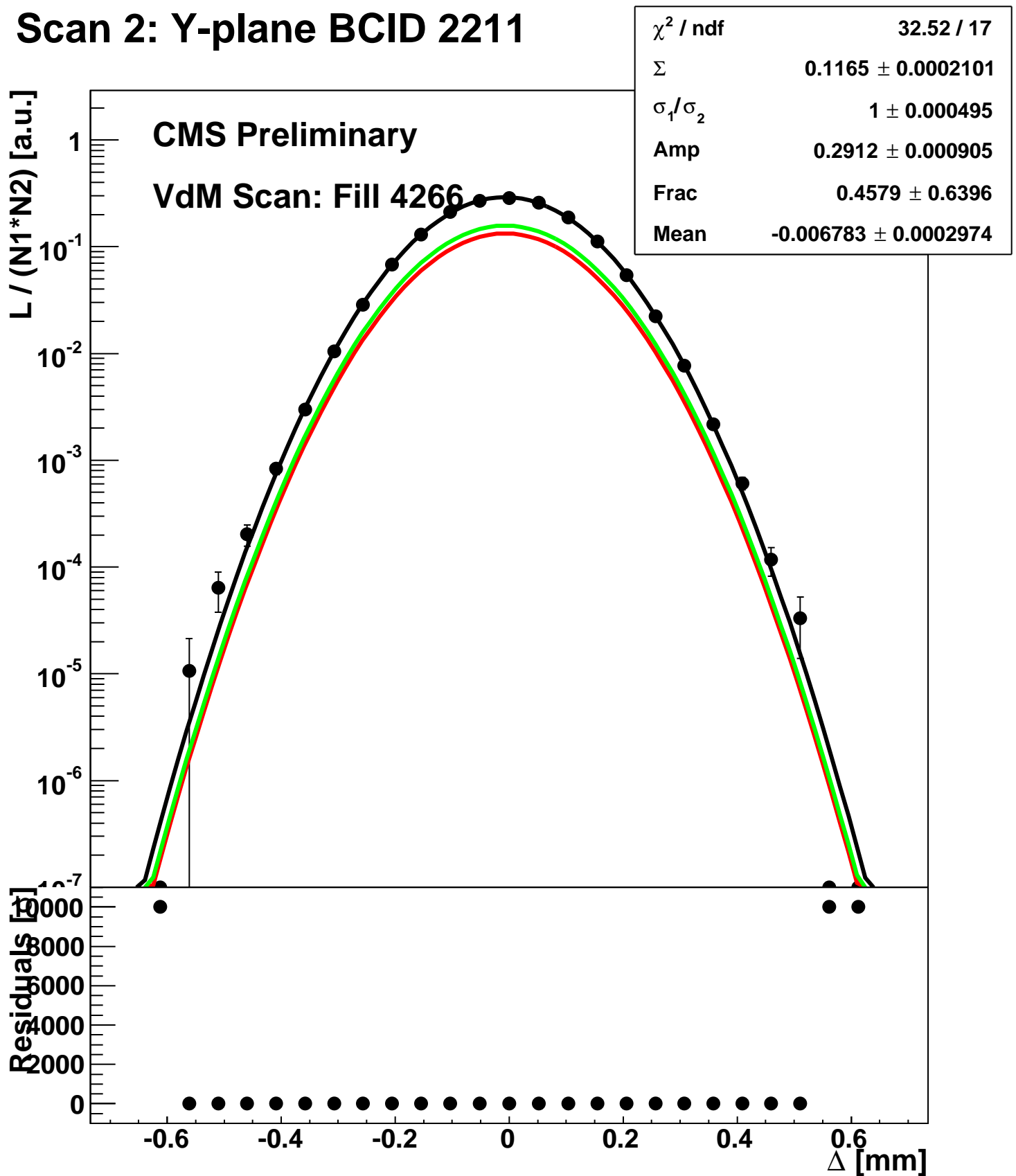
$\chi^2 / \text{ndf}$	0 / 20
$\Sigma$	$3.221\text{e-}06 \pm 0.001135$
$\sigma_1 / \sigma_2$	$8.851 \pm 8.12$
Amp	$0.22 \pm 3.752$
Frac	$1 \pm 0.7115$
Mean	$-7.102\text{e-}05 \pm 1.414$



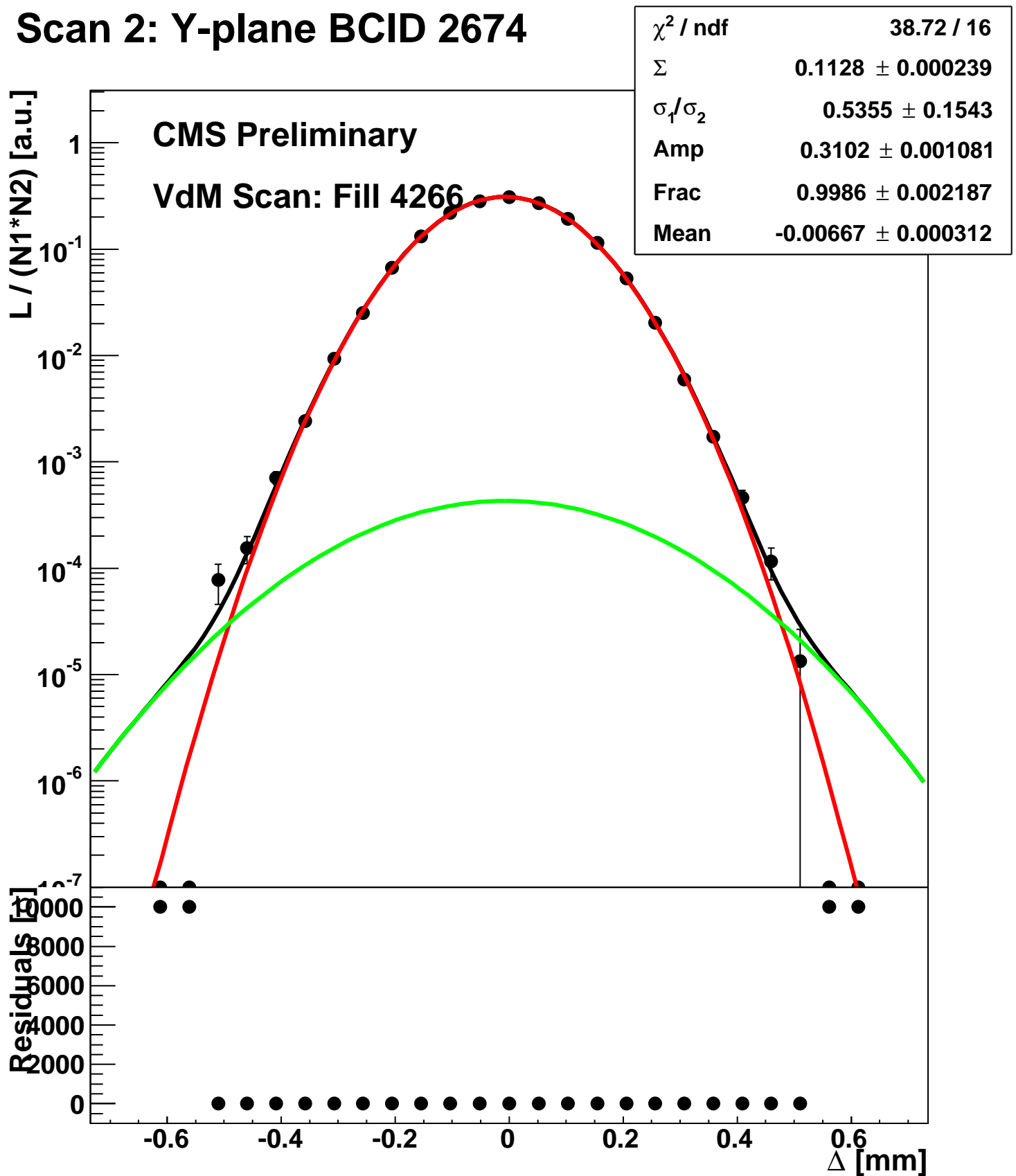
# Scan 2: Y-plane BCID 1631



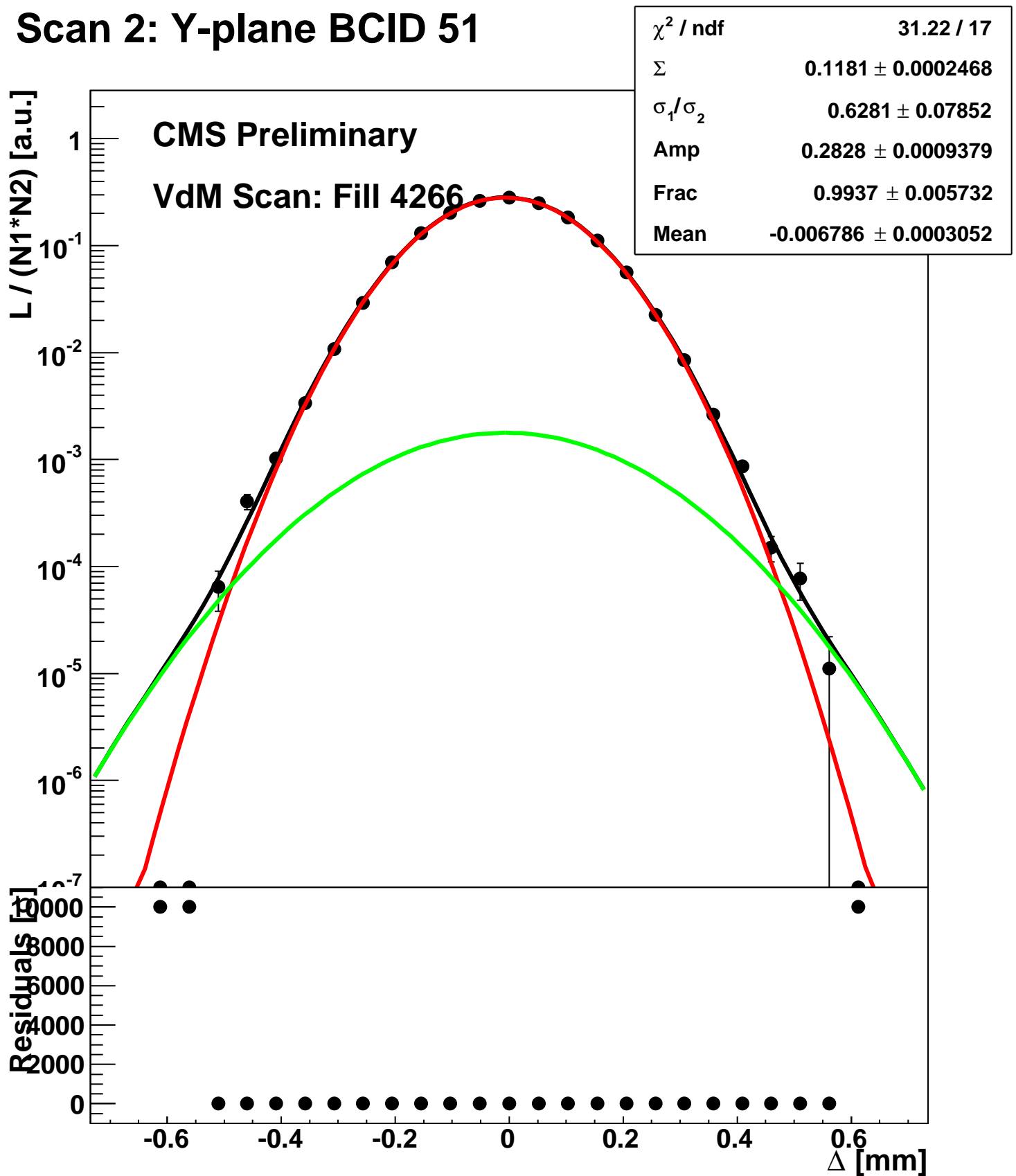
## Scan 2: Y-plane BCID 2211



# Scan 2: Y-plane BCID 2674

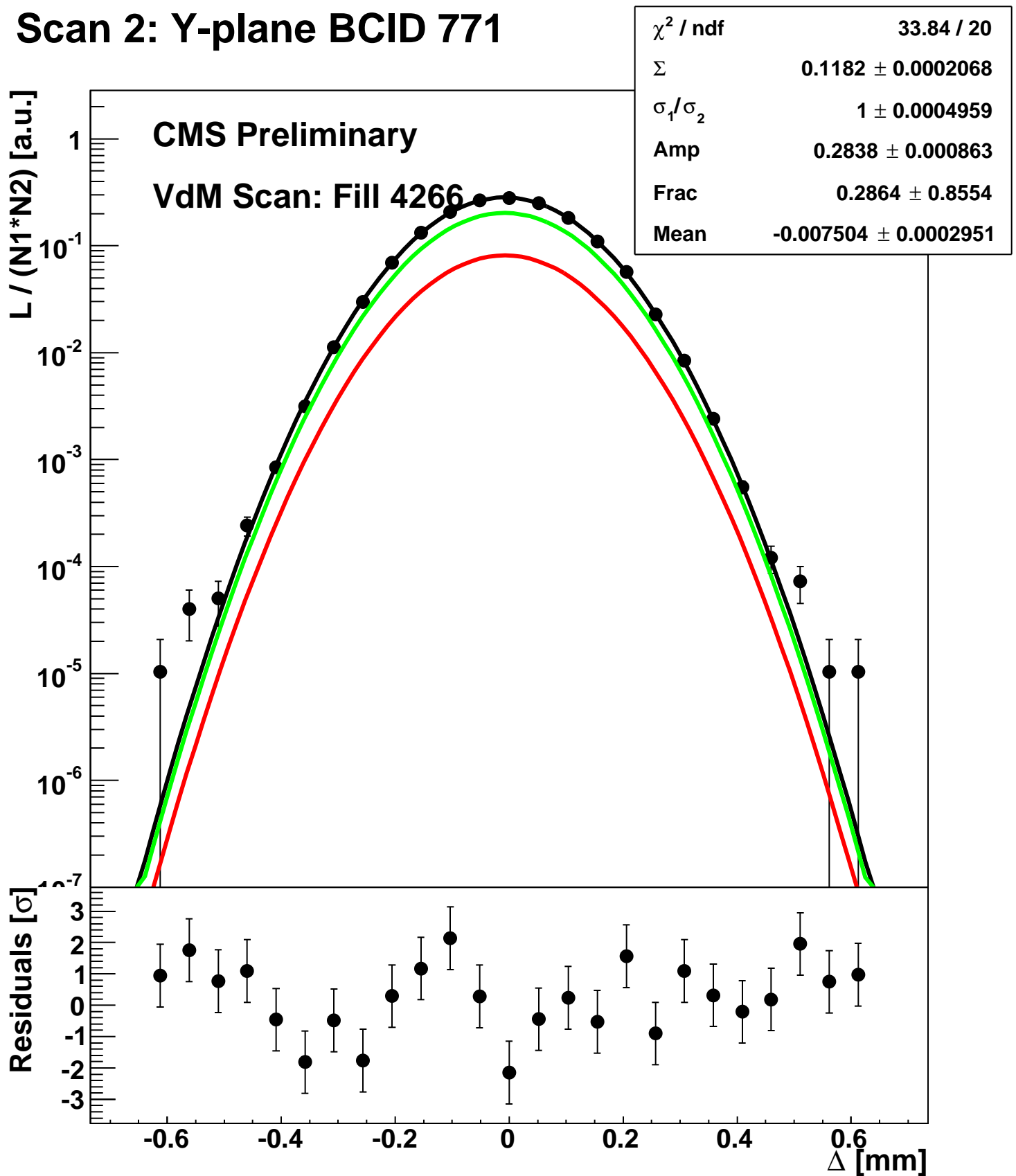


# Scan 2: Y-plane BCID 51

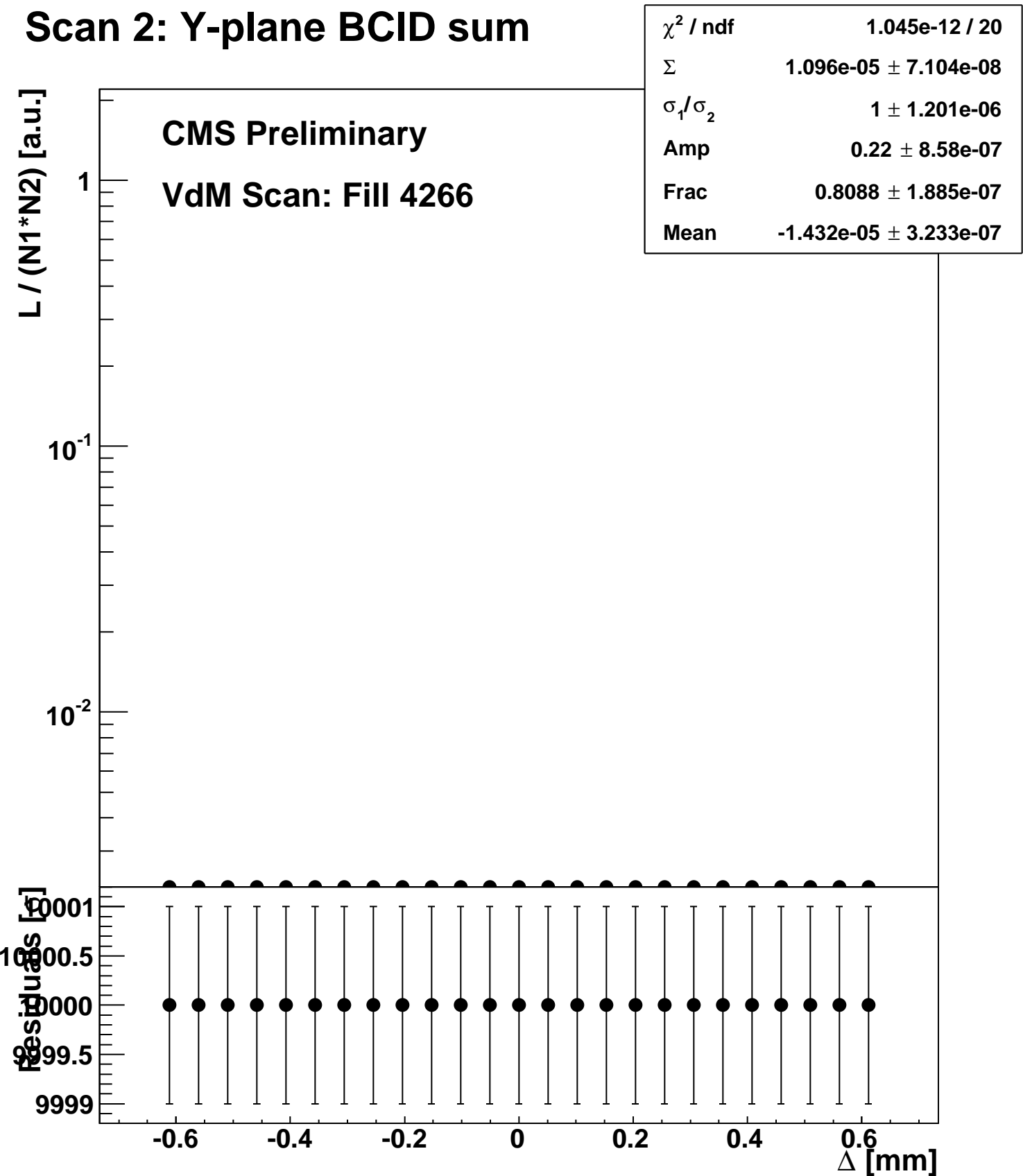




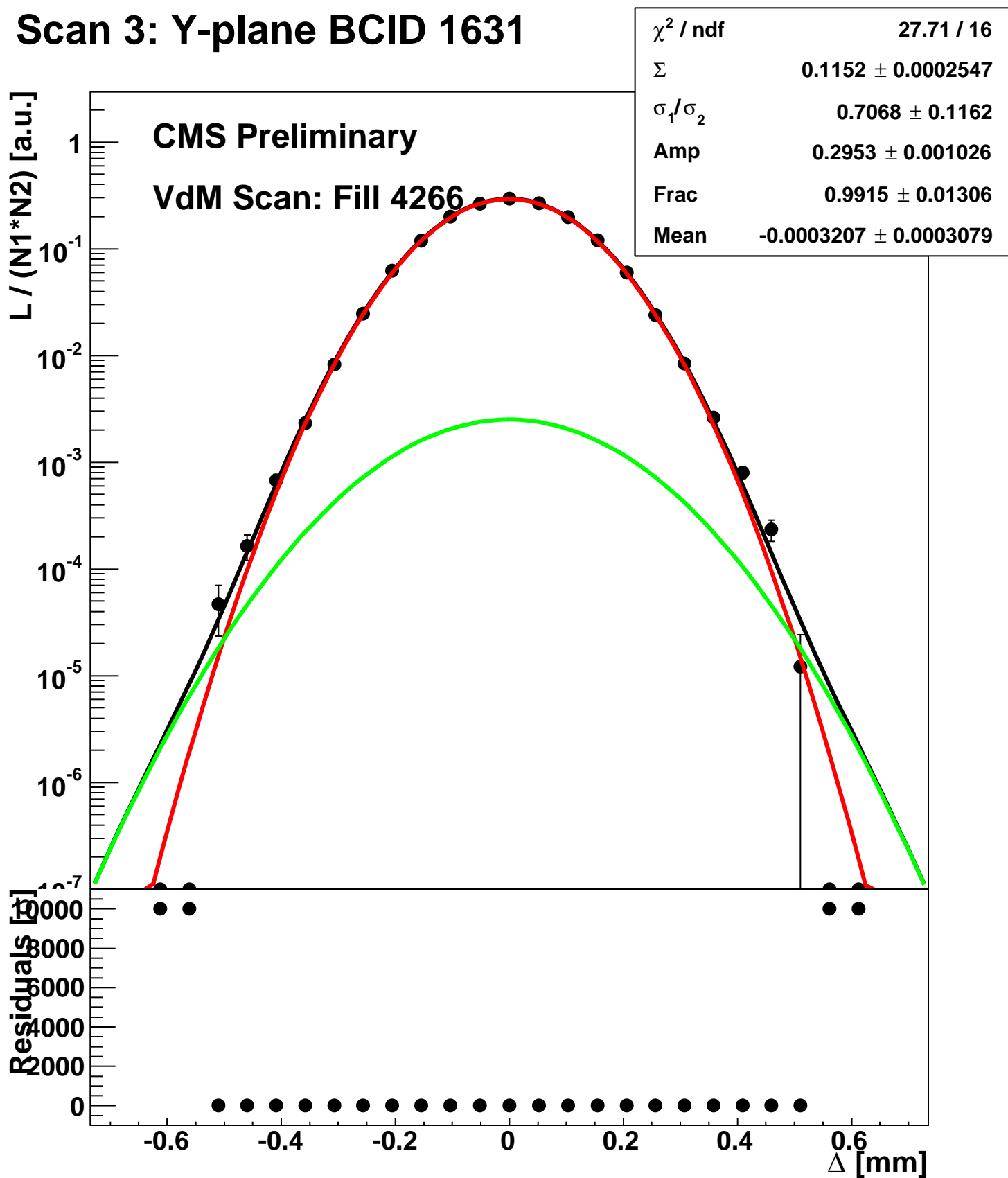
## Scan 2: Y-plane BCID 771



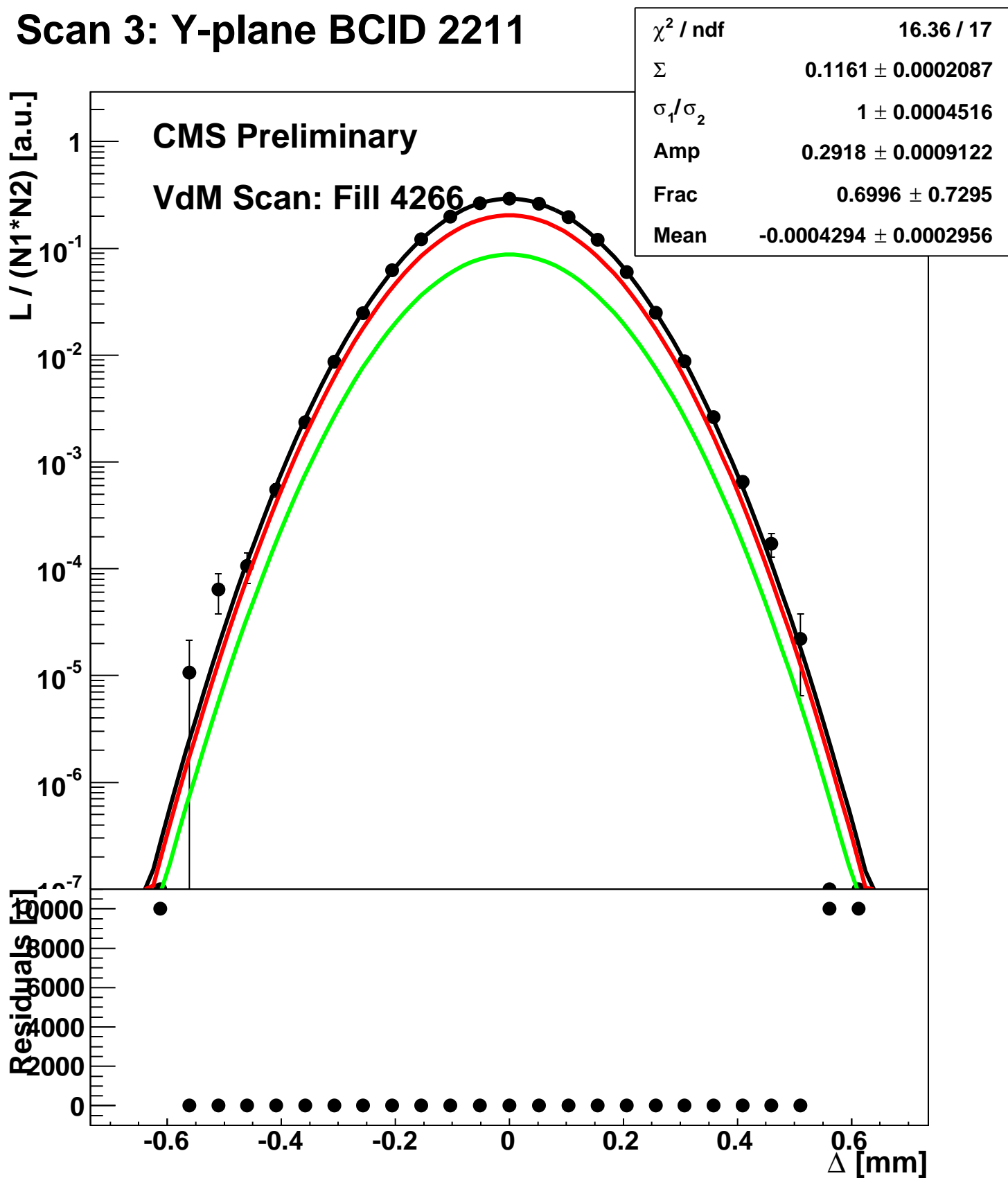
# Scan 2: Y-plane BCID sum



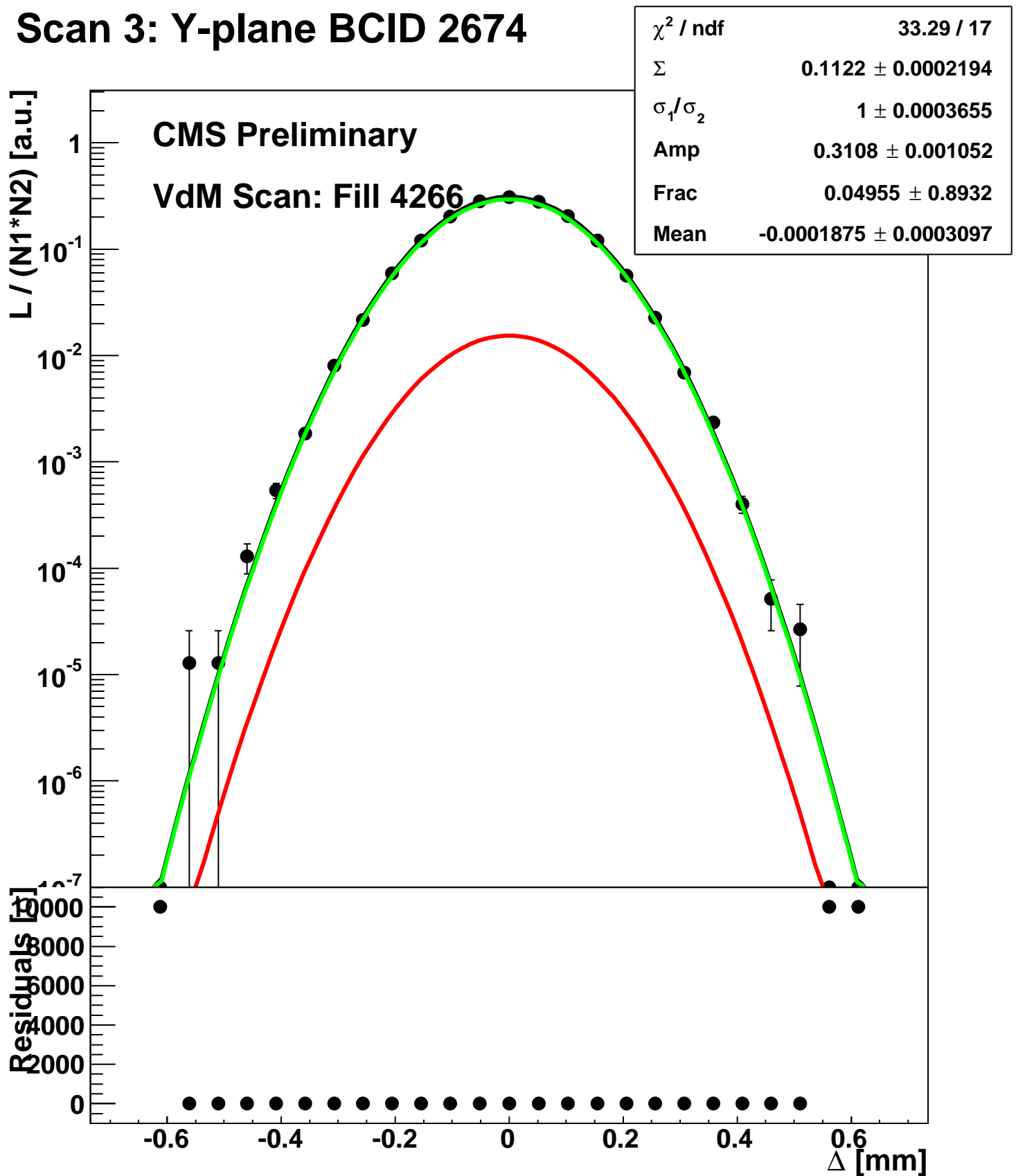
# Scan 3: Y-plane BCID 1631



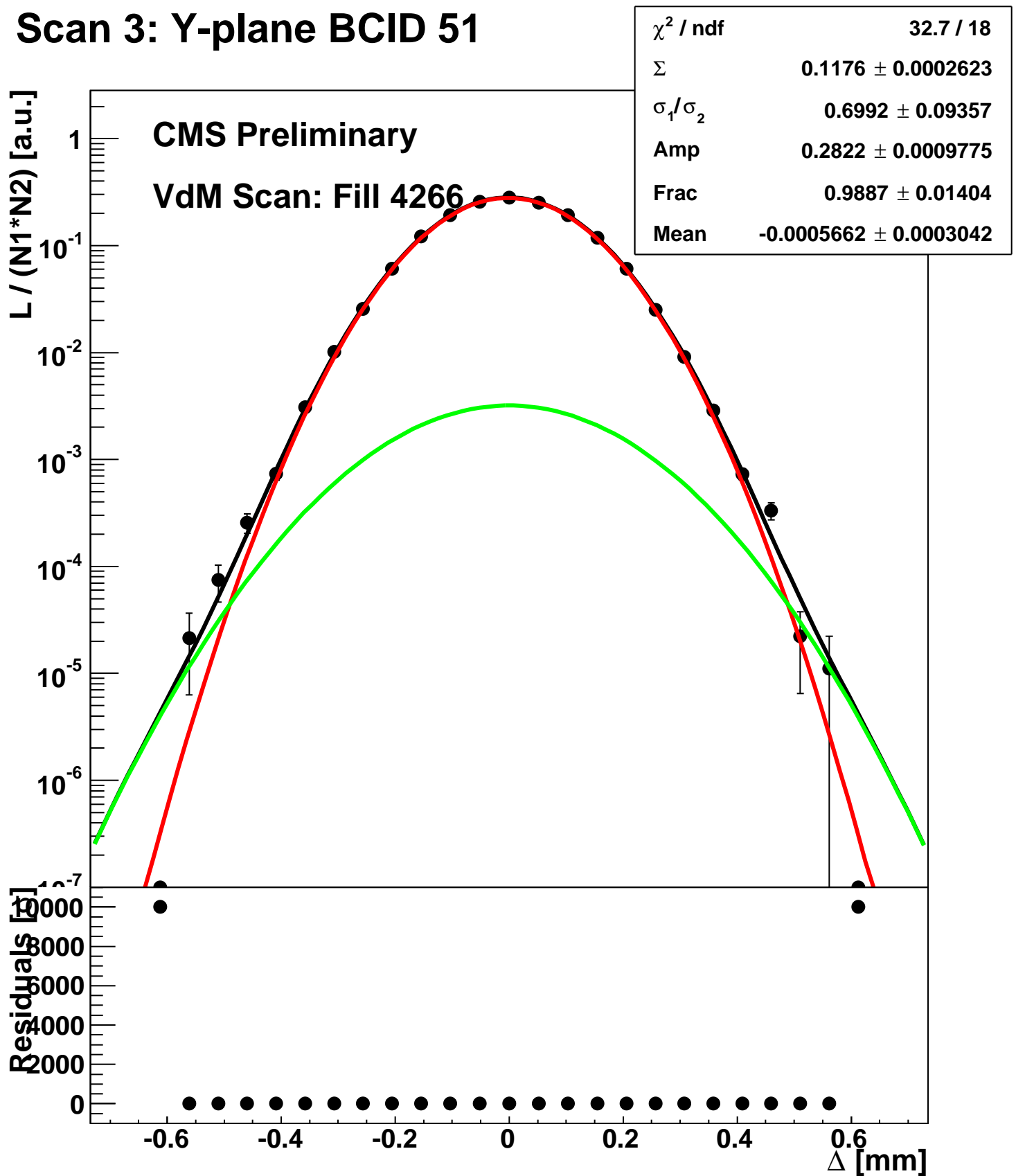
# Scan 3: Y-plane BCID 2211



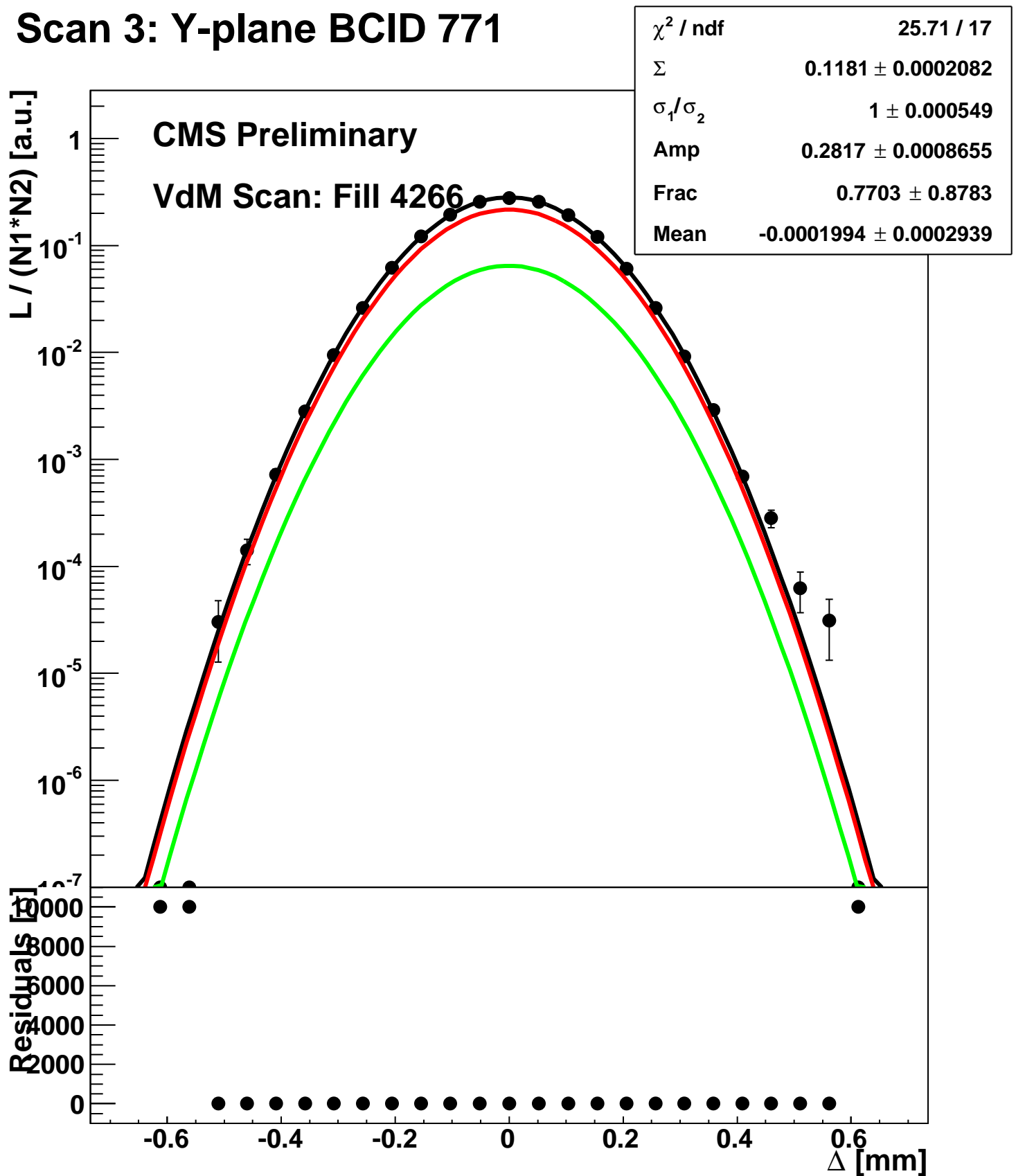
# Scan 3: Y-plane BCID 2674



# Scan 3: Y-plane BCID 51

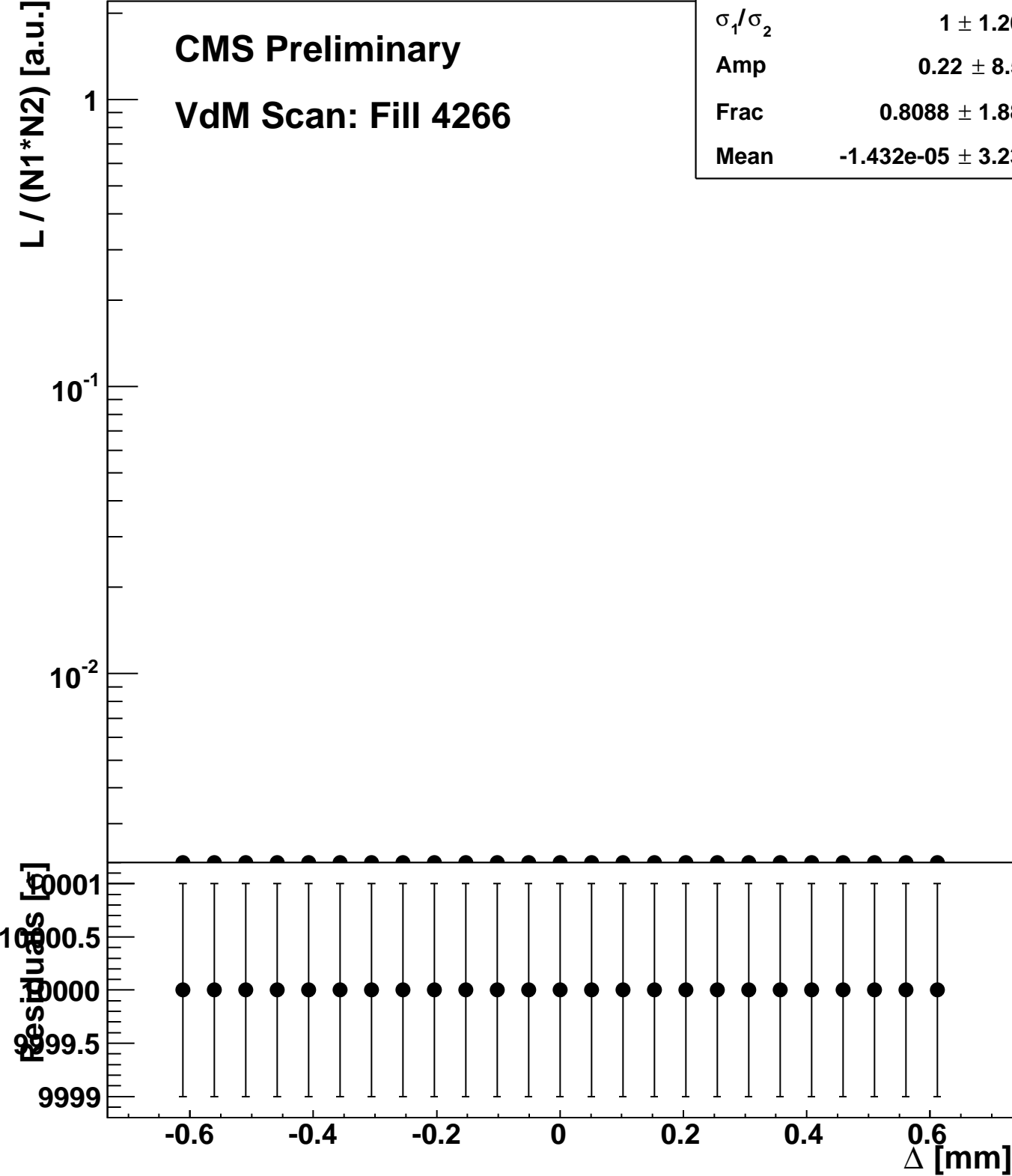


# Scan 3: Y-plane BCID 771



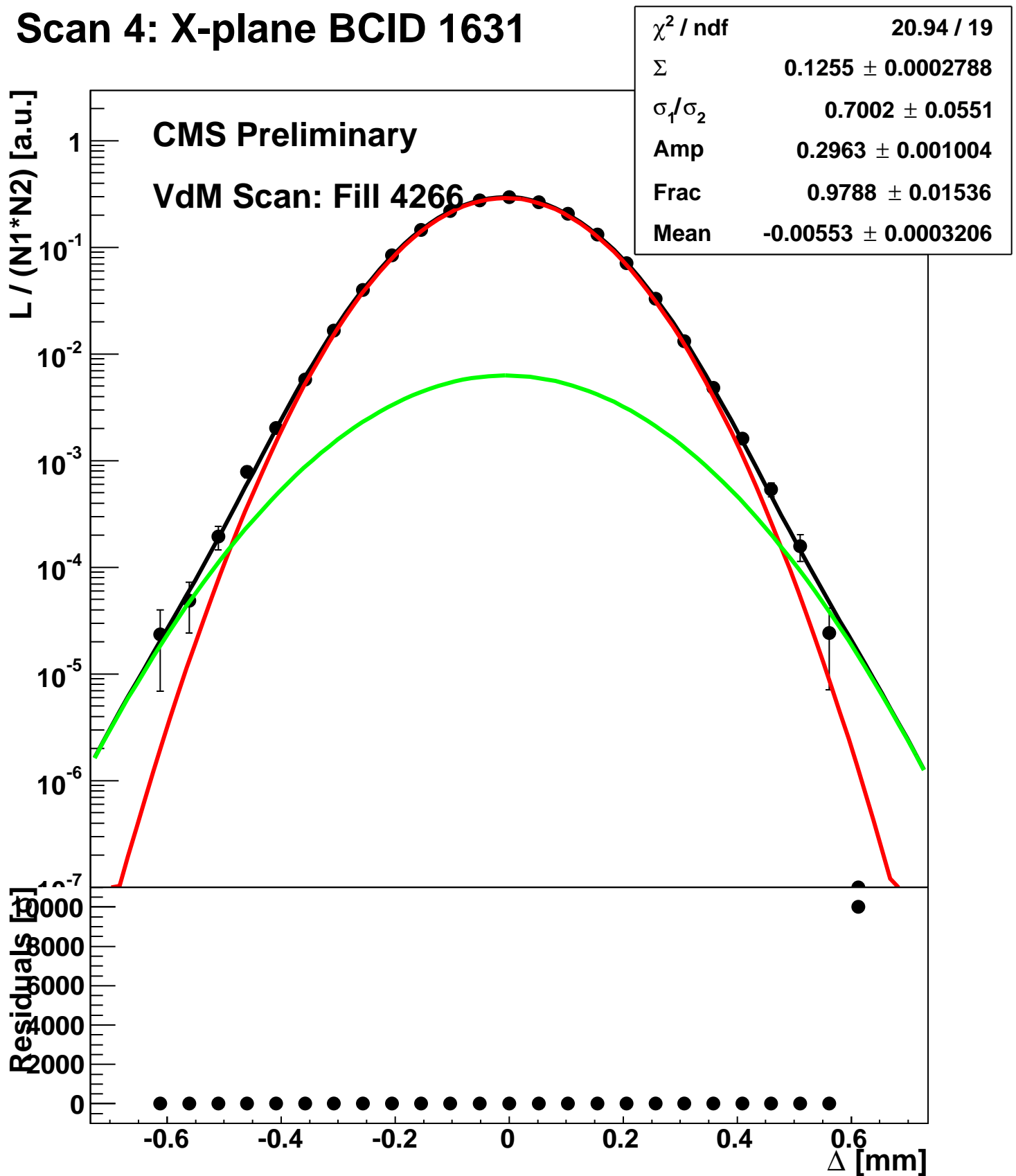
# Scan 3: Y-plane BCID sum

$\chi^2 / \text{ndf}$	1.045e-12 / 20
$\Sigma$	1.096e-05 $\pm$ 7.104e-08
$\sigma_1 / \sigma_2$	1 $\pm$ 1.201e-06
Amp	0.22 $\pm$ 8.58e-07
Frac	0.8088 $\pm$ 1.885e-07
Mean	-1.432e-05 $\pm$ 3.233e-07

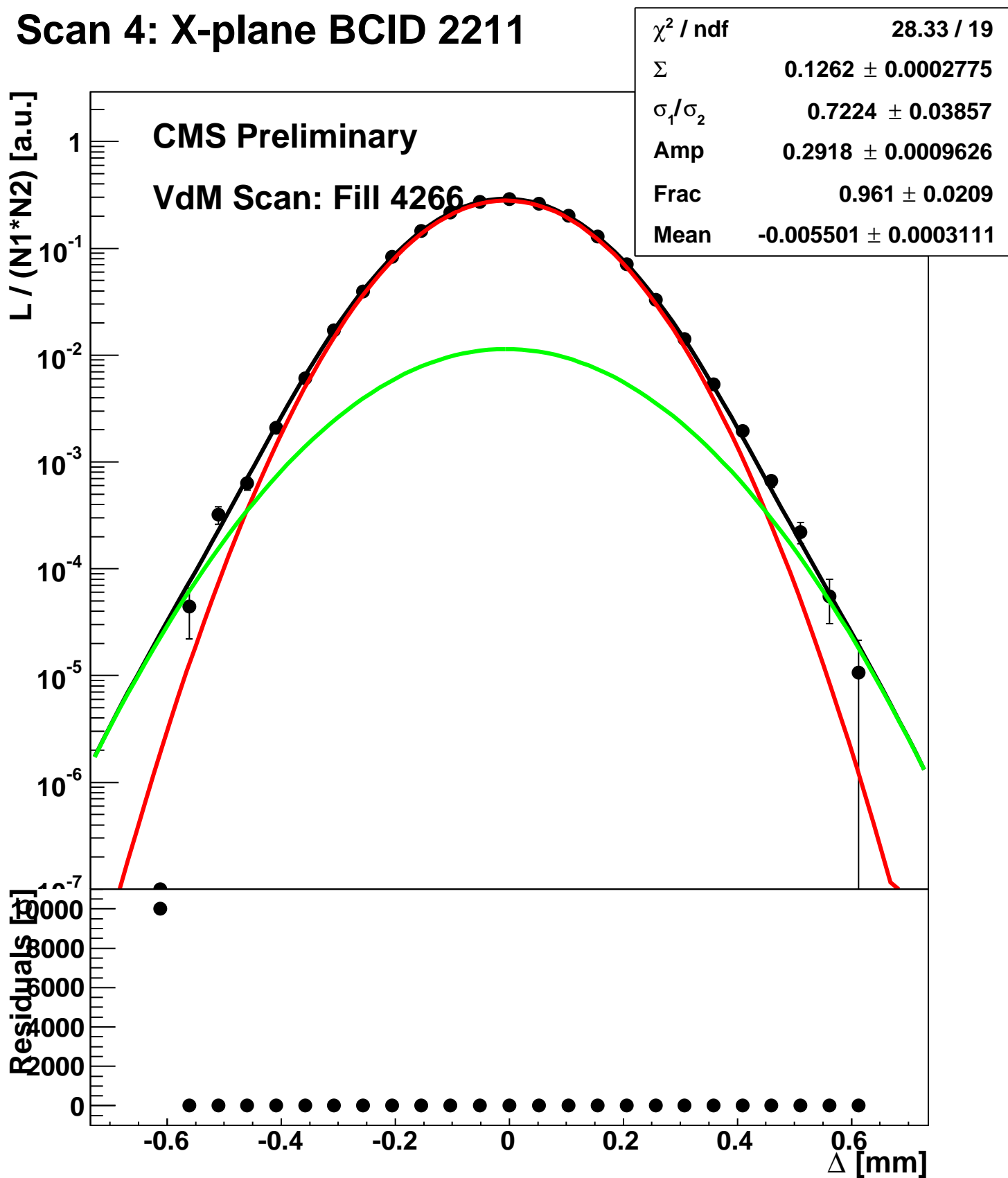




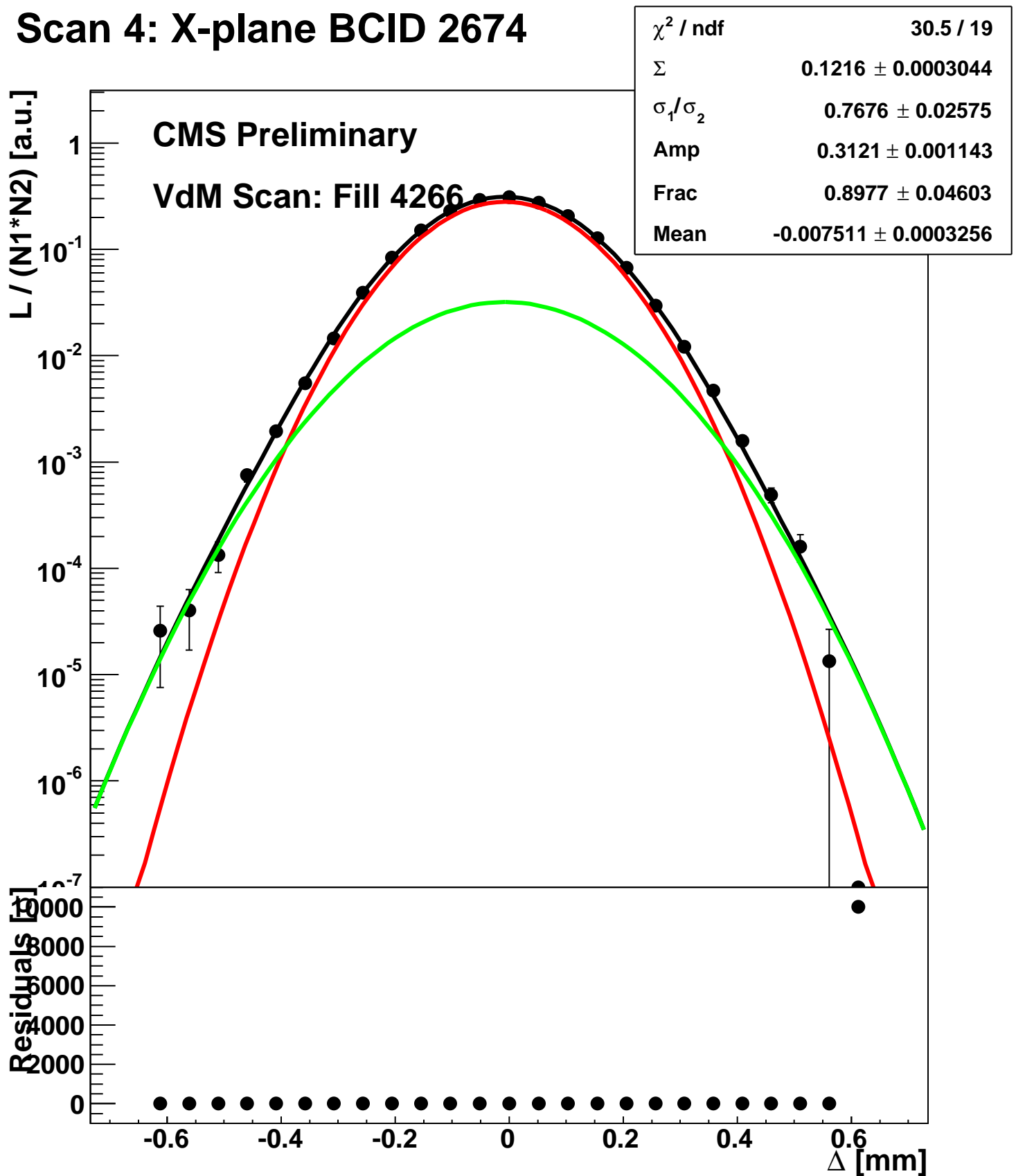
# Scan 4: X-plane BCID 1631



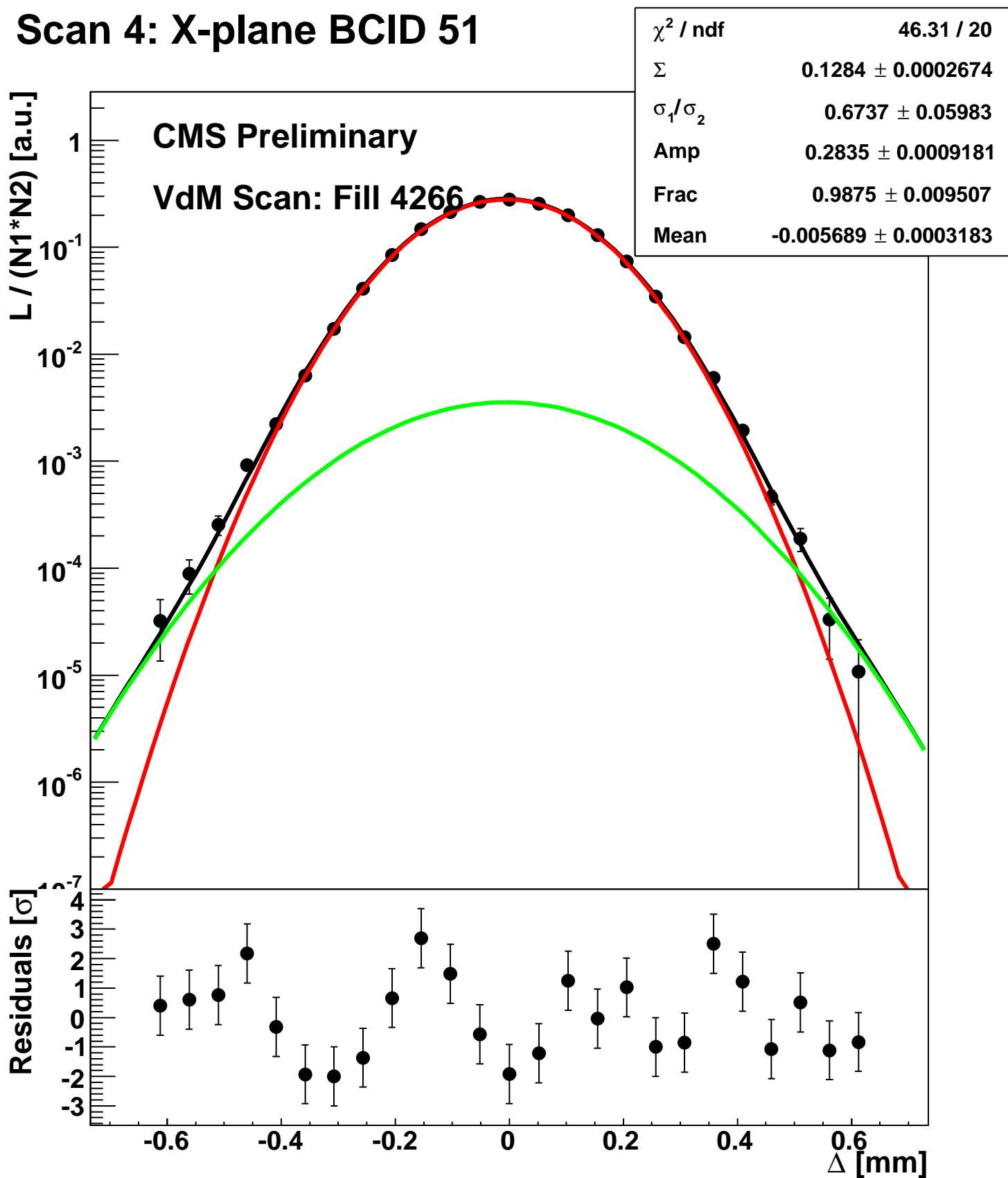
# Scan 4: X-plane BCID 2211



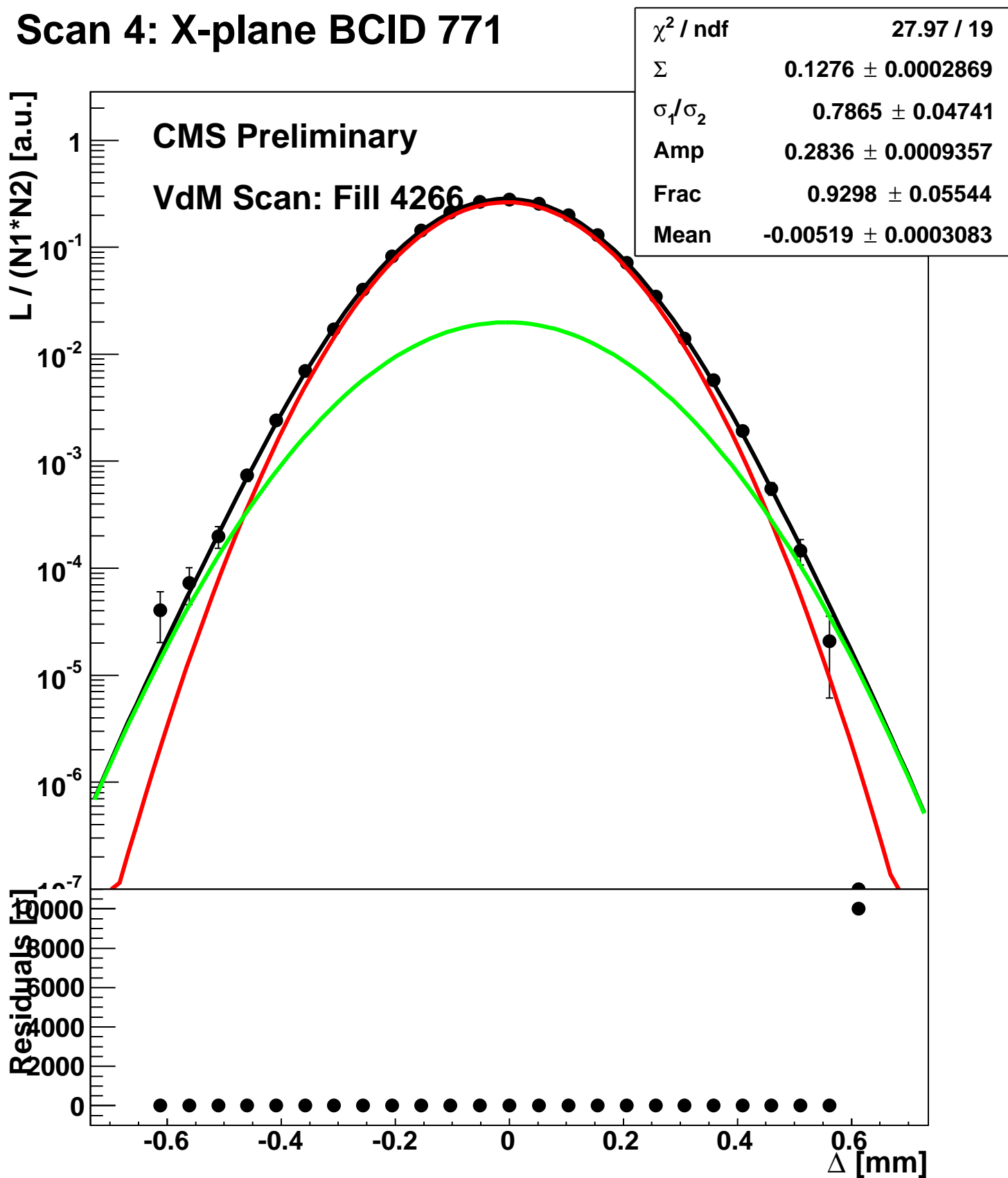
# Scan 4: X-plane BCID 2674



# Scan 4: X-plane BCID 51

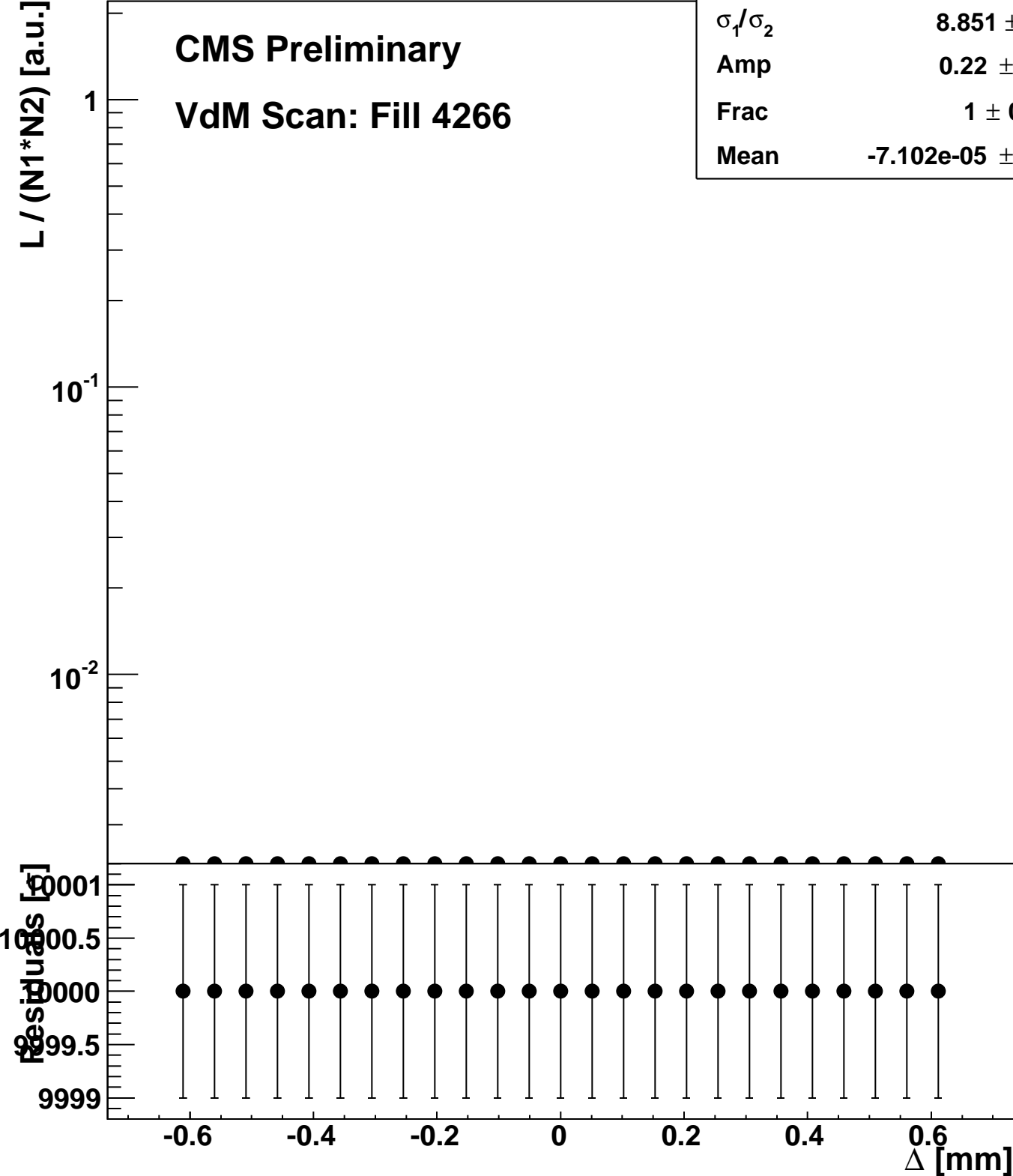


# Scan 4: X-plane BCID 771

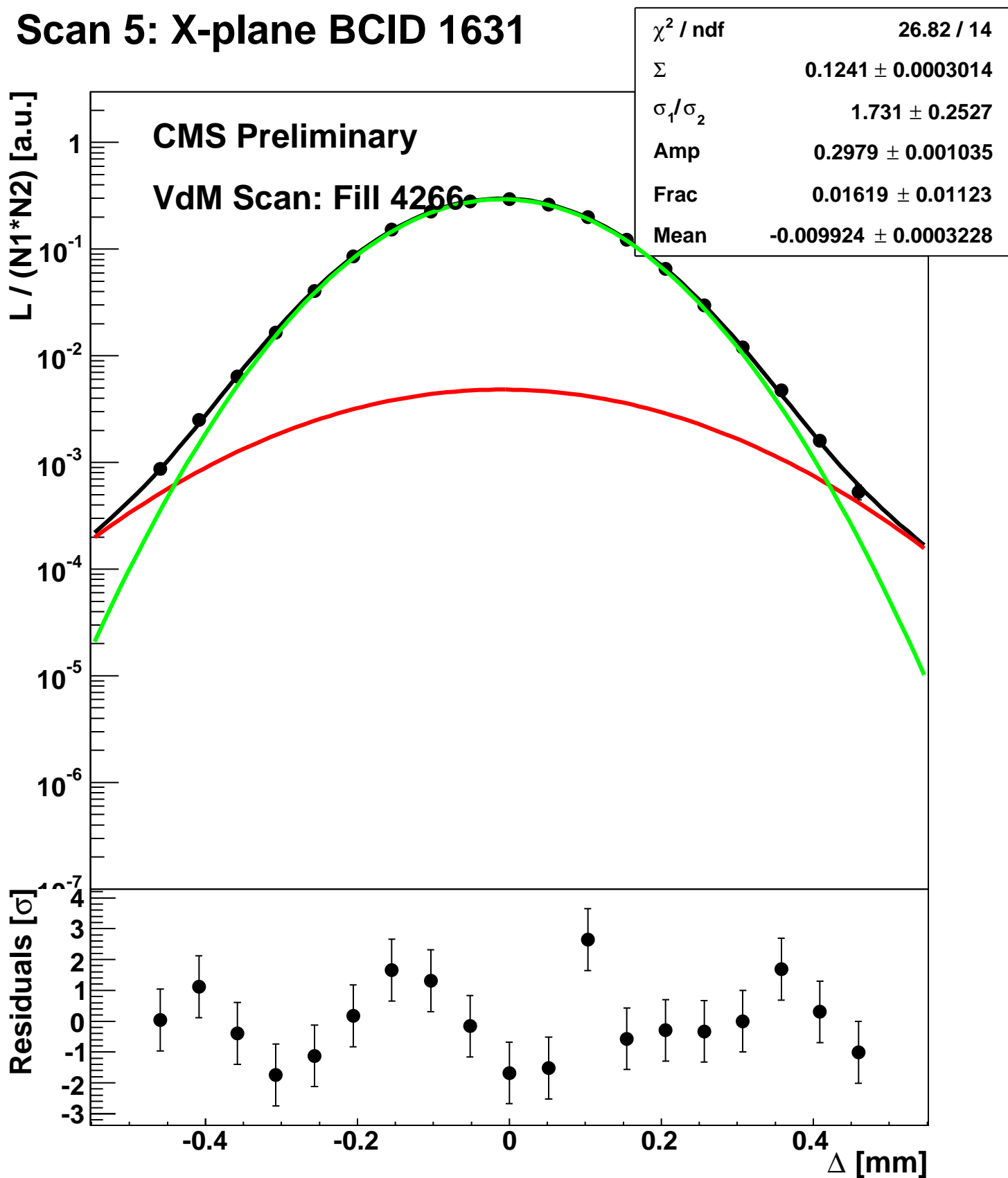


# Scan 4: X-plane BCID sum

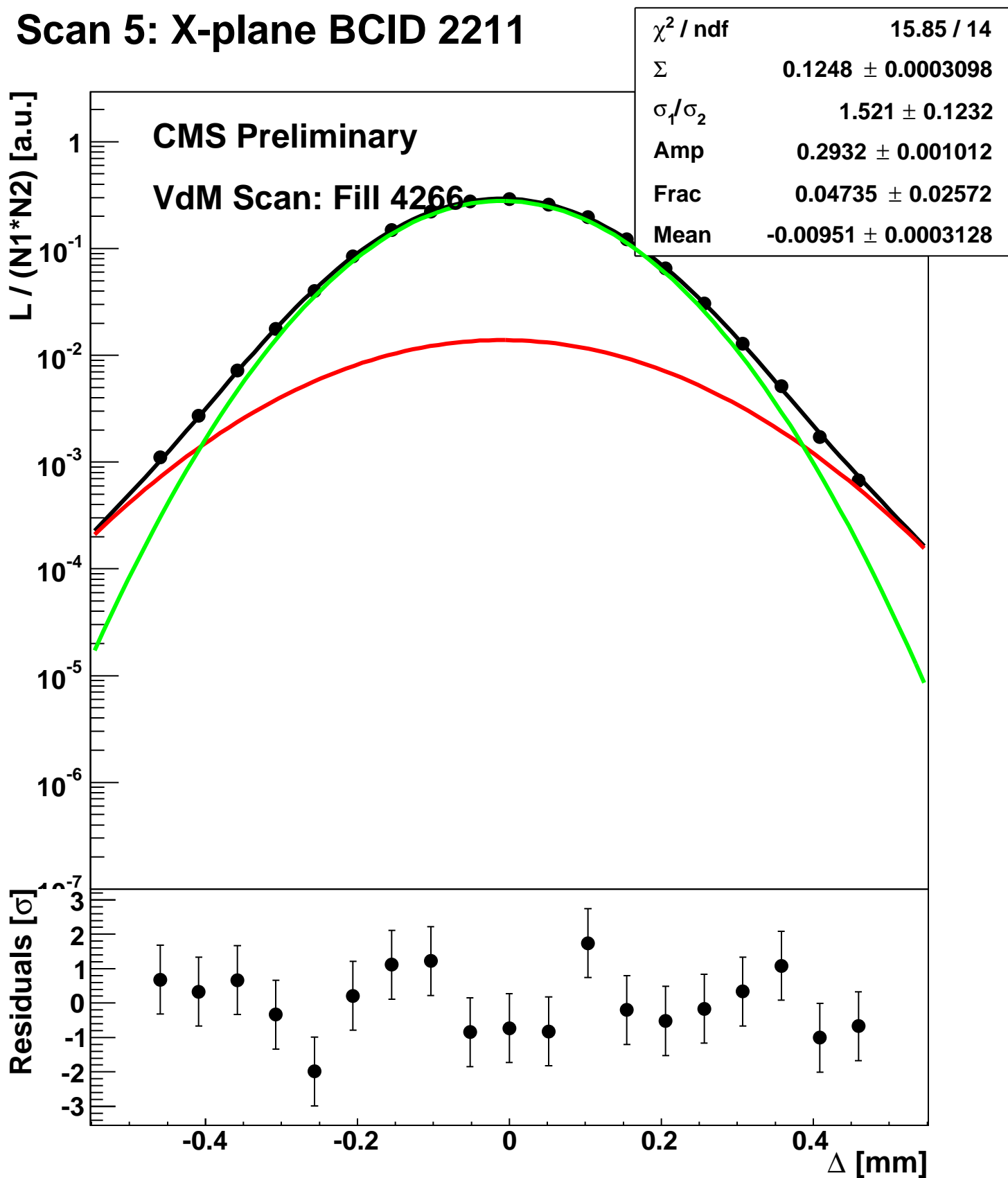
$\chi^2 / \text{ndf}$	0 / 20
$\Sigma$	$3.221\text{e-}06 \pm 0.001135$
$\sigma_1 / \sigma_2$	$8.851 \pm 8.12$
Amp	$0.22 \pm 3.752$
Frac	$1 \pm 0.7115$
Mean	$-7.102\text{e-}05 \pm 1.414$



# Scan 5: X-plane BCID 1631

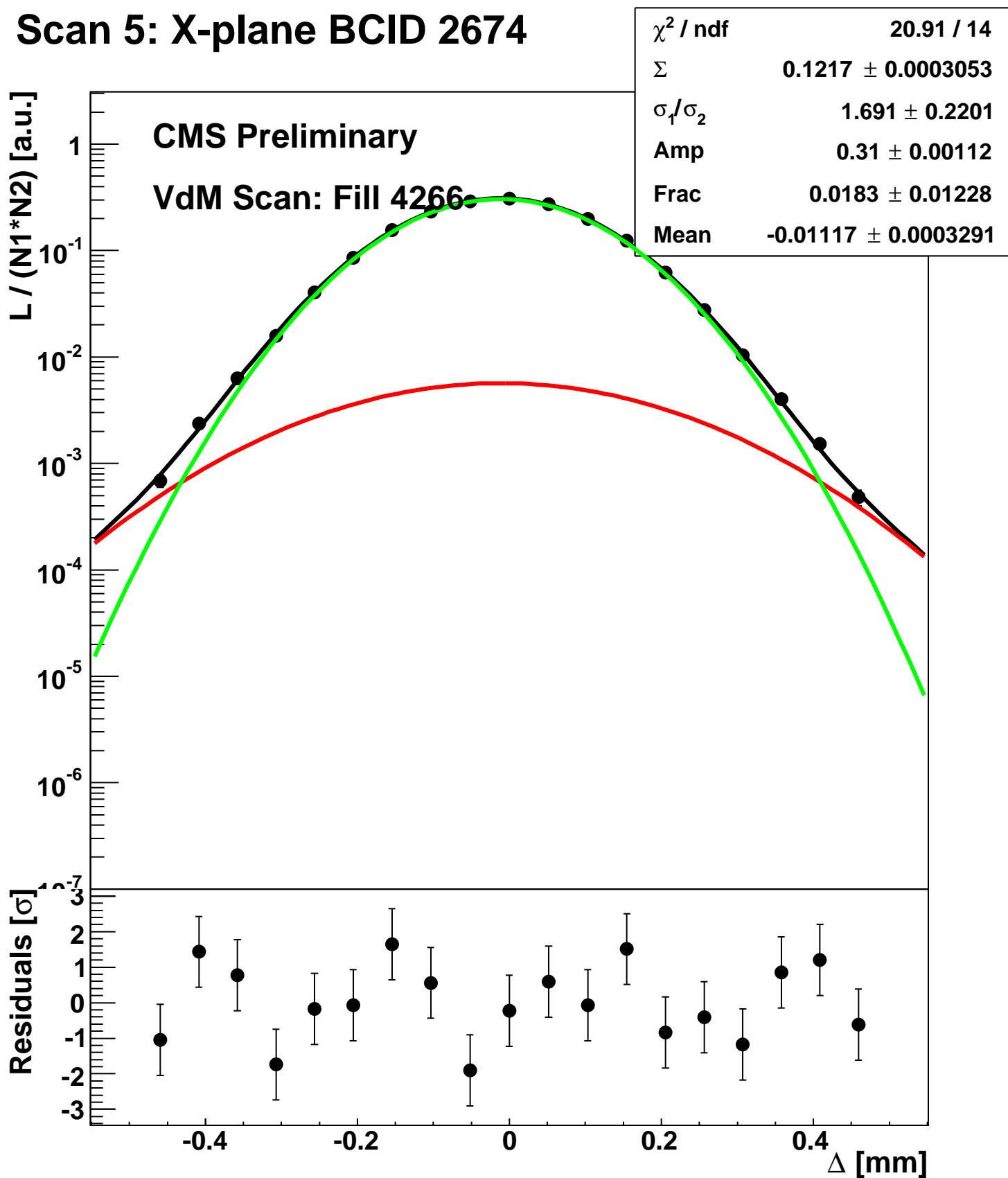


# Scan 5: X-plane BCID 2211

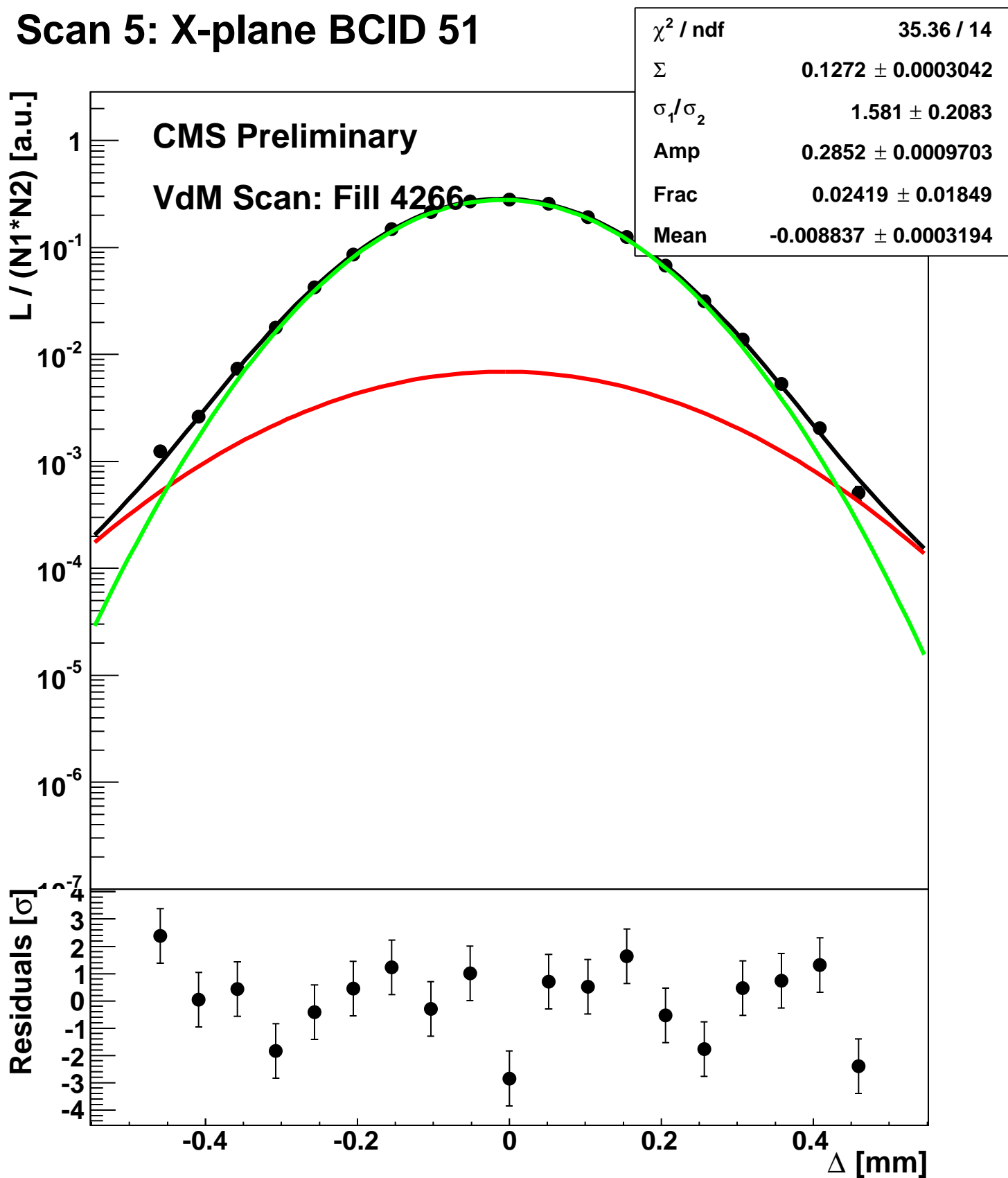




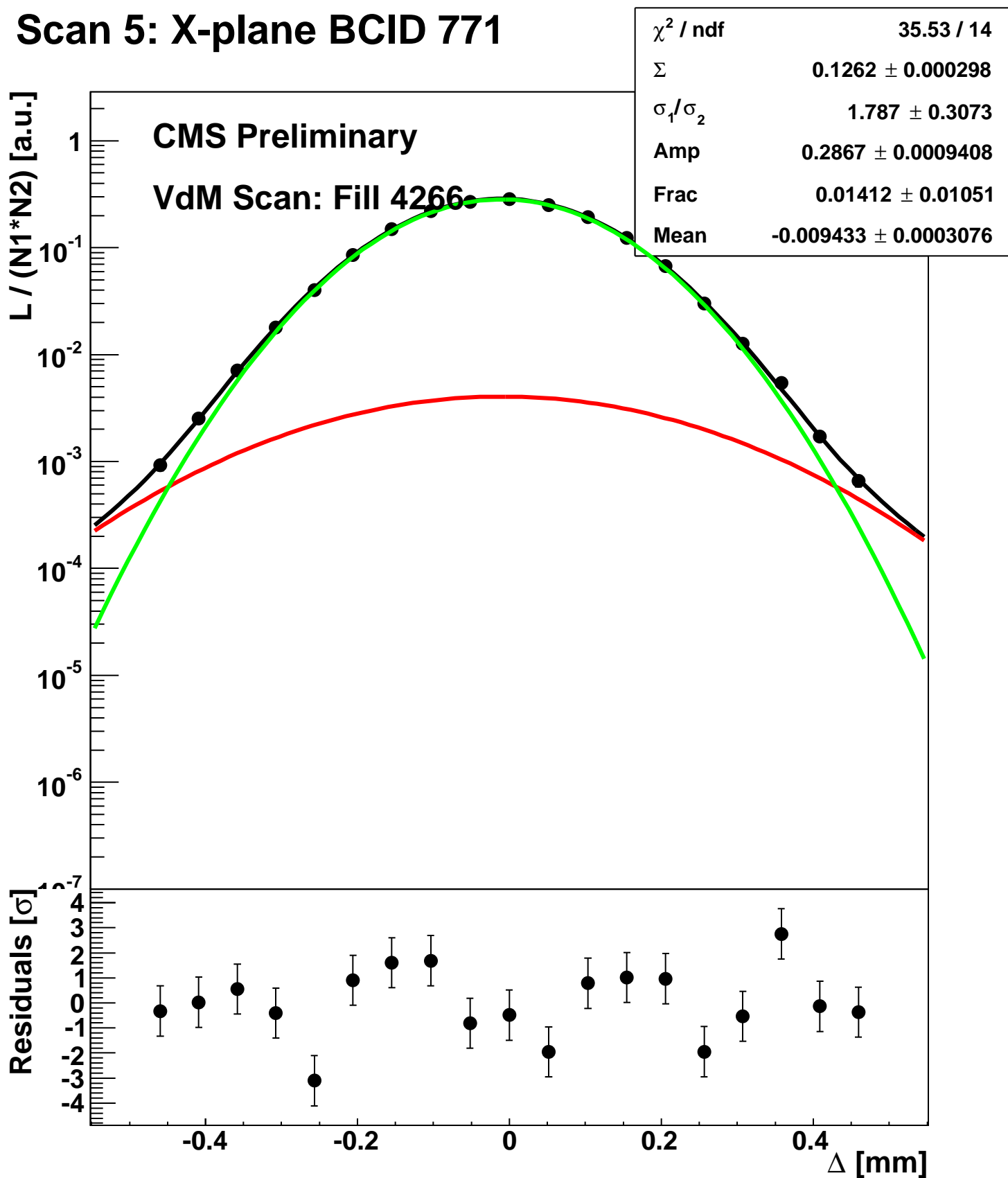
# Scan 5: X-plane BCID 2674



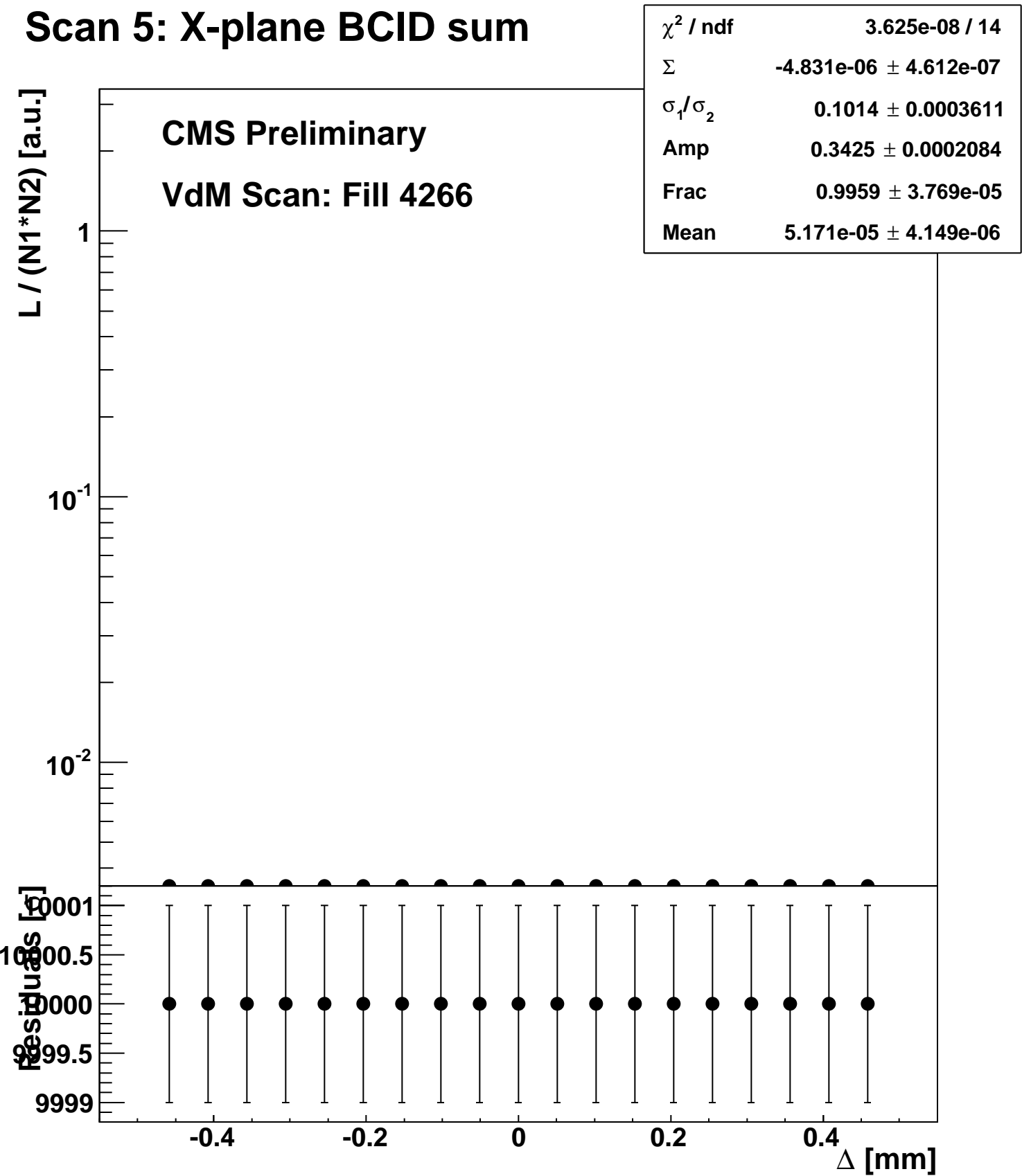
# Scan 5: X-plane BCID 51



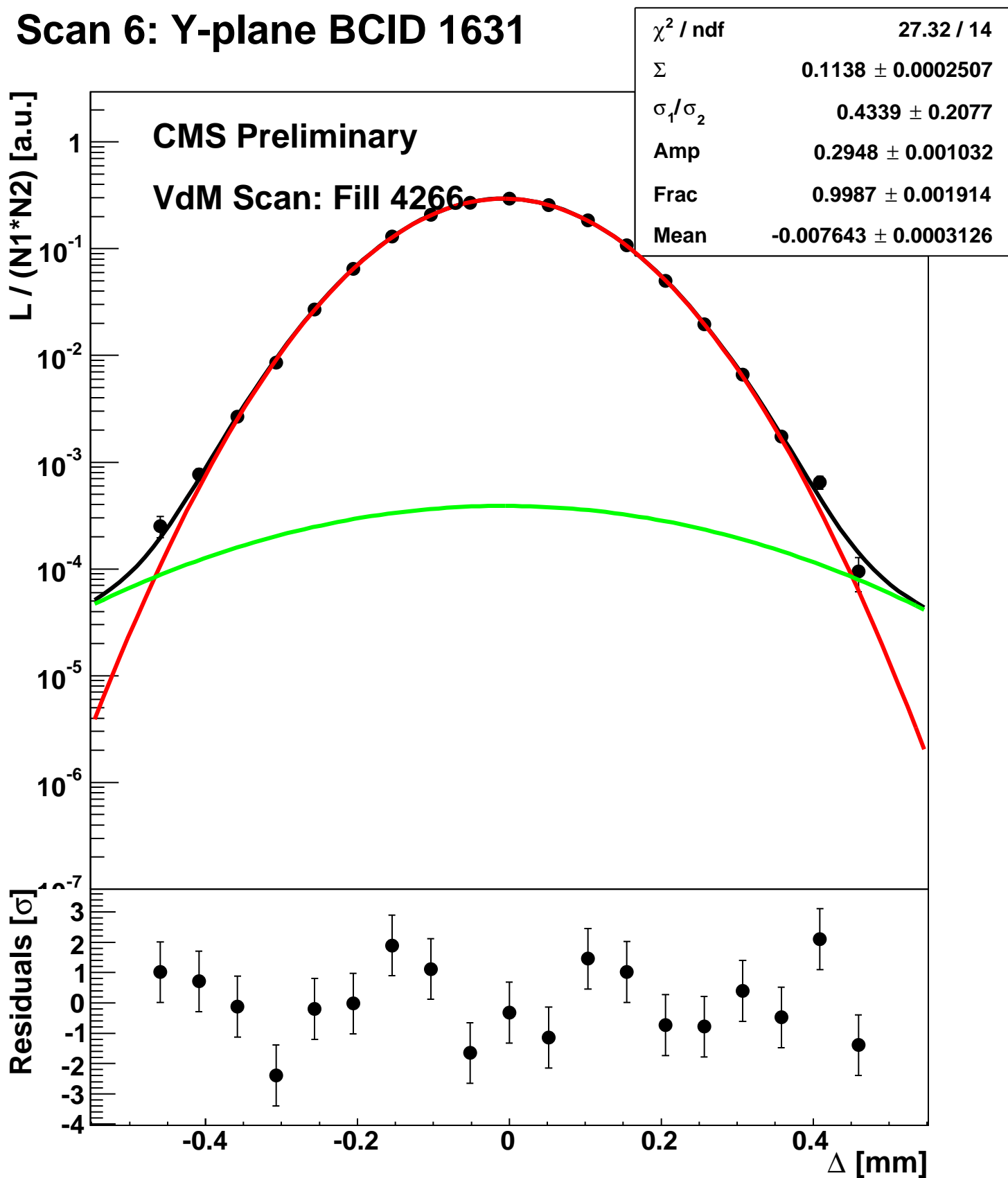
# Scan 5: X-plane BCID 771



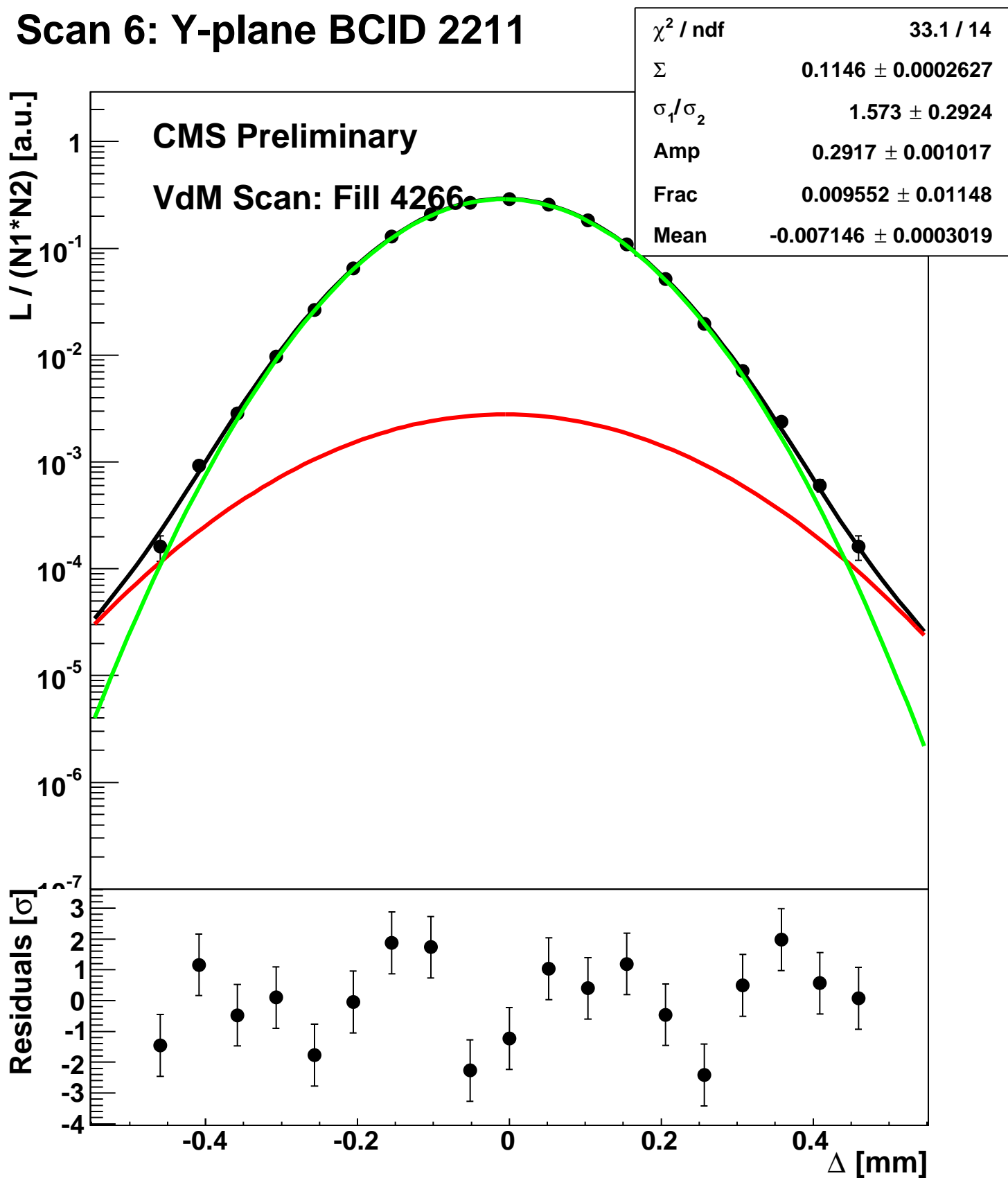
# Scan 5: X-plane BCID sum



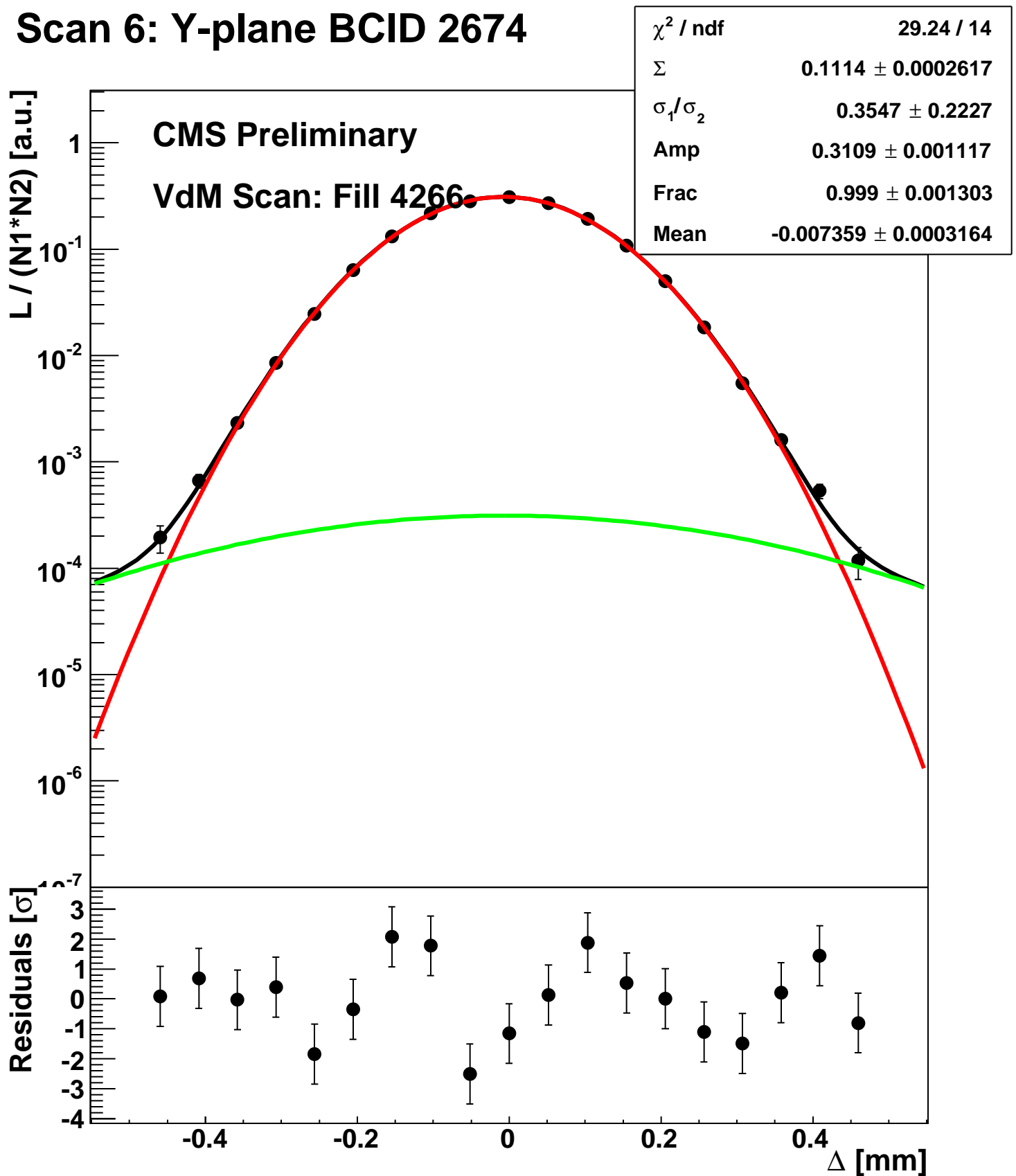
# Scan 6: Y-plane BCID 1631



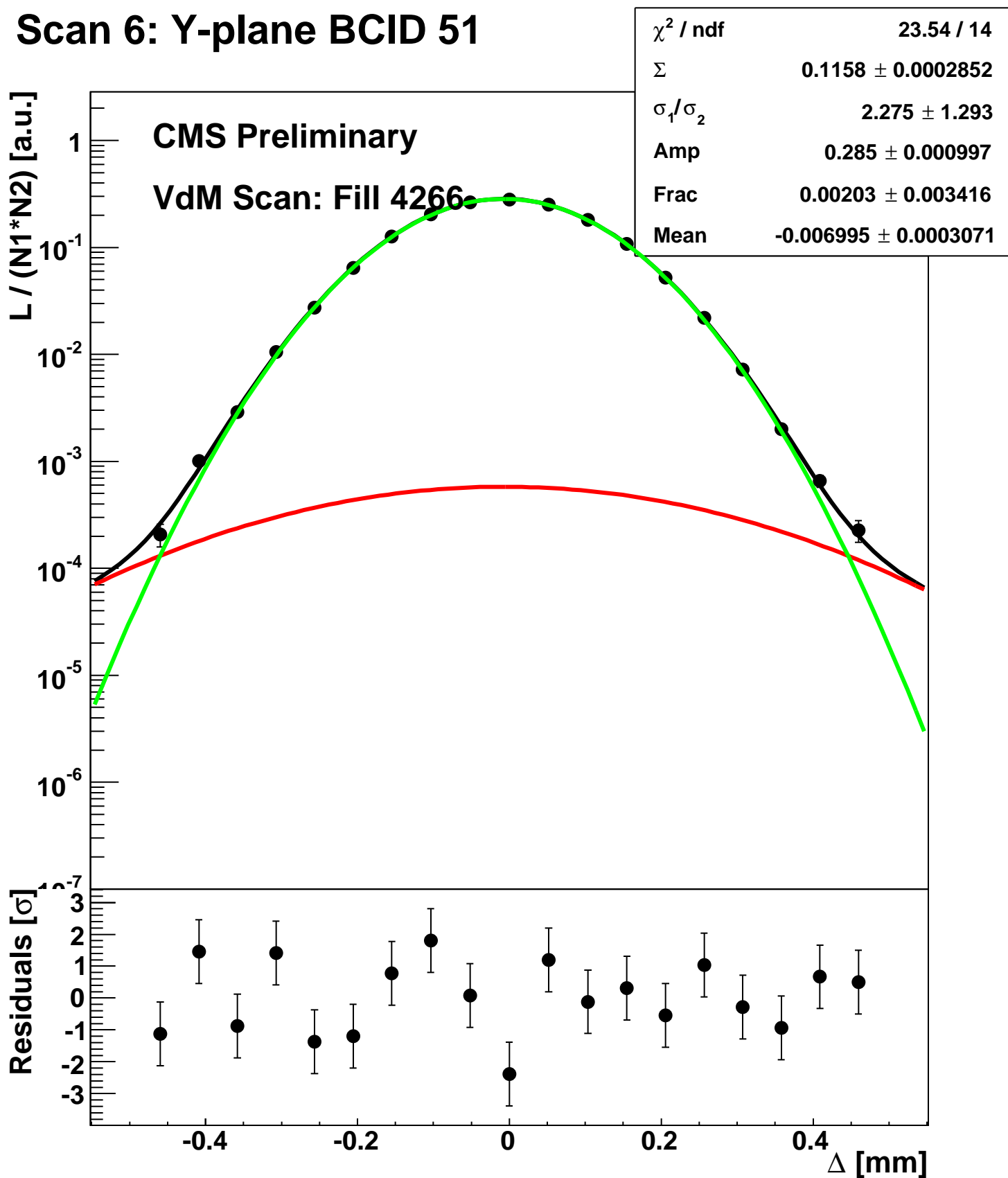
# Scan 6: Y-plane BCID 2211



# Scan 6: Y-plane BCID 2674

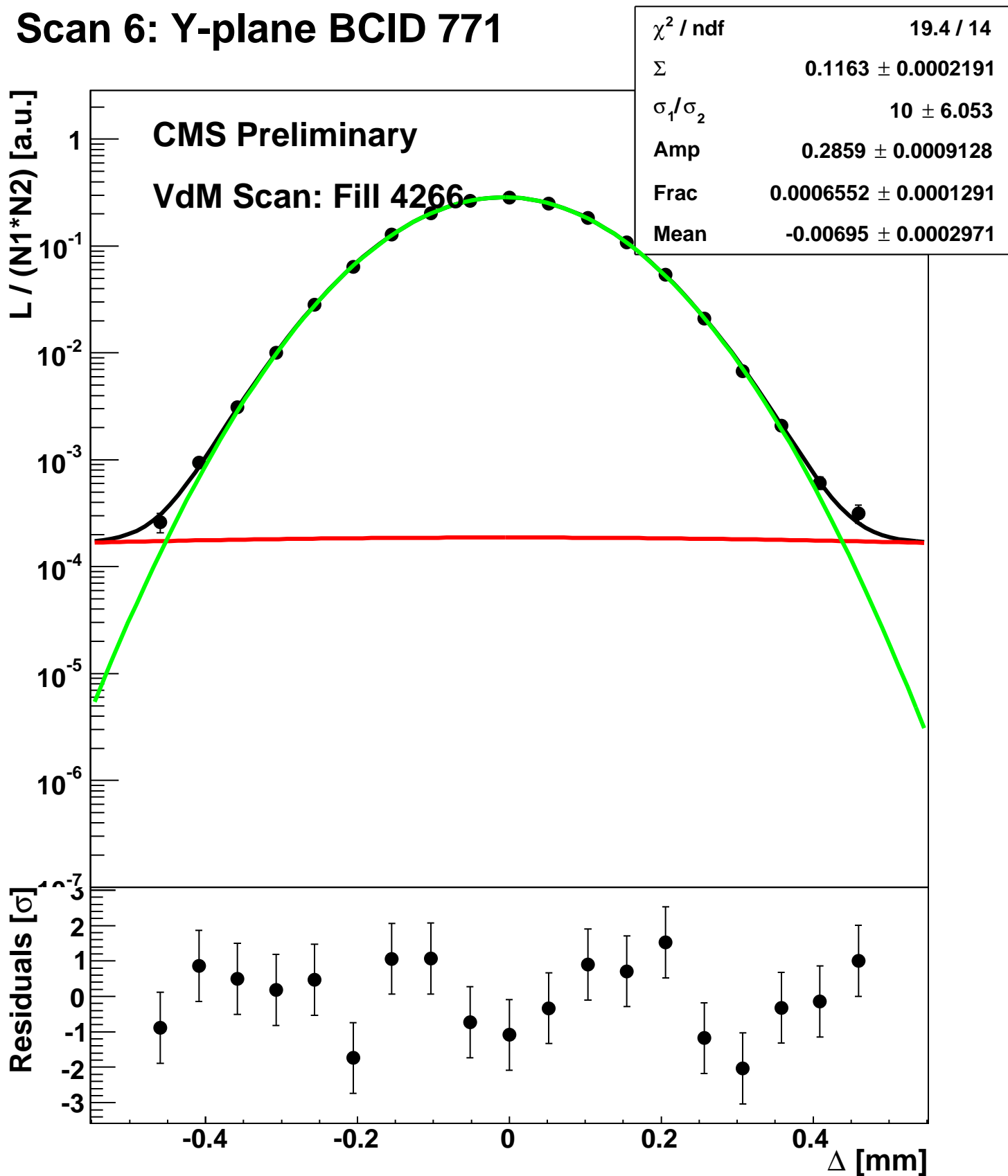


# Scan 6: Y-plane BCID 51

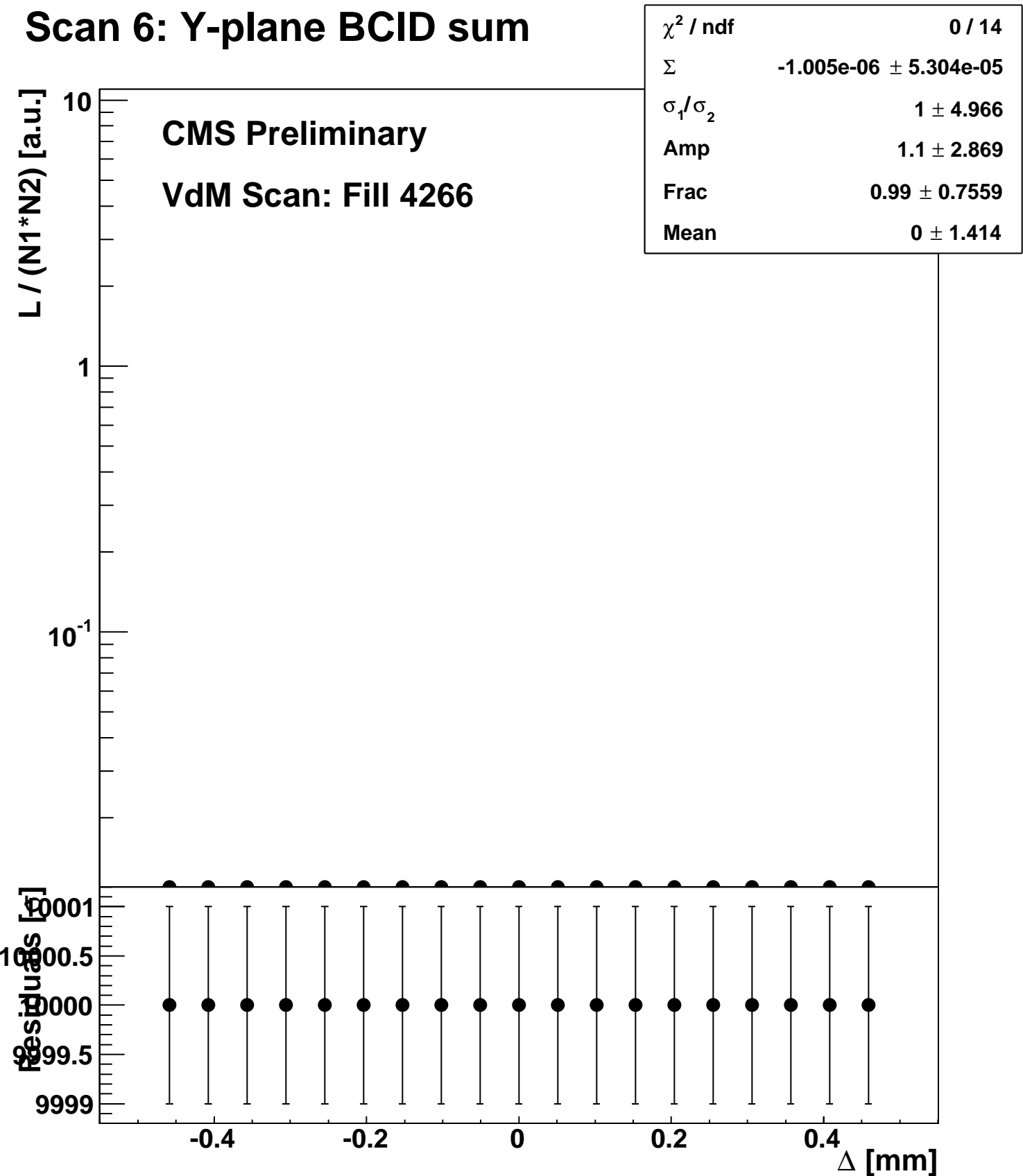




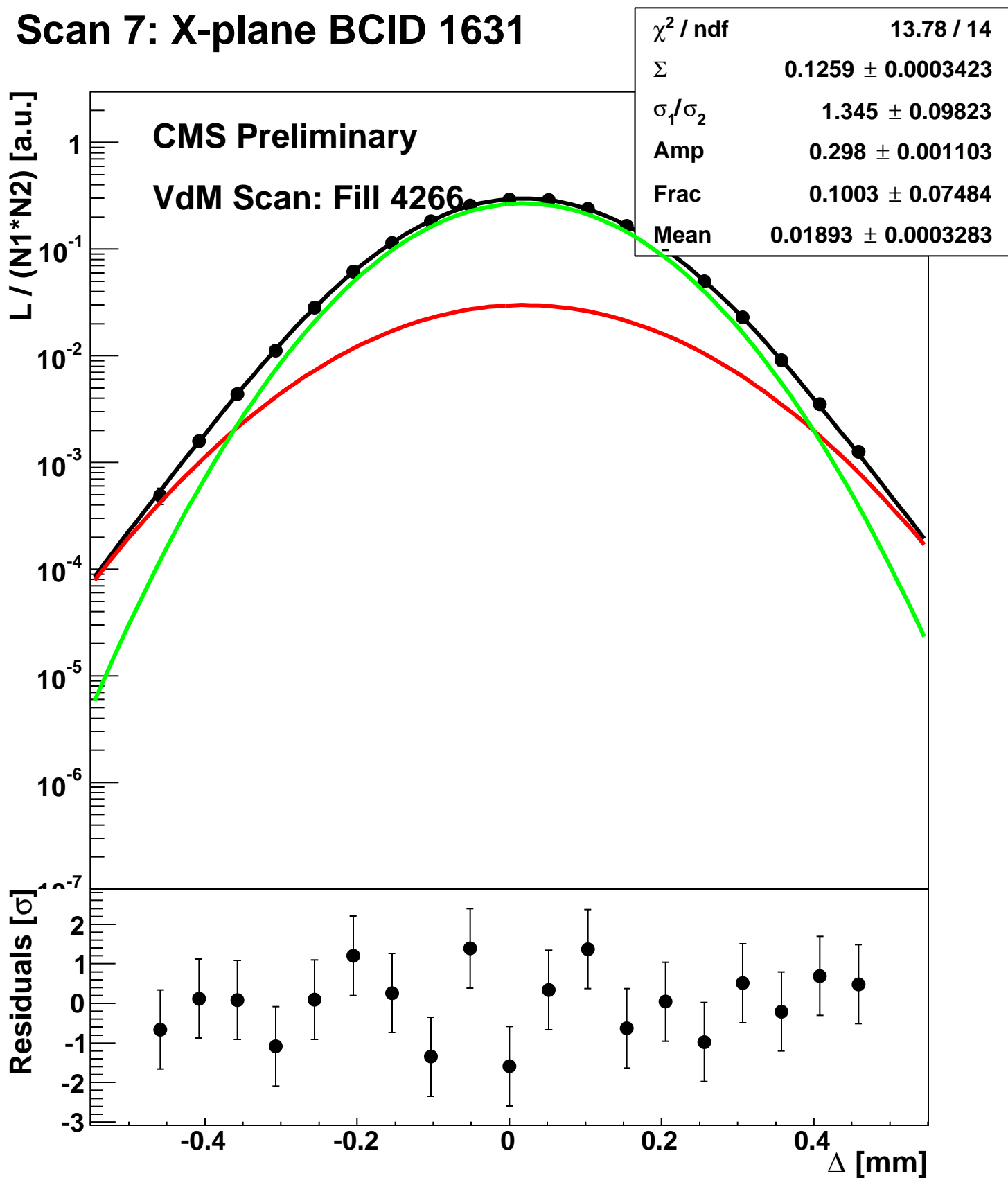
# Scan 6: Y-plane BCID 771



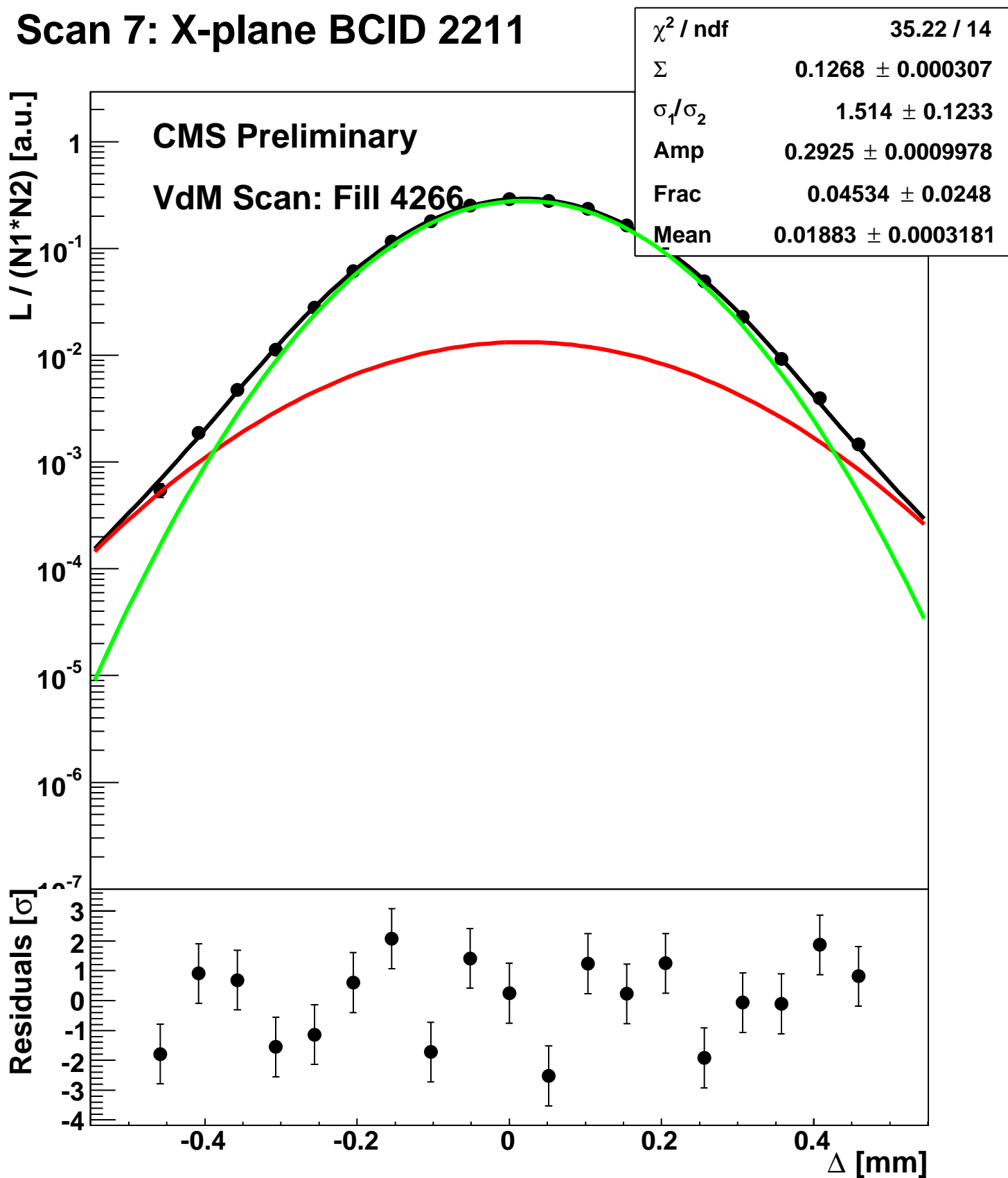
# Scan 6: Y-plane BCID sum



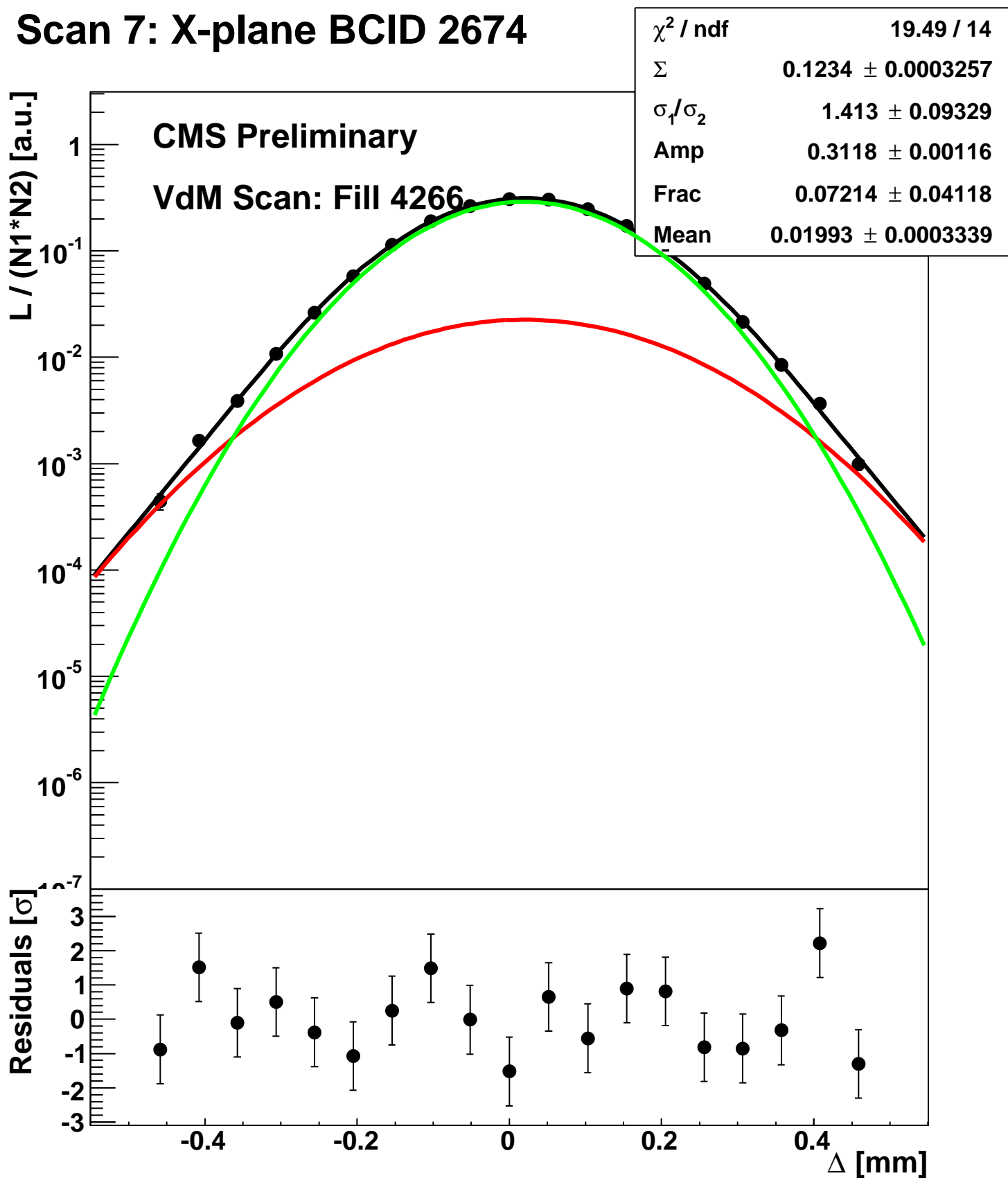
# Scan 7: X-plane BCID 1631



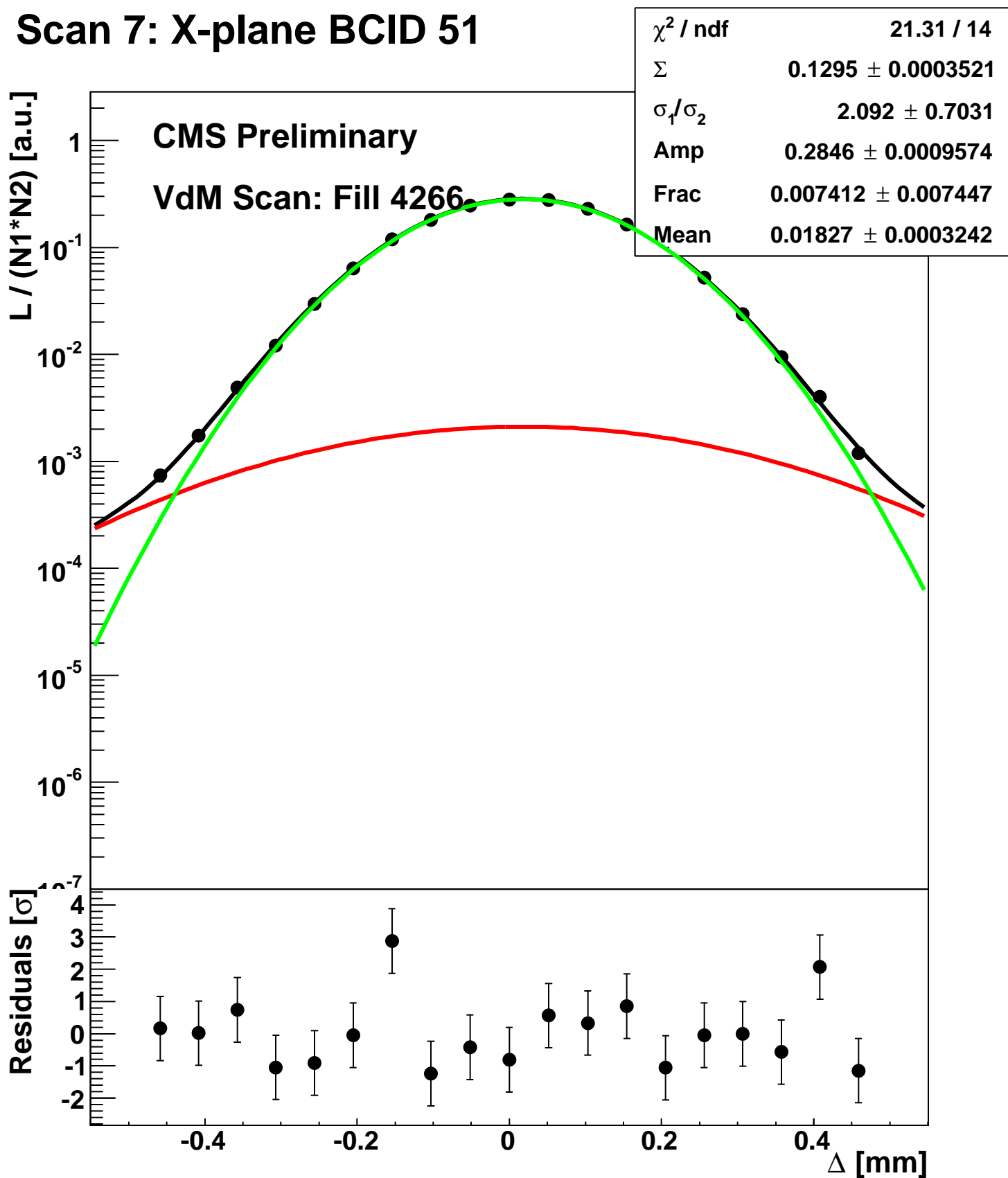
# Scan 7: X-plane BCID 2211



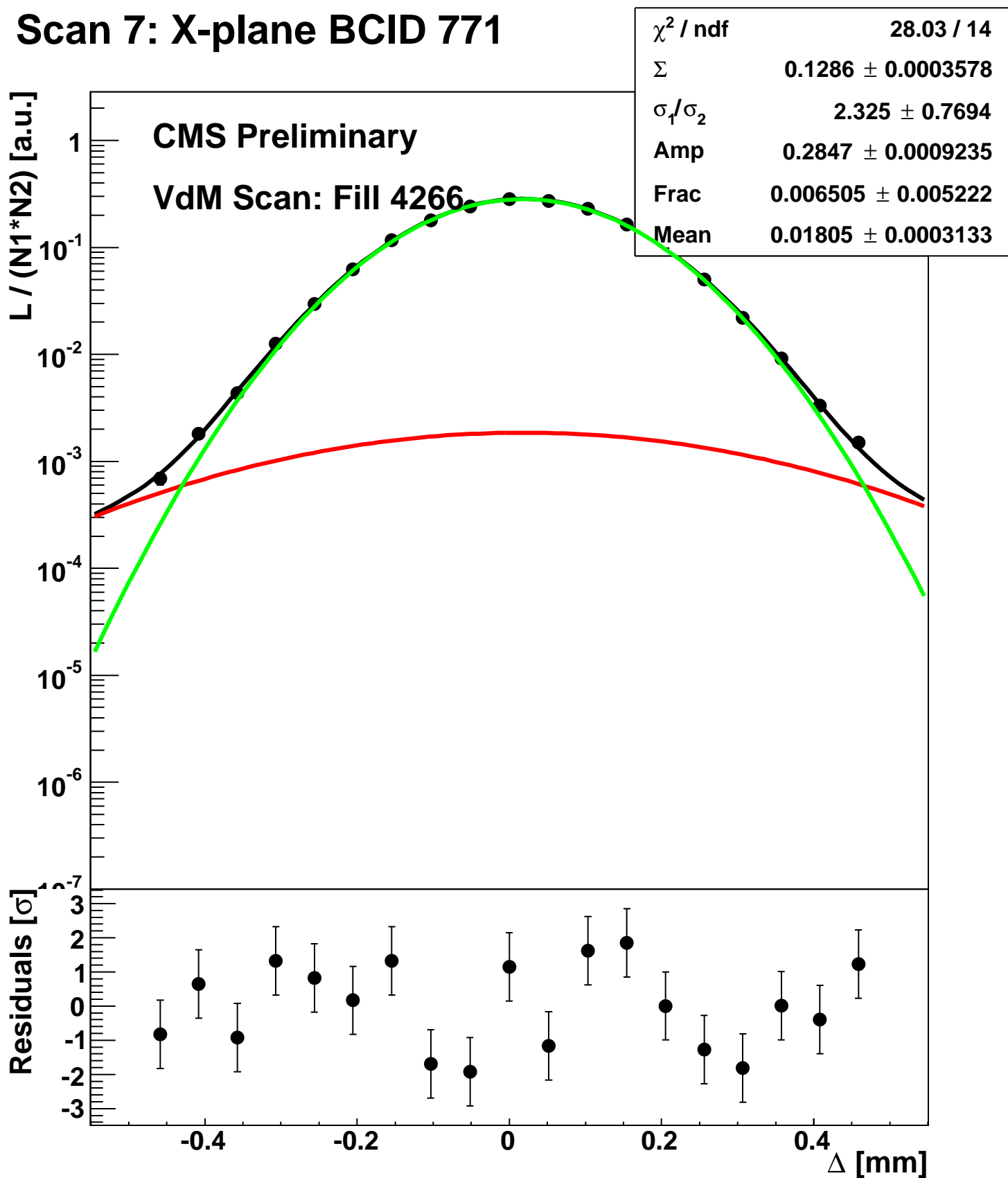
# Scan 7: X-plane BCID 2674



# Scan 7: X-plane BCID 51

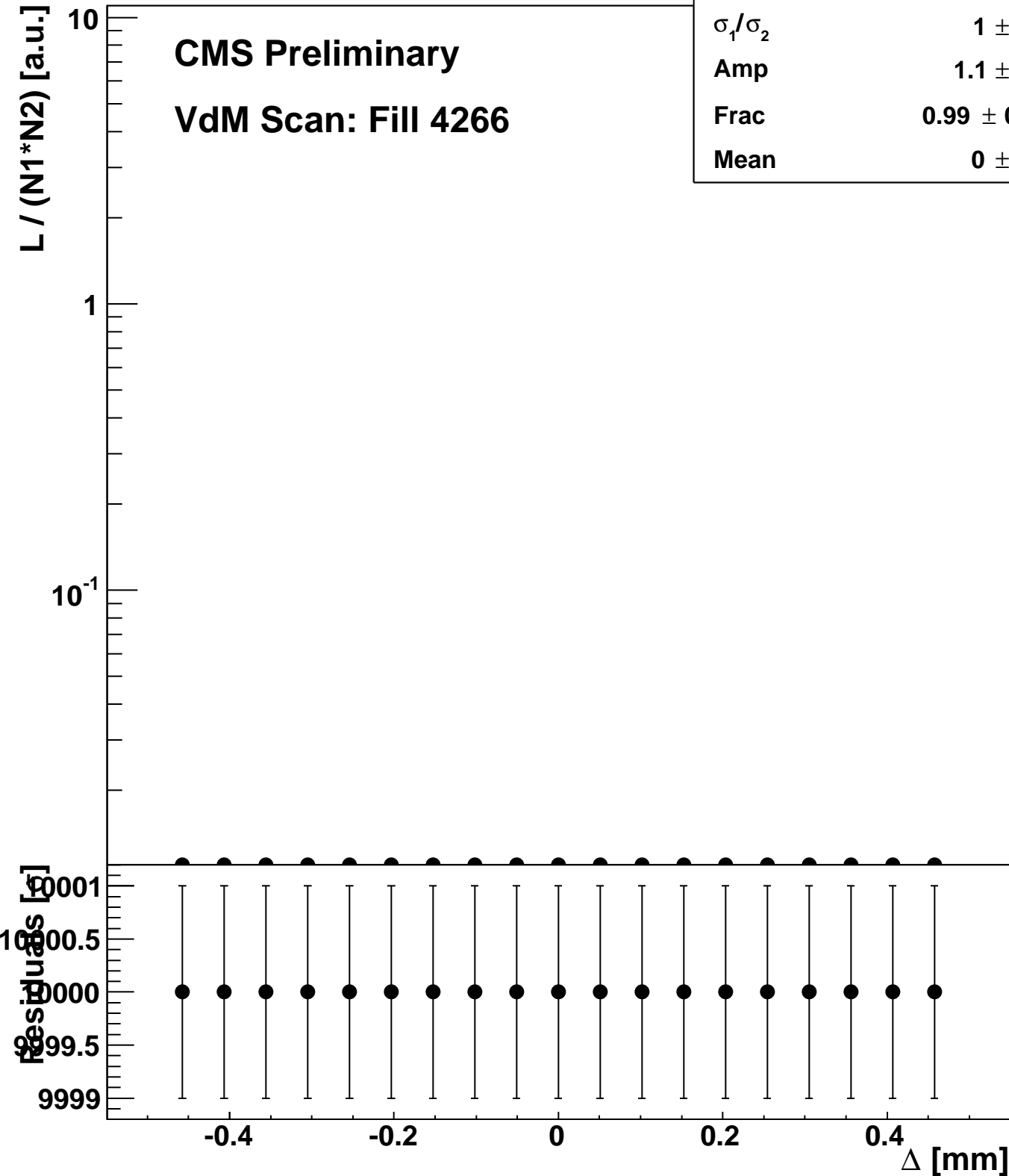


# Scan 7: X-plane BCID 771



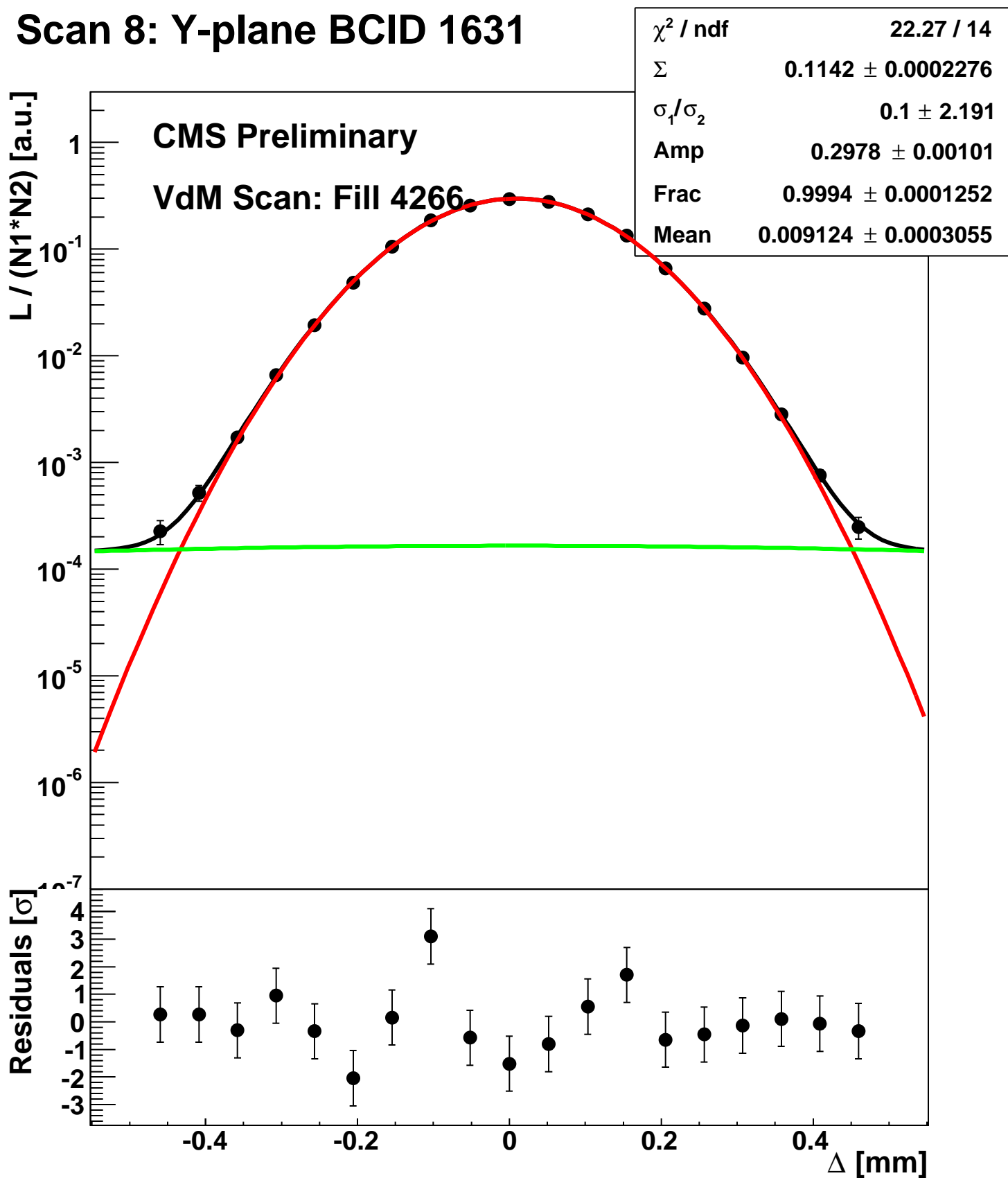
# Scan 7: X-plane BCID sum

$\chi^2 / \text{ndf}$	0 / 14
$\Sigma$	$-1.08\text{e-}06 \pm 4.795\text{e-}05$
$\sigma_1 / \sigma_2$	$1 \pm 9.255$
Amp	$1.1 \pm 2.869$
Frac	$0.99 \pm 0.7559$
Mean	$0 \pm 1.414$

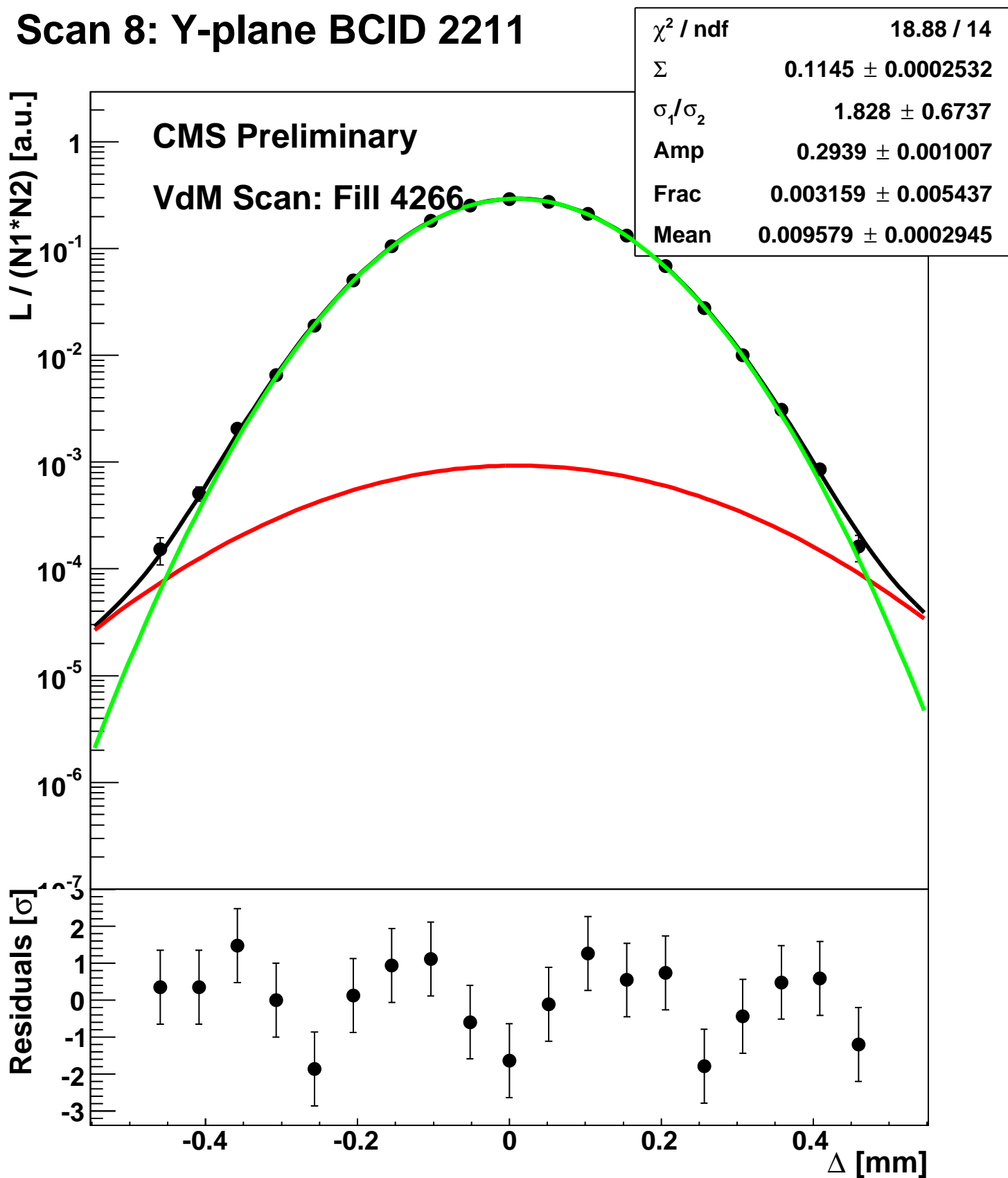




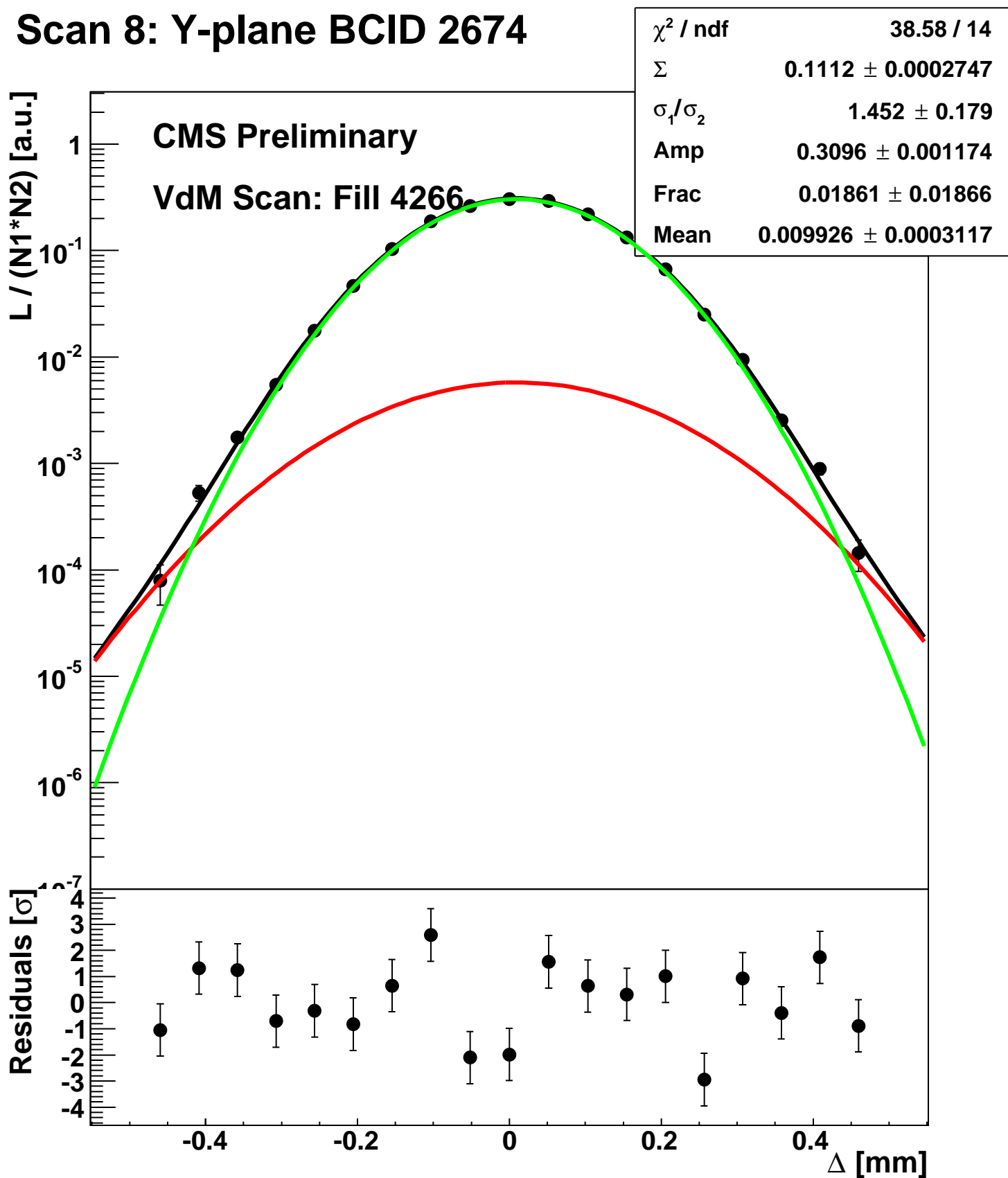
# Scan 8: Y-plane BCID 1631



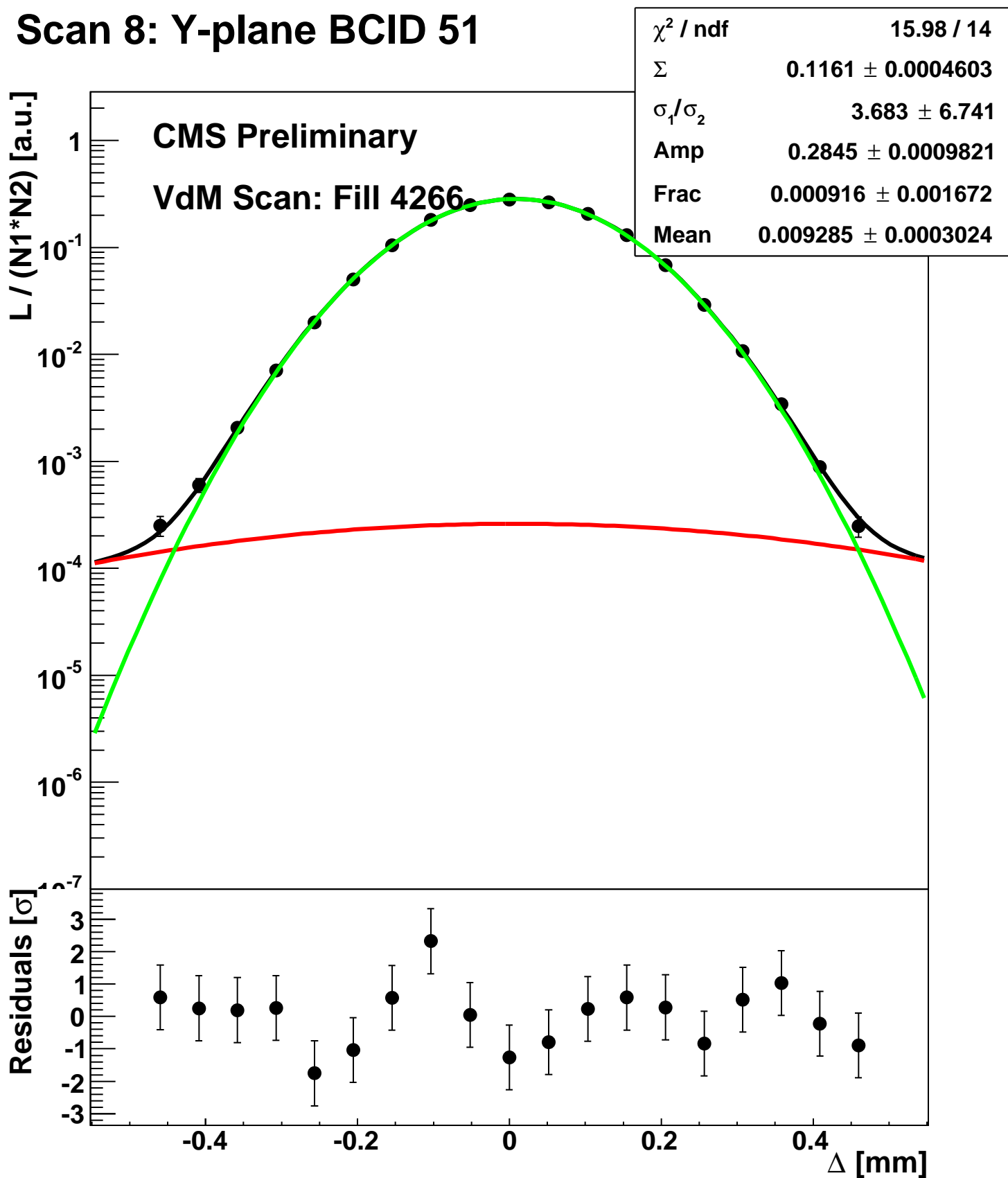
# Scan 8: Y-plane BCID 2211



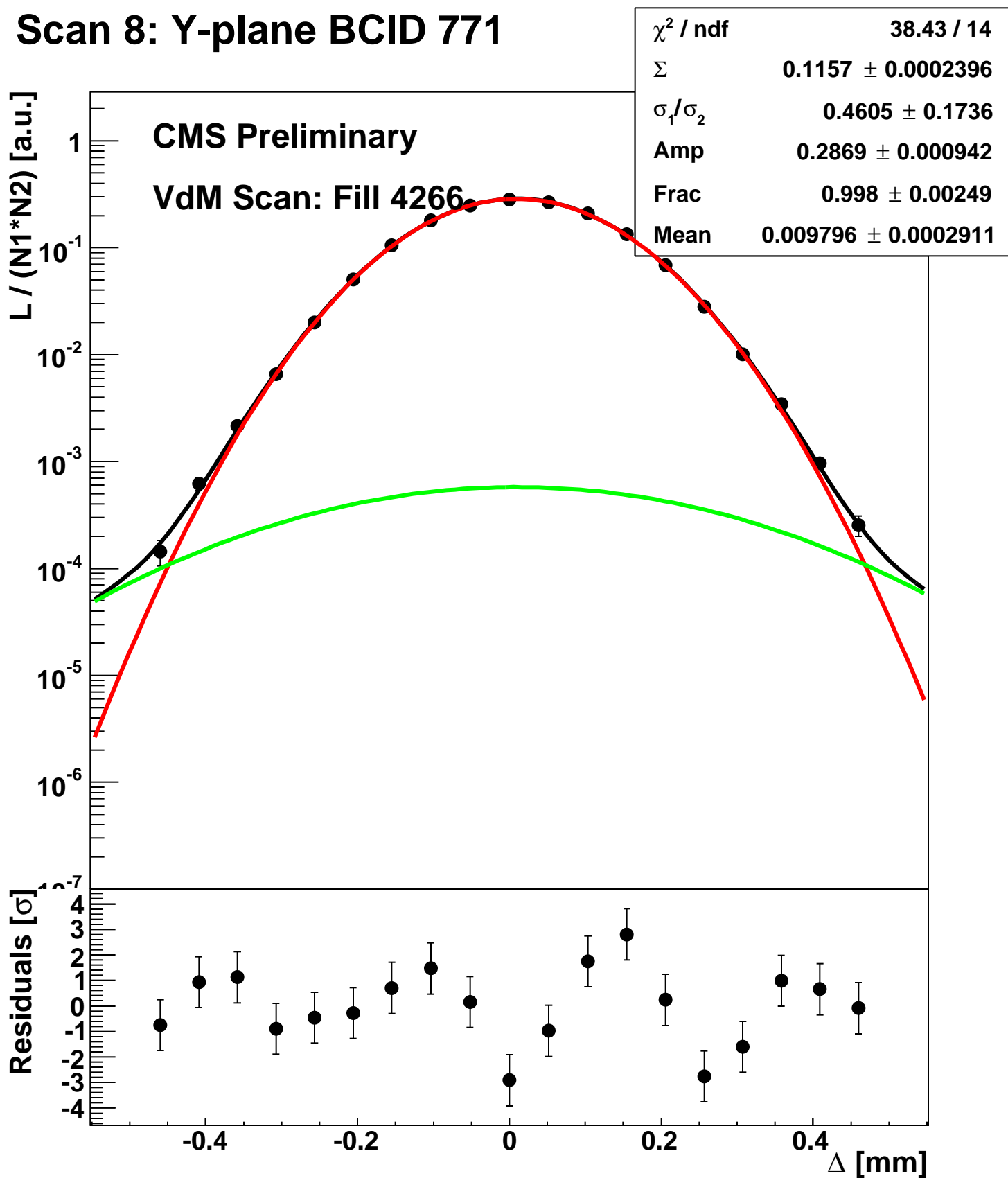
# Scan 8: Y-plane BCID 2674



# Scan 8: Y-plane BCID 51

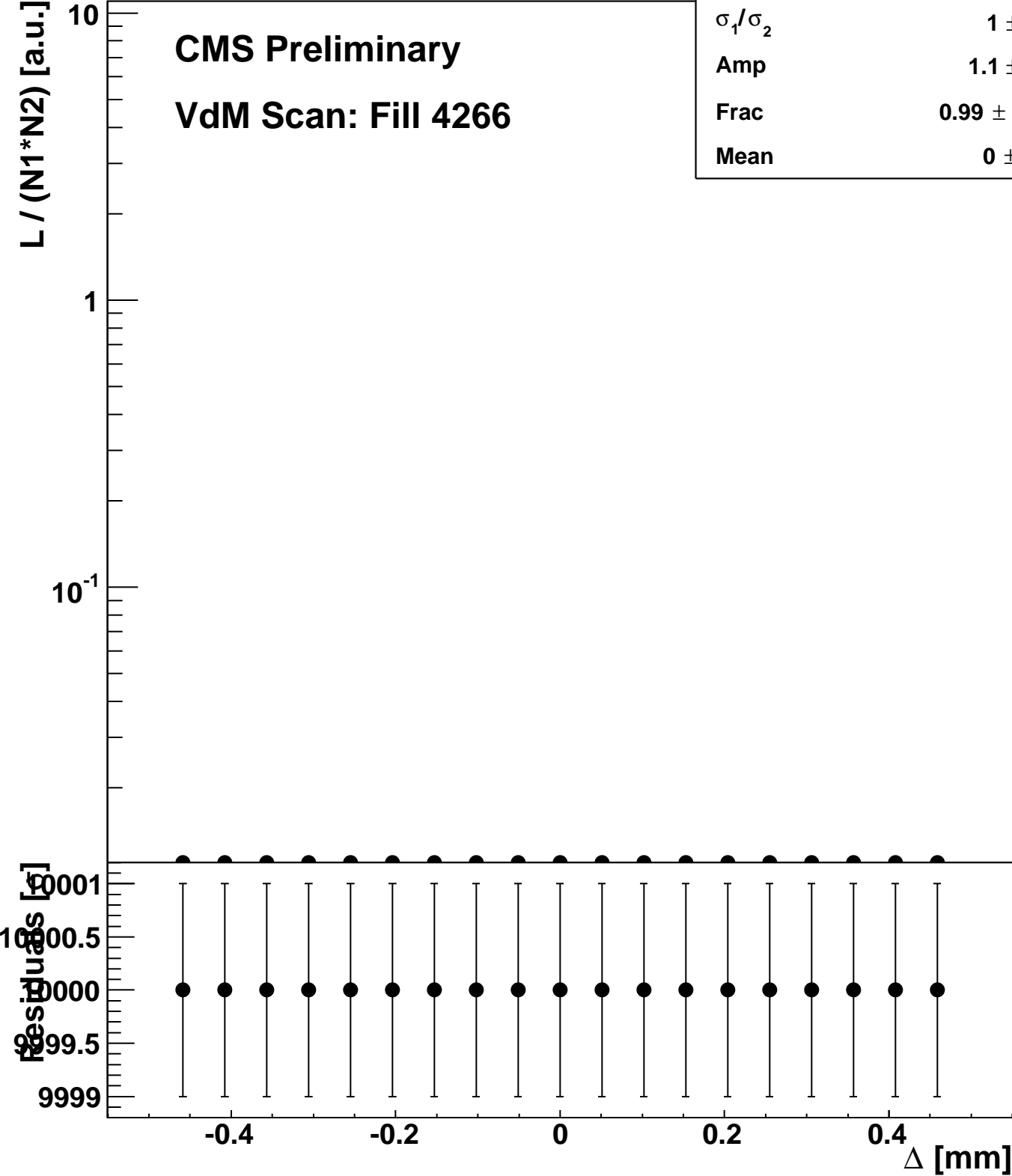


# Scan 8: Y-plane BCID 771

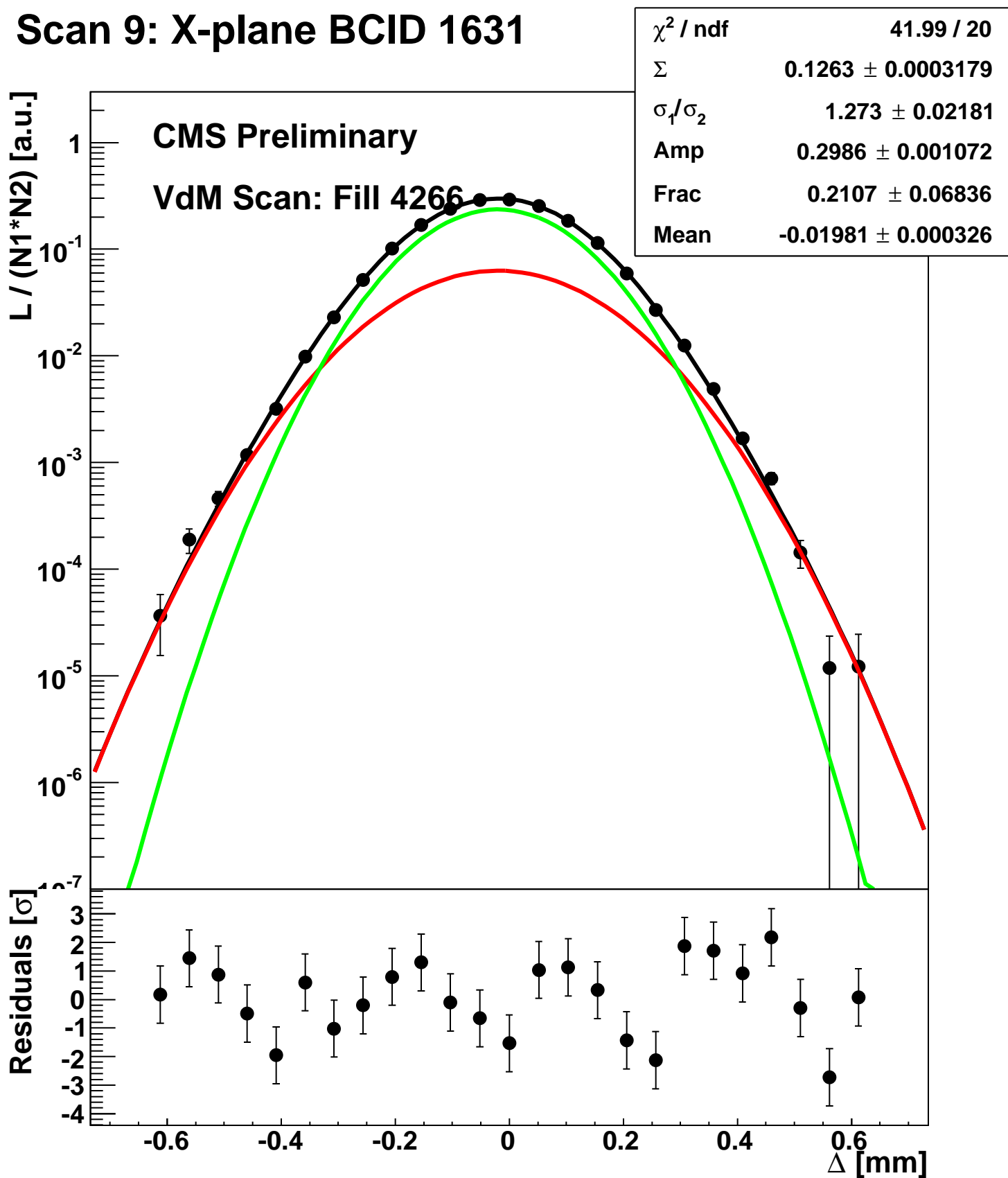


# Scan 8: Y-plane BCID sum

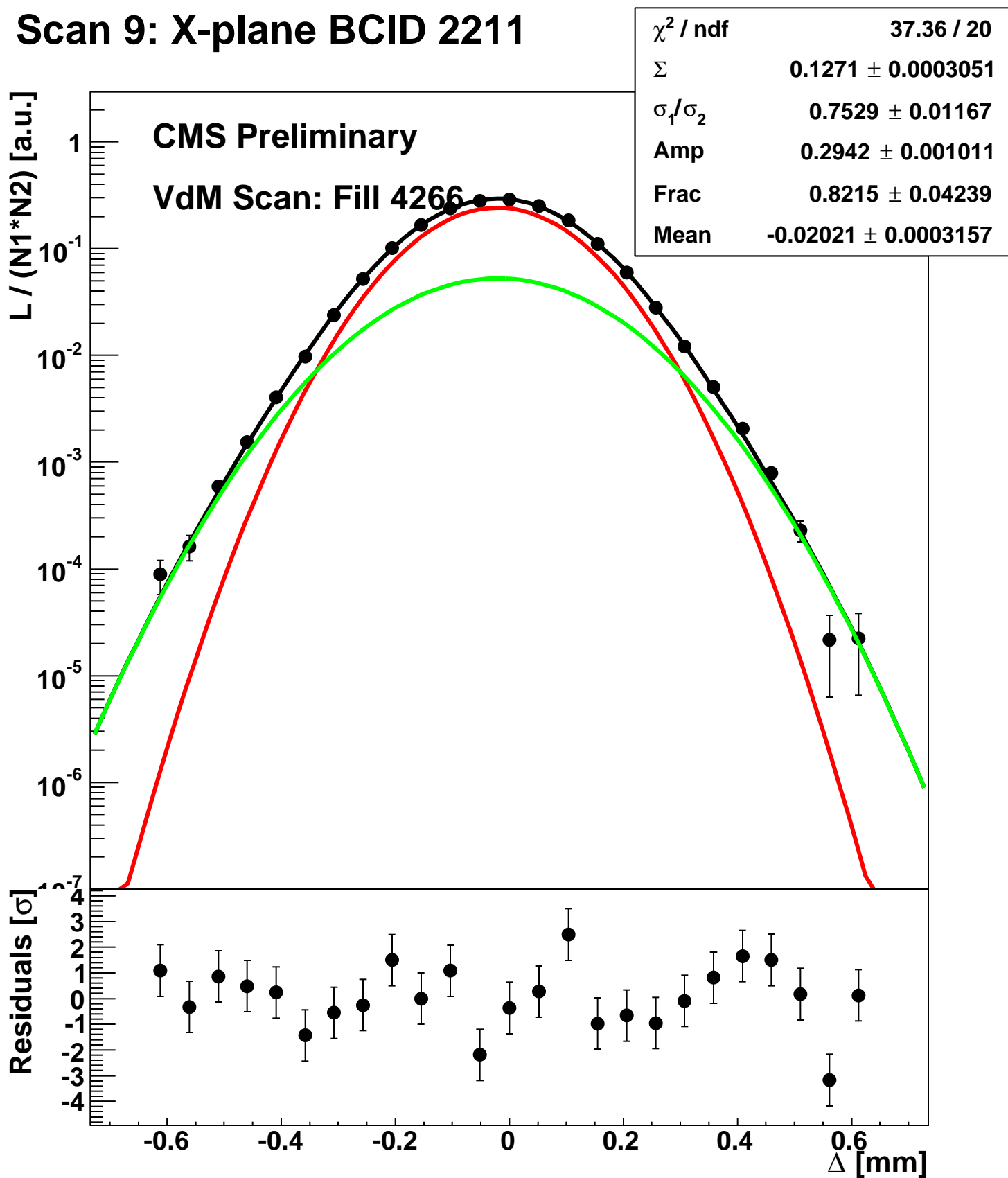
$\chi^2 / \text{ndf}$	0 / 14
$\Sigma$	$-9.984\text{e-}07 \pm 5.358\text{e-}05$
$\sigma_1 / \sigma_2$	$1 \pm 9.239$
Amp	$1.1 \pm 2.869$
Frac	$0.99 \pm 0.7559$
Mean	$0 \pm 1.414$



# Scan 9: X-plane BCID 1631

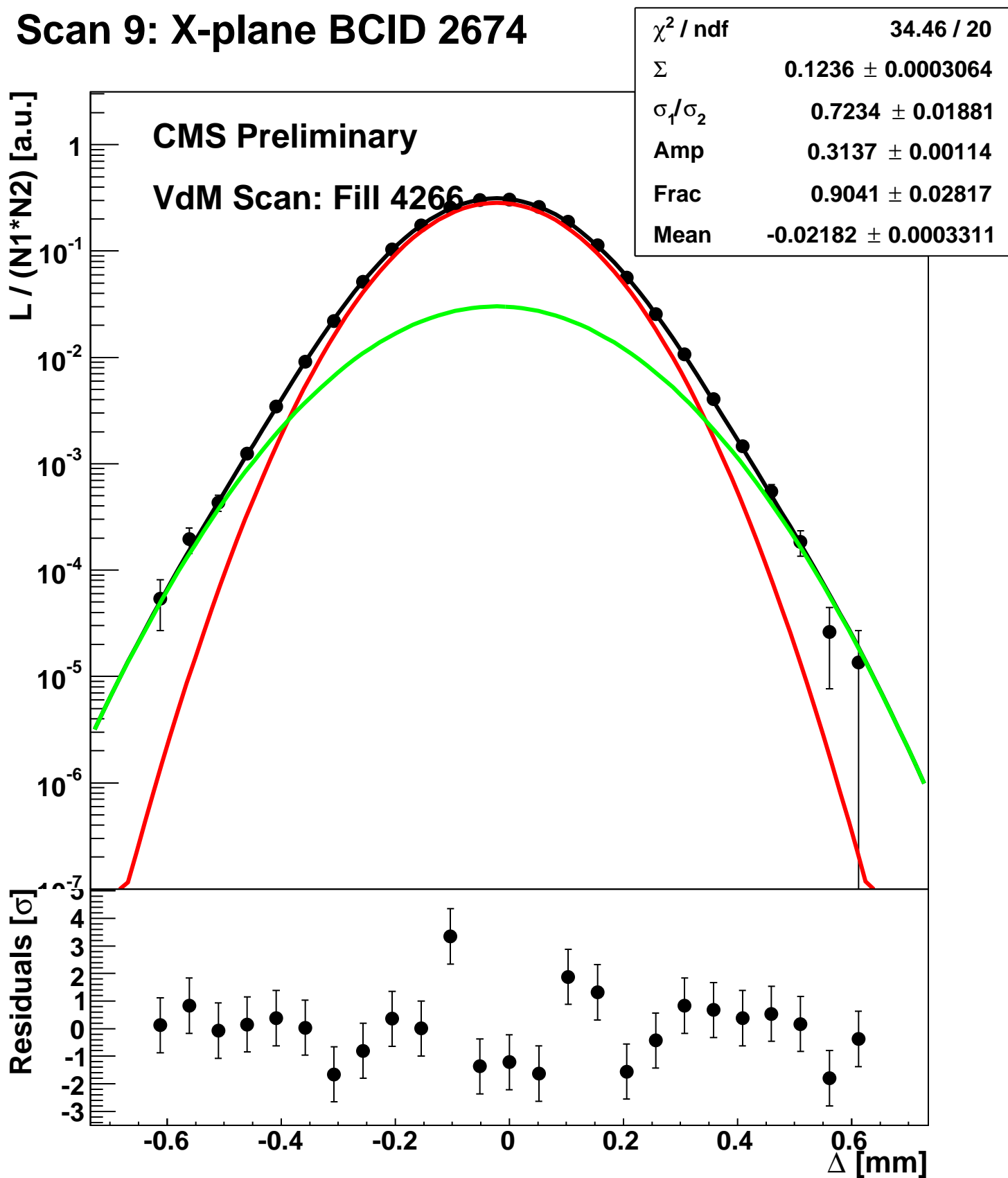


# Scan 9: X-plane BCID 2211

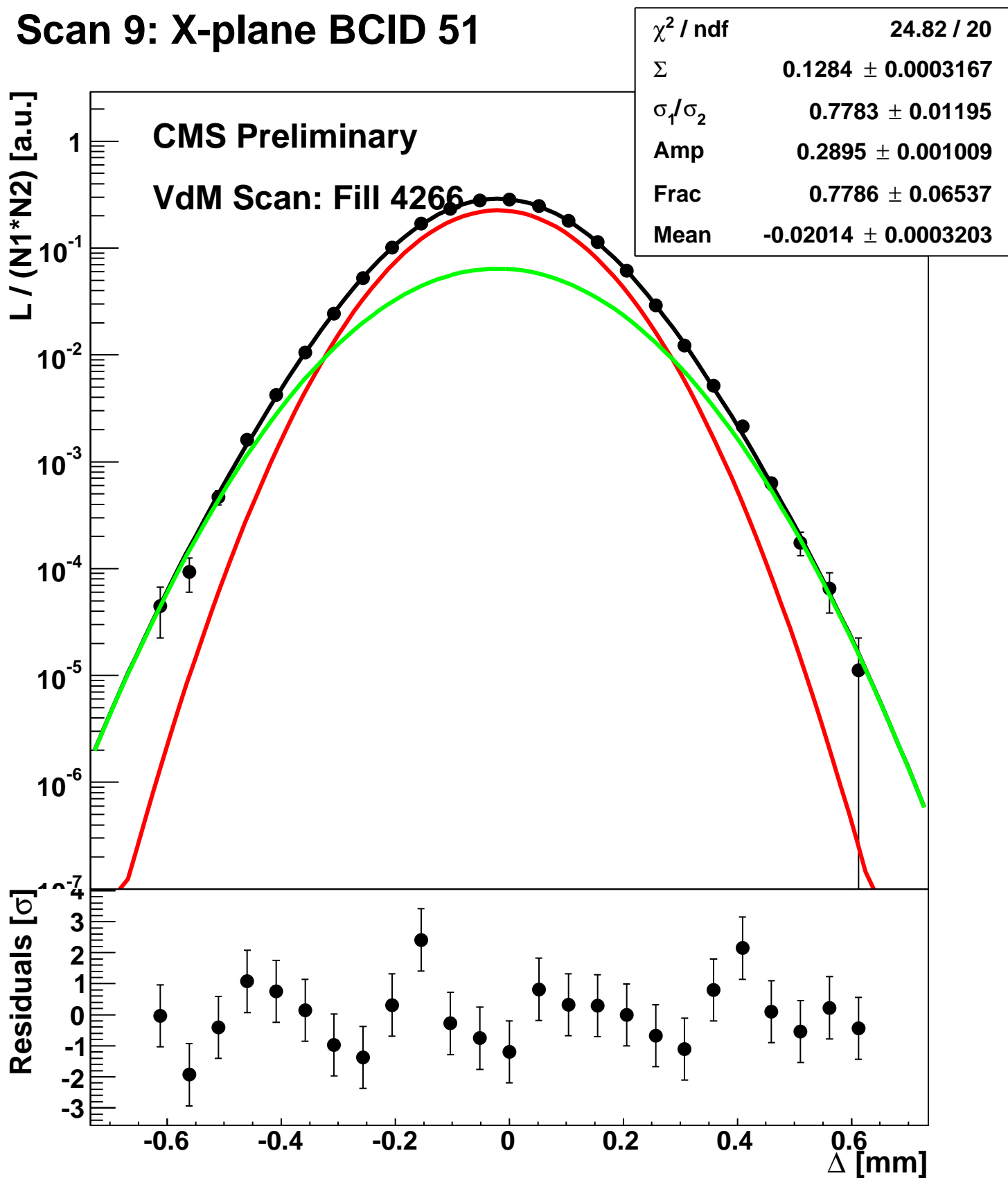




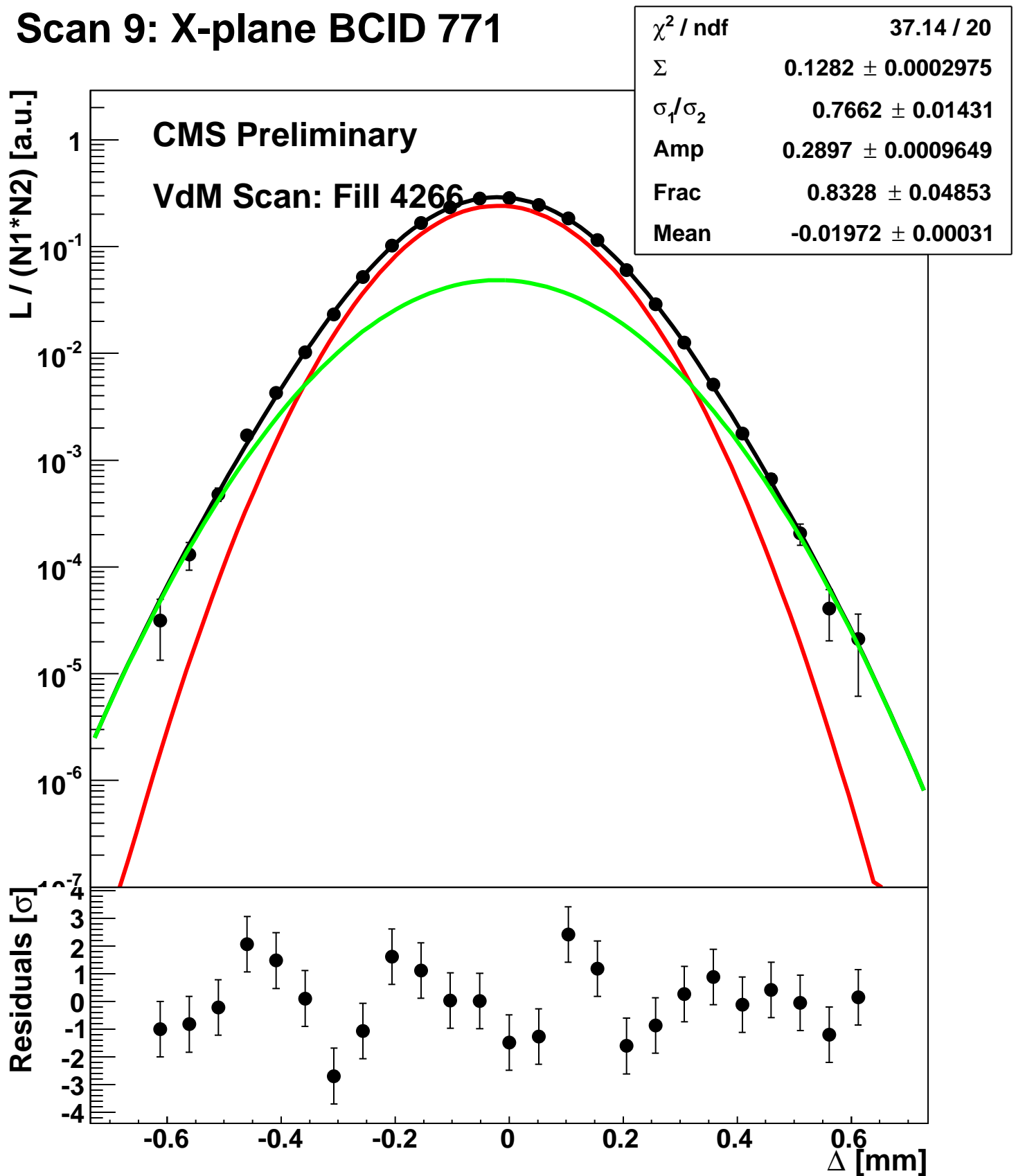
# Scan 9: X-plane BCID 2674



# Scan 9: X-plane BCID 51



# Scan 9: X-plane BCID 771



# Scan 9: X-plane BCID sum

$\chi^2 / \text{ndf}$	0 / 20
$\Sigma$	$3.221\text{e-}06 \pm 0.001135$
$\sigma_1 / \sigma_2$	$8.851 \pm 8.12$
Amp	$0.22 \pm 3.752$
Frac	$1 \pm 0.7115$
Mean	$-7.102\text{e-}05 \pm 1.414$

